

SPECIFICATIES VOOR LATITUDE INTEGRATION IDCO EN
HL7

LATITUDE™ NXT

LATITUDE NXT Patiëntenmanagementsysteem

Outdated version. Do not use.
Version überholt. Nicht verwenden.
Version obsolète. Ne pas utiliser.
Versión obsoleta. No utilizar.
Versione obsoleta. Non utilizzare.
Verouderde versie. Niet gebruiken.
Föråldrad version. Använd ej.
Παλιά έκδοση. Μην την χρησιμοποιείτε.
Versão obsoleta. Não utilize.
Forældet version. Må ikke anvendes.
Zastaralá verze. Nepoužívat.
Utdatert versjon. Skal ikke brukes.
Zastaraná verzia. Nepoužívať.
Elavult verzió. Ne használja!
Wersja nieaktualna. Nie używać.

Outdated version. Do not use.
Version überholt. Nicht verwenden.
Version obsolète. Ne pas utiliser.
Versión obsoleta. No utilizar.
Versione obsoleta. Non utilizzare.
Verouderde versie. Niet gebruiken.
Föråldrad version. Använd ej.
Παλιά έκδοση. Μην την χρησιμοποιείτε.
Versão obsoleta. Não utilize.
Forældet version. Må ikke anvendes.
Zastaralá verze. Nepoužívat.
Utdatert versjon. Skal ikke brukes.
Zastaraná verzia. Nepoužívať.
Elavult verzió. Ne használja!
Wersja nieaktualna. Nie używać.

OVERZICHT

Dit document bevat paragrafen over zowel IDCO als HL7 voor Latitude NXT.

OPMERKINGEN: *Er wordt aangenomen dat de lezers van dit document bekend zijn met terminologie, specificatiesyntaxis, gegevenstypen, berichtstructuren en semantiek voor IDCO-berichten met de HL7- en IDCO-standaard. Meer informatie vindt u via de volgende links:*

- www.hl7.org voor HL7-berichtgeving
- www.ihe.net voor IDCO-berichtgeving
- http://ihe.net/Technical_Framework/index.cfm#pcd voor PCD-09 Technical Framework (bestaat uit Vol. 1, 2 en 3)
- <http://standards.ieee.org/findstds/standard/11073-10103-2012.html> voor IEEE IDCO-nomenclatuur

Outdated version. Do not use.
Version überholt. Nicht verwenden.
Version obsolete. Ne pas utiliser.
Versión obsoleta. No utilizar.
Versione obsoleta. Non utilizzate.
Verouderde versie. Niet gebruiken.
Föråldrad version. Använd ej.
Παλιά έκδοση. Μην την χρησιμοποιείτε.
Versão obsoleta. Não utilize.
Förældet version. Må ikke anvendes.
Zastaralá verzia. Nepoužívať.
Utdatert versjon. Skal ikke brukes.
Zastaraná verzia. Nepoužívať.
Elavult verzió. Ne használja!
Wersja nieaktualna. Nie używać.

Outdated version. Do not use.
Version überholt. Nicht verwenden.
Version obsolète. Ne pas utiliser.
Versión obsoleta. No utilizar.
Versione obsoleta. Non utilizzare.
Verouderde versie. Niet gebruiken.
Föråldrad version. Använd ej.
Παλιά έκδοση. Μην την χρησιμοποιείτε.
Versão obsoleta. Não utilize.
Forældet version. Må ikke anvendes.
Zastaralá verze. Nepoužívat.
Utdatert versjon. Skal ikke brukes.
Zastaraná verzia. Nepoužívať.
Elavult verzió. Ne használja!
Wersja nieaktualna. Nie używać.

INHOUDSTABEL

OVERZICHT.....	1-1
HOOFDSTUK 1	
Overzicht IDCO.....	1-2
LATITUDE IDCO-BERICHTENSPECIFICATIE	2-1
HOOFDSTUK 2	
Latitude IDCO-berichtenspecificatie	2-2
Segmentstructuur.....	2-2
MSH-segmentstructuur.....	2-2
PID-segmentstructuur	2-2
Standaardpatiëntcode IDCO (eerste code in de lijst).....	2-2
Patiënt-id Latitude (tweede code in de lijst).....	2-2
PV1-segmentstructuur.....	2-3
PV2-segmentstructuur.....	2-3
OBR-segmentstructuur.....	2-3
OBX-segmentstructuur.....	2-3
Outputparameters.....	2-4
NTE-segmentstructuur.....	2-4
Rapporten	2-5
Gepresenteerd EGM rapport.....	2-5
Gecombineerd follow-uprapport	2-5
Rapport Aritmie-logboek.....	2-5
Heart Failure Management rapport.....	2-5
Namen van rapporten in het bericht.....	2-5
Basistermen	2-5
GEGEVENS VAN GEÏMPLANTEERDE APPARATEN CONVERTEREN NAAR IDCO- BERICHTEN	3-1
HOOFDSTUK 3	
Batterijstatus.....	3-2
SET_BRADY_SENSOR_TYPE.....	3-2
Episodemapping	3-2
Tellermapping	3-4
Leadconfiguratiemapping	3-4
Systeembeperkingen.....	3-5
Definities van alarmen en waarschuwingen.....	3-6
Rapporten	3-6

VOORBEELD VAN IDCO-BESTANDEN	4-1
HOOFDSTUK 4	
Voorbeeld van IDCO-bestanden	4-2
Voorbeeldbericht 1 — S-ICD-Apparaat	4-2
Voorbeeldbericht 2 — Overige Apparaten (Niet S-ICD)	4-3
OVERZICHT	5-1
HOOFDSTUK 5	
Overzicht HL7	5-2
LATITUDE HL7-BERICHTENSPECIFICATIE	6-1
HOOFDSTUK 6	
Latitude HL7-berichtenspecificatie	6-2
MSH-segmentstructuur	6-2
PID-segmentstructuur	6-4
NTE-segmentstructuur	6-5
PV1-segmentstructuur	6-6
PV2-segmentstructuur	6-7
OBR-segmentstructuur	6-7
Groep-id's observatierapport	6-9
OBX-segmentstructuur	6-9
ZUx-segmentstructuur	6-10
DEFINITIES VAN HL7-TERMEN VOOR LATITUDE	7-1
HOOFDSTUK 7	
Definities van HL7-terminen voor Latitude	7-2
OBX-terminen die worden gebruikt in de groep OBR-1 (Gegevens laatste opvraging)	7-2
OBX-terminen die worden gebruikt in de groep OBR-2 (Implantatiegegevens)	7-9
OBX-terminen die worden gebruikt in de groep OBR-3 (Gegevens laatste poliklinische leadtest)	7-10
OBX-terminen die worden gebruikt in de groep OBR-4 (Leadinformatiegegevens)	7-11
VOORBEELD VAN HL7-BESTAND	8-1
HOOFDSTUK 8	
Voorbeeld van HL7-bestand	8-2
Voorbeeldbericht 1 — S-ICD-Apparaat	8-2
Voorbeeldbericht 2 — Overige Apparaten (Niet S-ICD)	8-3
SYMBOLEN OP STICKERS	A-1
BIJLAGE A	

OVERZICHT

HOOFDSTUK 1

In dit hoofdstuk worden de volgende onderwerpen beschreven:

- “Overzicht IDCO” op pagina 1-2

Outdated version. Do not use.
Version überholt. Nicht verwenden.
Version obsolète. Ne pas utiliser.
Versión obsoleta. No utilizar.
Versione obsoleta. Non utilizzare.
Verouderde versie. Niet gebruiken.
Föråldrad version. Använd ej.
Παλιά έκδοση. Μην την χρησιμοποιείτε.
Versão obsoleta. Não utilize.
Förældet version. Må ikke anvendes.
Zastaralá verze. Nepoužívat.
Utdatert versjon. Skal ikke brukes.
Zastaraná verzia. Nepoužívať.
Elavult verzió. Ne használja!
Wersja nieaktualna. Nie używać.

OVERZICHT IDCO

Het Boston Scientific LATITUDE-systeem voor patiëntbewaking op afstand genereert IDCO-berichten (Implantable Device - Cardiac - Observation) op basis van de specificaties en definities in dit document. De berichten zijn in overeenstemming met het profiel voor Integrating the Healthcare Enterprise (IHE) Patient Care Device (PCD) Technical Framework IDCO. Deze berichten worden gebruikt om patiëntgegevens over te brengen naar EMR- of CIS-systemen (respectievelijk Electronic Medical Record en Clinical Information System).

Dit document is bedoeld voor klanten van Boston Scientific (BSC) LATITUDE die (1) IDCO-berichten integreren in een EMR-systeem en (2) gebruikmaken van een EMR- of CIS-systeem om patiëntgegevens te volgen en te beheren. De eerste paragraaf van dit document ("LATITUDE IDCO-berichtsamenstelling") is hoofdzakelijk bedoeld voor technisch personeel dat zich bezighoudt met berichtintegratie. Het tweede deel is voornamelijk bedoeld voor de arts als extra informatie bij de Boston Scientific-versie van de gegevens in het bericht.

OPMERKINGEN: *Er wordt aangenomen dat de lezers van deze paragraaf bekend zijn met terminologie, specificatiesyntaxis, gegevenstypen, berichtstructuren en semantiek voor IDCO-berichten met de HL7- en IDCO-standaard. Meer informatie vindt u via de volgende links:*

- www.hl7.org voor HL7-berichtgeving
- www.ihe.net voor IDCO-berichtgeving
- http://ihe.net/Technical_Framework/index.cfm#pcd voor PCD-09 Technical Framework (bestaat uit Vol. 1, 2 en 3)
- <http://standards.ieee.org/findstds/standard/11073-10103-2012.html> voor IEEE IDCO-nomenclatuur

LATITUDE IDCO-BERICHTENSPECIFICATIE

HOOFDSTUK 2

In dit hoofdstuk worden de volgende onderwerpen beschreven:

- “Latitude IDCO-berichtsificatie” op pagina 2-2
- “Segmentstructuur” op pagina 2-2
- “MSH-segmentstructuur” op pagina 2-2
- “PID-segmentstructuur” op pagina 2-2
- “PV1-segmentstructuur” op pagina 2-3
- “PV2-segmentstructuur” op pagina 2-3
- “OBR-segmentstructuur” op pagina 2-3
- “OBX-segmentstructuur” op pagina 2-3
- “Outputparameters” op pagina 2-4
- “NTE-segmentstructuur” op pagina 2-4
- “Rapporten” op pagina 2-5
- “Basistermen” op pagina 2-5

LATITUDE IDCO-BERICHTENSPECIFICATIE

Het LATITUDE IDCO-bericht is een PCD-09-bericht op basis van IHE PCD Technical Framework Revision 3.0, 11 oktober 2013. Conform het technische kader is het bericht een standaard ongevraagd HL7 v2.6-bericht voor orders en observaties met observaties die zijn uitgevoerd door het geïmplanteerde apparaat en die zijn gecodeerd met behulp van de ISO/IEEE 11073-10103:2014 IDC-nomenclatuur. In deze internationale standaard wordt een universeel model beschreven voor de interoperabiliteit van medische elektronische gegevens.

Waarden tussen aanhalingstekens in de waardekolommen in onderstaande tabellen geven aan dat het om harde codering gaat die altijd op deze manier wordt weergegeven. Bij waarden zonder aanhalingstekens gaat het om een voorbeeld of een beschrijving van de waarde.

SEGMENTSTRUCTUUR

Alle gegevens worden verzonden per PCD-09. De informatie in deze paragraaf is bedoeld om de BSC-output voor IDCO-berichten te definiëren. De informatie is niet volledig en is niet bedoeld om de IDCO-nomenclatuur verder te definiëren.

MSH-SEGMENTSTRUCTUUR

Het MSH-segment bevat informatie over de verzender en ontvanger van het bericht, het type bericht, een tijdstempel, enzovoort. Het is het eerste segment in elk IDCO-bericht.

ELEMENTNAAM	SEQ	SUB SEQ	WAARDE
Verzendtoepassing	3		"LATITUDE"
Verzenderinstelling	4		"BOSTON SCIENTIFIC"
Ontvangende instelling	6		LATITUDE-klinieknaam
Tekenset	18		"UNICODE UTF-8"

PID-SEGMENTSTRUCTUUR

Het PID-segment bevat patiëntcodegegevens zoals naam, id-codes, postcode, enzovoort. Deze informatie wordt gebruikt voor patiëntkoppeling.

LATITUDE stelt klinieken in staat om (optioneel) hun eigen patiënt-id toe te voegen aan het LATITUDE-systeem. De optionele patiënt-id wordt opgenomen in het geëxporteerde IDCO-bericht. Indien deze door de kliniek gedefinieerde patiënt-id wordt gebruikt, worden deze als tekst weergegeven in de patiëntcodelijst (reeks 3) na een tildesymbool (~).

Standaardpatiëntcode IDCO (eerste code in de lijst)

ELEMENTNAAM	SEQ	SUB SEQ	WAARDE
Patiëntcode	3		
Toewijzende instantie	3	4	"BSX"

Patiënt-id Latitude (tweede code in de lijst)

ELEMENTNAAM	SEQ	SUB SEQ	WAARDE
Patiëntcodelijst	3		
Identificatienummer	3	1	LATITUDE-patiënt-id

Toewijzende instantie	3	4	LATITUDE-klinieknaam
Code voor het soort code	3	5	"U"

Voorbeeld:

```
PID|1|model:N119/serial:123456^^^BSX^U~{Patiënt-id LATITUDE} ^^^{Naam  
LATITUDE-kliniek}^U||PatientLastName^VoornaamPatiënt ^^^^^^|19550116|U|...
```

PV1-SEGMENTSTRUCTUUR

Het segment PV1 (patiëntenbezoek) bevat informatie over de behandelend arts van de patiënt.

ELEMENTNAAM	SEQ	SUB SEQ	WAARDE
Patiëntklasse	2		"R"

PV2-SEGMENTSTRUCTUUR

Het segment PV2 (patiëntenbezoek 2) bevat informatie over de LATITUDE-groep van de patiënt.

ELEMENTNAAM	SEQ	SUB SEQ	WAARDE
Naam van organisatie (groep)	23	1	Naam van LATITUDE-groep Voorbeeld: Cardiologie
Identificatienummer (primaire of secundaire patiëntengroep)		3	1 Zie opmerking a

- a. De waarde is "1" als het HL7-bestand is gekoppeld aan de primaire LATITUDE-groep; de waarde is "2" als het is gekoppeld aan de secundaire LATITUDE-groep.

OBR-SEGMENTSTRUCTUUR

OBR-segmenten zijn de sectiekoppen voor afzonderlijke OBX-segmenten voor opgevraagde informatie. Deze bevatten gegevens als tijdstempels, een rapportcode en een unieke door het systeem gegenereerde code.

ELEMENTNAAM	SEQ	SUB SEQ	VOORBEELDWAARDE
Universele servicecode	4		
Code		1	754053
Tekst		2	Zie opmerking a
Nummer observatiedatum/-tijd	7		20060429080005+0000 Zie opmerking b
Resultaatstatus	25		"F" Zie opmerking c

- a. De tekst voor de universele servicecode heeft de vorm MDC_IDC_ENUM_SESS_TYPE_{sessietype} (bijv. MDC_IDC_ENUM_SESS_TYPE_RemoteScheduled).
- b. Observatiedatum/-tijd is de tijdstempel voor het moment waarop het geïmplanteerde apparaat is opgevraagd. De tijdstempel maakt gebruik van de tijdzone die is ingesteld voor de patiënt.
- c. Resultaatstatus is "F" (eindresultaten).

OBX-SEGMENTSTRUCTUUR

OBX-segmenten bevatten gegevens die zijn verzameld gedurende de recentste apparaatopvraging.

ELEMENTNAAM	SEQ	SUB SEQ	WAARDE
Resultaatstatus observatie	11		"F" Zie opmerking a
Datum/tijd van de observatie	14		20060317170000+0000 Zie opmerking b

- a. Resultaatstatus is "F" (eindresultaten).
b. De datum van de meting wordt vermeld als de datum van de meting afwijkt van de observatiedatum in de OBR.

OUTPUTPARAMETERS

- Tekenreeksen worden verzonden in de taal die is geconfigureerd voor de kliniek in LATITUDE.
- Numerieke waarden worden altijd verzonden met de punt "." als radixpunt (d.w.z. decimaalpunt).

NTE-SEGMENTSTRUCTUUR

- S-ICD-apparaten
 - Als het apparaat zich in een modus bevindt waar instellingen niet relevant zijn (bijvoorbeeld MRI-modus), bevat de eerste NTE informatie over de huidige status van het apparaat. Voorbeeld:


```
NTE|1||Pieper is momenteel uitgeschakeld.\.br\\.br\Het apparaat bevindt zich in MRI Beschermingsmodus\.br\Starttijd: Sep 04, 2015 00:45 CDT \.br\Geplande time-out: Sep 04, 2015 06:45 CDT\.br\Na het afsluiten van de MRI Beschermingsmodus is de therapie AAN.
```
 - Als het apparaat zich in een modus bevindt waar instellingen relevant zijn, bevat de eerste NTE informatie over de instellingen met de indeling *label:waarde*, waarbij de instellingen worden gescheiden met een geregleinde (\.br). Voorbeeld:


```
NTE|1||Detectie-configuratie: Primary\.br\Gain-instelling: 2X\.br\ Post-shock stimulatie: AAN
```
 - Als er apparaatstatusinformatie aanwezig is, wordt de volledige apparaatstatus in de tweede NTE getoond. Voorbeeld:


```
NTE|2||Apparaat moet direct worden nagekeken.\.br\ \.br\Bel Boston Scientific - BD.\.br\\.br\Amerikaans continent: 1.800.CARDIAC (227.3422) of +1.651.582.4000\.br \Europa, Midden-Oosten, Afrika: +32 2 416 7222 \.br\Azië-Oceanië: +61 2 8063 8299
```
- Alle overige apparaten
 - Bij een alarm is er sprake van één NTE voor elk alarm.
 - In geval van een waarschuwing gaat aan een of meerdere alarm-NTE's een waarschuwings-NTE vooraf. Een waarschuwings-NTE bevat een of meerdere waarschuwingen in één NTE.

RAPPORTEN

Gepresenteerd EGM rapport

Als het gepresenteerde EGM-rapport beschikbaar is in de payload die is ontvangen van de PG, wordt het als PDF bij het bericht gevoegd, en wordt het gekoppeld aan de betreffende APMRT-episode met behulp van de groep-id (OBX-4) voor de APMRT-episode.

Gecombineerd follow-uprapport

Een gecombineerd follow-uprapport wordt als PDF aan een bericht toegevoegd in een afzonderlijke OBX.

Rapport Aritmie-logboek

Een aritmie-logboekrapport wordt als PDF aan een bericht toegevoegd in een afzonderlijke OBX.

Heart Failure Management rapport

Een Heart Failure Management rapport wordt als PDF aan een bericht toegevoegd in een afzonderlijke OBX.

Namen van rapporten in het bericht

Elk OBX-segment bevat de naam van het rapport in OBX-3.5. Voorbeeld:

```
OBX|51|ED|18750-0^Elektrofysiologierapport_hart^LN^^Gecombineerd
follow-uprapport||Toepassing^PDF^^Base64^{hier het gecodeerde PDF
voor base 64}|...
```

BASISTERMEN

De volgende tabel bevat nomenclatuurtermen die kunnen voorkomen in een BSC IDCO-bericht.

REFERENCE IDPREPEND MDC_IDC_	Weergavenaam
DEV	Implanteerbaar cardiaal apparaat
_TYPE	Type implanteerbaar cardiaal apparaat
_MODEL	Model van implanteerbaar cardiaal apparaat
_SERIAL	Serienummer van implanteerbaar cardiaal apparaat
_MFG	Fabrikant van implanteerbaar cardiaal apparaat
_IMPLANT_DT	Implantatiedatum van implanteerbaar cardiaal apparaat
LEAD	Attributen van implanteerbare lead
_MODEL	Model van implanteerbare lead
_SERIAL	Serienummer van implanteerbare lead
_MFG	Fabrikant van implanteerbare lead
_IMPLANT_DT	Implantatiedatum van implanteerbare lead
_POLARITY_TYPE	Type polariteit van implanteerbare lead
_LOCATION	Locatie van implanteerbare lead
_LOCATION_DETAIL_1	Detail 1 van locatie van implanteerbare lead

SESS	Opvraagssessie
_DTM	Datum/tijd van opvraagssessie
_TYPE	Type opvraagssessie
_CLINIC_NAME	Naam van kliniek
MSMT	Metingen
_BATTERY	Batterijmetingen
_DTM	Datum/tijd van batterijmetingen
_STATUS	Batterijstatus
_REMAINING_LONGEVITY	Resterende levensduur batterij
_REMAINING_PERCENTAGE	Resterend percentage batterij
_CAP	Condensatormetingen
_CHARGE_DTM	Datum/tijd van laatste keer opladen van condensator
_CHARGE_TIME	Laadtijd van condensator
_CHARGE_TYPE	Laadtype van condensator
_CHARGE_ENERGY	Laadvermogen
LEADCHNL[CHAMBER]	Leadkanaalmetingen
DTM[STRTEAD]	Datum en tijd van leadkanaalmetingen
_LEAD_CHANNEL_STATUS	Leadkanaalstatus
_SENSING	Detectiemetingen van leadkanaal
_INTR_AMPL_[MMM]	Intrinsieke amplitude leadkanaaldetectie
POLARITY	Polariteit van leadkanaaldetectie
_PACING_THRESHOLD	Metingen van stimulatiedrempel van leadkanaal
_AMPLITUDE	Amplitude van stimulatiedrempel van leadkanaal
_PULSEWIDTH	Pulsduur van stimulatiedrempel van leadkanaal
_MEASUREMENT_METHOD	Meetmethode van stimulatiedrempel van leadkanaal
_POLARITY	Polariteit van stimulatiedrempel van leadkanaal
_IMPEDANCE	Impedantiemetingen van leadkanaal
_VALUE	Impedantiewaarde van leadkanaal
_POLARITY	Polariteit van leadkanaalimpedantie
_LEADHVCHNL	Leadkanaalmetingen hoog voltage
DTM[STRTEAD]	Datum/tijd leadkanaal hoog voltage
_IMPEDANCE	Leadkanaalimpedantie hoog voltage
_MEASUREMENT_TYPE	Type leadkanaalmeting hoog voltage

_STATUS	Leadkanaalstatus hoog voltage
SET	Instellingen
_CRT	CRT-instellingen
_LVRV_DELAY	CRT LV-RV-interval
_PACED_CHAMBERS	Ventriculaire kamers gestimuleerd tijdens CRT-stimulatie
LEADCHNL[CHAMBER]	Leadkanaalinstellingen
_SENSING	Detectie van leadkanaalinstellingen
_SENSITIVITY	Detectiegevoeligheid leadkanaalinstellingen
_POLARITY	Detectiepolariteit van leadkanaalinstellingen
_ANODE_LOCATION_[1..3]	Anodelocatie detectie leadkanaalinstellingen
_ANODE_ELECTRODE_[1..3]	Anodeconnector detectie leadkanaalinstellingen
_CATHODE_LOCATION_[1..3]	Kathodelocatie detectie leadkanaalinstellingen
_CATHODE_ELECTRODE_[1..3]	Kathodeconnector detectie leadkanaalinstellingen
_ADAPTATION_MODE	Aanpassingsmodus detectie leadkanaalinstellingen
_PACING	Stimulatie van leadkanaalinstellingen
_AMPLITUDE	Stimulatieamplitude van leadkanaalinstellingen
_PULSEWIDTH	Pulsduur van stimulatie van leadkanaalinstellingen
_POLARITY	Stimulatiepolariteit van leadkanaalinstellingen
_ANODE_LOCATION_[1..3]	Anodelocatie stimulatie leadkanaalinstellingen
_ANODE_ELECTRODE_[1..3]	Anodeconnector stimulatie leadkanaalinstellingen
_CATHODE_LOCATION_[1..3]	Kathodelocatie stimulatie leadkanaalinstellingen
_CATHODE_ELECTRODE_[1..3]	Kathodeconnector stimulatie leadkanaalinstellingen
_CAPTURE_MODE	Stimulatiecapturemodus leadkanaalinstellingen
_BRADY	Brady-instellingen
_MODE	Brady-instellingsmodus (NBG-code)
_LOWRATE	Basisfrequentie brady-instellingen
_SENSOR_TYPE	Sensortype brady-instellingen
_MAX_TRACKING_RATE	Maximale trackingfrequentie brady-instellingen
_MAX_SENSOR_RATE	Maximale sensorfrequentie brady-instellingen
_SAV_DELAY_[HIGHLOW]	SAV-interval brady-instellingen
_PAV_DELAY_[HIGHLOW]	PAV-interval brady-instellingen

_AT_MODE_SWITCH_MODE	Switchmodus AT-modus brady-instellingen
_AT_MODE_SWITCH_RATE	Switchfrequentie AT-modus brady-instellingen
_TACHYTHERAPY	Instellingen tachytherapie
_VSTAT	Ventriculaire status tachytherapie-instellingen
_ZONE	Zone-instellingen
_TYPE	Typecategorie zone-instellingen
_VENDOR_TYPE	Categorie leverancierstype zone-instellingen
_STATUS	Status zone-instellingen
_DETECTION_INTERVAL	Detectie-interval zone-instellingen
_DETECTION_DETAILS	Detectedetails
_TYPE_ATP_[1..10]	ATP-type zone-instellingen
_NUM_ATP_SEQS_[1..10]	Aantal ATP-reeksen zone-instellingen
_SHOCK_ENERGY_[1..10]	Shockenergie zone-instellingen
_NUM_SHOCKS_[1..10]	Aantal shocks zone-instellingen
STAT	Statistieken
DTM[STRTEEND]	Datum/tijd statistieken
_BRADY	Bradystatistieken
DTM[STRTEEND]	Datum/tijd bradystatistieken
_RA_PERCENT_PACED	RA-stimulatiepercentage bradystatistieken
_RV_PERCENT_PACED	RV-stimulatiepercentage bradystatistieken
_AT	Atriale tachystatistieken
DTM[STRTEEND]	Datum/tijd atriale tachystatistieken
_BURDEN_PERCENT	AT/AF-belastingpercentage atriale tachystatistieken
_CRT	CRT-statistieken
DTM[STRTEEND]	Datum/tijd CRT-statistieken
_LV_PERCENT_PACED	LV-stimulatiepercentage CRT-statistieken
_TACHYTHERAPY	Tachytherapiestatistieken
_SHOCKS_DELIVERED_RECENT	Recent afgegeven shocks
_RECENT_DTM_[STRTEEND]	Recente datum/tijd
_SHOCKS_DELIVERED_TOTAL	Totaal afgegeven shocks
_TOTAL_DTM_[STRTEEND]	Totaal datum/tijd
_SHOCKS_ABORTED_RECENT	Recent afgebroken shocks
_SHOCKS_ABORTED_TOTAL	Totaal afgebroken shocks

_ATP_DELIVERED_RECENT	Recent afgegeven ATP
_ATP_DELIVERED_TOTAL	Totaal afgegeven ATP
_EPISODE	Episodestatistieken
_TYPE	Categorie type episodestatistieken
_TYPE_INDUCED	Type episodestatistieken geïndiceerd
_VENDOR_TYPE	Categorie leverancierstype episodestatistieken
_RECENT_COUNT	Recent aantal episodestatistieken
_RECENT_COUNT_DTM_[STRTEIND]	Recente datum/tijd episodestatistieken
_TOTAL COUNT	Totale telling
_TOTAL_COUNT_DTM_[STRTEIND]	Totaal datum/tijd
EPISODE	Episode
_ID	Episodecode
_DTM	Datum/tijd van episode
_TYPE	Categorie episodetype
_TYPE_INDUCED	Vlag episodetype geïndiceerd
_VENDOR_TYPE	Categorie leverancierstype episode
_ATRIAL_INTERVAL_AT_DETECTION	Detectie-interval episode atriaal
_VENTRICULAR_INTERVAL_AT_DETECTION	Detectie-interval episode ventriculair
_DETECTION_THERAPY_DETAILS	Episodedetectie en therapiedetails
_DURATION	Episodeduur

Outdated version. Do not use.
Version überholt. Nicht verwenden.
Version obsolète. Ne pas utiliser.
Versión obsoleta. No utilizar.
Versione obsoleta. Non utilizzare.
Verouderde versie. Niet gebruiken.
Föråldrad version. Använd ej.
Παλιά έκδοση. Μην την χρησιμοποιείτε.
Versão obsoleta. Não utilize.
Forældet version. Må ikke anvendes.
Zastaralá verze. Nepoužívat.
Utdatert versjon. Skal ikke brukes.
Zastaraná verzia. Nepoužívať.
Elavult verzió. Ne használja!
Wersja nieaktualna. Nie używać.

GEGEVENS VAN GEÏMPLANTEERDE APPARATEN CONVERTEREN NAAR IDCO-BERICHTEN

HOOFDSTUK 3

In dit hoofdstuk worden de volgende onderwerpen beschreven:

- “Batterijstatus” op pagina 3-2
- “SET_BRADY_SENSOR_TYPE” op pagina 3-2
- “Episodemapping” op pagina 3-2
- “Tellermapping” op pagina 3-4
- “Leadconfiguratiemapping” op pagina 3-4
- “Systeembepalingen” op pagina 3-5
- “Definities van alarmen en waarschuwingen” op pagina 3-6
- “Rapporten” op pagina 3-6

BATTERIJSTATUS

Deze batterijparameters zijn als volgt aan een BSC-batterijstatus gekoppeld:

BSC-BATTERIJSTATUS (S-ICD-apparaten)	BSC-BATTERIJSTATUS (alle overige apparaten)	IDCO-BATTERIJSTATUS
>10% resterend tot ERI	BOL	BOS
<10% resterend tot ERI	OY	MOS
ERI	ERI	RRT
EOL	EOL	EOS

Als er bij een geïmplanteerd apparaat sprake is van beperkte telemetrie, kan de batterijstatus van het apparaat ERI of EOL zijn. Beide batterijstatussen resulteren in hetzelfde bericht: ENUM_BATTERY_STATUS_RRT (ERI) in MSMT_BATTERY_STATUS met de ERI-tijdstempel in MSMT_BATTERY_DTM. Dit is alleen van toepassing op beperkte telemetrie en niet op S-ICD-apparaten.

SET_BRADY_SENSOR_TYPE

Het sensortype wordt verzonden zoals weergegeven in onderstaande tabel.

VERZONDEN WAARDE VOOR SET_BRADY_SENSOR_TYPE VARIABELE OP BASIS VAN INSTELLING VOOR GEÏMPLANTEERD APPARAAT	INSTELLING GEÏMPLANTEERD APPARAAT
"Accelerometer"	Alleen accelerometer
"Minuut Volume"	Alleen MV
"Accelerometer + MV"	Accelerometer en MV

Bovenstaande waarden worden alleen verzonden als de frequentie kan worden bestuurd door de sensor (en kunnen dus niet worden verzonden als de sensor zich in de monitorstatus bevindt).

Bovenstaande waarden worden verzonden als de frequentie kan worden bestuurd in de normale bradymodus of in ATR (d.w.z. de waarde komt niet alleen overeen met de normale brachymodus).

Let op: "ATR excl" kan worden weergegeven in rapporten als de ATR-modus een frequentieadapterende modus is, en als de normale bradymodus niet frequentieadapterend is. In dat geval wordt de tekst (bijv. "Accelerometer") nog steeds verzonden voor de ATR-modus. De gebruiker kan de brachymodus en ATR-modus bekijken en bepalen of de frequentierespons exclusief voor ATR is.

EPISODEMAPPING

Episodes, tellers, enzovoort worden verzonden op basis van de informatie in de opvraging. Dezelfde informatie wordt eerst verzonden en vervolgens opnieuw verstuurd, ook als er opvragingen tussen liggen. De EMR-output komt niet altijd overeen met de weergave in het Quick Notes-rapport, omdat in Quick Notes episodes, waarschuwingen en tellers worden weergegeven sinds de laatste reset. Episodes worden weergegeven in een combinatie van normatieve en leveranciersspecifieke typen. Sommige Boston Scientific-episodetypen kunnen niet uniek worden weergegeven in de huidige IDCO-nomenclatuur.

BSC-EPISODE-ID	BSC-EPISODETYPE	NORMATIEF IDCO-EPISODETYPE	LEVERANCIERSPECIFIEK IDCO-EPISODETYPE
V-x	VF	VF	BSX-Zone_VF
V-x	VT	VT	BSX-Epis_VT
V-x	VT (V>A)	VT	BSX-Epis_VT
V-x	Tachy	Voor SSI-apparaten, bij lead in de: <ul style="list-style-type: none"> • V – VT • A – AT/AF • Ongespecificeerd – VT 	Zie opmerking a
V-x	NietAanh.	Voor SSI-apparaten, bij lead in de: <ul style="list-style-type: none"> • V – VT • A – AT/AF • Ongespecificeerd – VT 	Indien A, leeg anders BSX-Epis_NSVT
V-x	SVT (V≤A)	SVT	BSX-Zone_SVT
V-x	VT-1	VT	BSX-Epis_VT-1
RMS-x	RMS	Overig	BSX-Epis_RMS
RYTHMIQ™-x	RYTHMIQ™	Overig	BSX-Epis_RMS
ATR-x	ATR	ATAF	BSX-Epis_ATR
PMT-x	PMT	Overig	BSX-Epis_PMT
PBR-x	PBR	Overig	Zie opmerking a
PTM-x	PTM	Door patiënt geactiveerd	BSX-Epis_PTM
V-x	Cmd V	Overig	Zie opmerking a
V-x	NietAanhV	VT	BSX-Epis_NSVT
APMRT-x	APM RT	Periodieke EGM	BSX-Epis_APMRT
RVAT-x	RV Auto	Overig	Zie opmerking a
RAAT-x	RA Auto	Overig	Zie opmerking a
LVAT-x	LV Auto	Overig	Zie opmerking a
MRI-x	MRI	Overig	Zie opmerking a
<episodenummer>	Behandeld	VF	BSX-Zone_VF
<episodenummer>	Niet-behandeld	Overig	Zie opmerking a
<episodenummer>	AF	ATAF	Zie opmerking a

a. Het leverancierspecifieke episodetype OBX wordt getoond in het bericht met een lege waarde voor observatie.

TELLERMAPPING

Sommige tellers worden opgeteld voordat ze in het bericht worden verzonden. De reden hiervoor is dat niet alle Boston Scientific-tellers momenteel kunnen worden weergegeven in de IDCO-nomenclatuur: De verzonden waarden zijn de waarden sinds de laatste reset.

BSC-EPISODETELLER	STATISTISCH NORMATIEF IDCO-EPISODETYPE	STATISTISCH LEVERANCIERSPECIFIEK IDCO-EPISODETYPE
Behandeld	VF	BSX-Epis_VF
Niet-behandeld	Overig	Zie opmerking a
VT (V>A)	VT	BSX-Epis_VT
Tachy	VT	BSX-Epis_VT
NietAanh.	VT	BSX-Epis_NSVT
NietAanhV	VT	BSX-Epis_NSVT
SVT (V≤A)	SVT	BSX-Epis_SVT
ATR	AT/AF	BSX-Epis_ATR
MRI	Overig	Zie opmerking a
VF	VF	BSX-Epis_VF
VT	VT	BSX-Epis_VT
VT-1	VT	BSX-Epis_VT-1
Cmd	Overig	Zie opmerking a
Geen therapie geprogrammeerd	Monitor	Zie opmerking a
Overige niet-behandelde	Overig	Zie opmerking a
RMS	Overig	BSX-Epis_RMS
RHYTHMIQ™	Overig	BSX-Epis_RMS
PMT	Overig	BSX-Epis_PMT
PBR	Overig	Zie opmerking a
PTM	Door patiënt geactiveerd	BSX-Epis_PTM
APM RT	Periodieke EGM	BSX-Epis_APMRT
RA Auto	Overig	Zie opmerking a
RV Auto	Overig	Zie opmerking a
LV Auto	Overig	Zie opmerking a

a. de leveranciersspecifieke tellerstat OBX wordt getoond in het bericht met een lege waarde voor observatie.

LEADCONFIGURATIEMAPPING

In onderstaande tabel wordt aangegeven hoe leads met meerdere elektroden in IDCO en BSC zijn gedefinieerd. Deze tabel is niet bedoeld als volledige lijst, en bevat alleen gegevens die mogelijk niet duidelijk zijn.

De definities die in BSC worden gebruikt, zijn consistent met de Programmer/Recorder/Monitor (PRM) en de LATITUDE-website.

BSC-ELEKTRODENAAM	IDCO-ELEKTRODELOCATIE	IDCO-ELEKTRODENAAM
Can	Overig	Can
LVTip1	LV	Tip
LVRing2	LV	Ring1
LVRing3	LV	Ring2
LVRing4	LV	Ring3

MDC_IDC_ENUM_ELECTRODE_LOCATION (locatie stimulatie/detectie anode/kathode) bevat momenteel geen lijst voor de pocket (d.w.z. can). Locatie wordt verzonden als "overig" en elektrode als "can".

De status "lead controleren" geeft aan dat er mogelijk een probleem is met de lead; als de status "lead controleren" echter niet wordt weergegeven, wil dat niet zeggen dat er geen probleem is. Er wordt een status "Controle Lead" verzonden bij een van de volgende statusindicatoren:

- S-ICD-apparaten
 - Hoge elektrode-impedantie
- Alle overige apparaten
 - Veiligheidsschakelaar lead
 - Impedantie buiten bereik
 - Amplitude buiten bereik
 - Lage shock-impedantie
 - Hoge shock-impedantie
 - Hoog voltage tijdens laden

Voor MSMT_LEADCHNL_[CHAMBER] (d.w.z. leadkanaalmetingen zoals intrinsieke amplitude, leadimpedantie, stimulatiedrempel) is slechts één tijdstempelbereik mogelijk voor alle metingen (dus niet één bereik per meting) in de huidige IDCO-nomenclatuur. Als de meetijden verschillend zijn, wordt er een tijdstempelbereik (d.w.z. MIN, MAX) verzonden dat de tijden van alle metingen bevat. Verder zijn de waarden die worden verzonden een IDCO MEAN-waarde op basis van de IDCO-nomenclatuur. De waarden zijn echter enkele metingen en zijn geen gemiddelde waarden over het tijdstempelbereik.

SYSTEEMBEPERKINGEN

- Tachyspecifieke en kamerspecifieke output zijn zo nauwkeurig mogelijk. In sommige gevallen is het echter zeer belangrijk dat de gegevens worden verzonden. Dit, en het feit dat IDCO bepaalde parameters niet kan weergeven, zorgt ervoor dat de gegevens toch worden verzonden. VT-zone-informatie wordt bijvoorbeeld verzonden alsof bradyapparaten een VT-zone zouden hebben.
- Bij apparaten die geen automatische stimulatiedrempel (autodrempelfunctie) hebben, wordt de laatste poliklinische drempelmeting verzonden.
- Een goede rapportering van de geïmplanteerde apparaatgegevens en alarmmeldingen door het LATITUDE NXT-systeem is afhankelijk van de al dan niet correcte programmering van de klok van het geïmplanteerde apparaat met een Programmer/Recorder/Monitor (PRM). Een goede rapportering kan ook een tijd nadat de klok van het geïmplanteerde apparaat correct

geprogrammeerd werd beïnvloed worden, afhankelijk van de hoeveelheid gegevens met onnauwkeurige tijdsinformatie en het tijdsverschil van de klok van het geïmplanteerde apparaat.

- Tekenreeksen worden verzonden in de taal die is geconfigureerd voor de kliniek in LATITUDE.

DEFINITIES VAN ALARMEN EN WAARSCHUWINGEN

Waarschuwingen en alarmen worden als opmerkingen bij het bericht gevoegd. Deze opmerkingen worden al dan niet in een EMR weergegeven. Een waarschuwing of alarm wordt in het bericht opgenomen als de gegevens die zijn geüpload van de PG de waarschuwing hebben veroorzaakt.

RAPPORTEN

Gepresenteerd EGM rapport

Als het Gepresenteerde EGM rapport beschikbaar is in de payload die is ontvangen van de PG, wordt het als PDF bij het bericht gevoegd, en wordt het gekoppeld aan de betreffende APMRT-episode met behulp van de groep-id (OBX-4) voor de APMRT-episode.

Gecombineerd follow-uprapport

Een gecombineerd follow-uprapport wordt als PDF aan het bericht toegevoegd.

Rapport Aritmie-logboek

Een aritmie-logboekrapport wordt als PDF aan een bericht toegevoegd in een afzonderlijke OBX.

Heart Failure Management rapport

Een Heart Failure Management rapport wordt als PDF aan een bericht toegevoegd in een afzonderlijke OBX.

VOORBEELD VAN IDCO-BESTANDEN

HOOFDSTUK 4

In dit hoofdstuk worden de volgende onderwerpen beschreven:

- “Voorbeeld van IDCO-bestanden” op pagina 4-2
- “Voorbeeldbericht 1 — S-ICD-Apparaat” op pagina 4-2
- “Voorbeeldbericht 2 — Overige Apparaten (Niet S-ICD)” op pagina 4-3

Outdated version. Do not use.
Version überholt. Nicht verwenden.
Version obsolète. Ne pas utiliser.
Versión obsoleta. No utilizar.
Versione obsoleta. Non utilizzate.
Verouderde versie. Niet gebruiken.
Föråldrad version. Använd ej.
Παλιά έκδοση. Μην την χρησιμοποιείτε.
Versão obsoleta. Não utilize.
Forældet version. Må ikke anvendes.
Zastaralá verzia. Nepoužívať.
Utdatert versjon. Skal ikke brukes.
Zastaraná verzia. Nepoužívať.
Elavult verzió. Ne használja!
Wersja nieaktualna. Nie używać.

VOORBEELD VAN IDCO-BESTANDEN

De volgende IDCO-voorbeeldbestanden laten zien hoe LATITUDE IDCO-berichten eruit kunnen zien. Dit zijn slechts twee voorbeelden van de vele mogelijke resultaten. De gegevens in de voorbeeldberichten zijn hypothetisch en niet alle IDCO-termen voor LATITUDE worden weergegeven.

VOORBEELDBERICHT 1 — S-ICD-APPARAAT

```

MSH|^~\&|LATITUDE|BOSTON SCIENTIFIC||TestClinic|201502111625+0000||ORU^R01^ORU_R01
|0|P|2.6| ||||UNICODE UTF-8|nl^Dutch||IHE_PCD_009^IHE_PCD^1.3.6.1.4.1.19376.1.6.1.9.
1^ISOPID|1||model:A209/serial:671933819^^^BSX^U~testPatientId^^^TestClinic^U||
testLastName^testName^^^^^I~testAuxLName^testAuxFName^^^^^P||19680215|UPV1|1|
RPV2| |||||TestDeviceGroup^^1
OBR|1||1000000026|754054^MDC_IDC_ENUM_SESS_TYPE_RemotePatientInitiated^MDC||
201501260412-0600| |||||F
NTE|1||Detectie-configuratie: Alternate\br\Gain-instelling:
1X\br\Post-shock stimulatie: AANTE|2||jan 26, 2015 11:07 EST - Geel
alarmsignaal - Niet-behandelde episode.
NTE|3||jan 26, 2015 11:04 EST - Geel alarmsignaal - Shocktherapie die wordt
afgegeven voor het converteren van aritmie (behandelde episode).
OBX|1|CWE|720897^MDC_IDC_DEV_TYPE^MDC||753666^MDC_IDC_ENUM_DEV_TYPE_ICD^MDC| ||||F
OBX|2|ST|720898^MDC_IDC_DEV_MODEL^MDC||A209| ||||F
OBX|3|ST|720899^MDC_IDC_DEV_SERIAL^MDC||671933819| ||||F
OBX|4|CWE|720900^MDC_IDC_DEV_MFG^MDC||753732^MDC_IDC_ENUM_MFG_BSX^MDC| ||||F
OBX|5|DTM|720901^MDC_IDC_DEV_IMPLANT_DT^MDC||20150126| ||||F
OBX|6|DTM|721025^MDC_IDC_SESS_DTM^MDC||201501260412-0600| ||||F
OBX|7|CWE|721026^MDC_IDC_SESS_TYPE^MDC||754054^MDC_IDC_ENUM_
SESS_TYPE_RemotePatientInitiated^MDC| ||||F
OBX|8|ST|721033^MDC_IDC_SESS_CLINIC_NAME^MDC||TestClinic| ||||F
OBX|9|DTM|721216^MDC_IDC_MSMT_BATTERY_DTM^MDC||201501260412-0600| ||||F
OBX|10|CWE|721280^MDC_IDC_MSMT_BATTERY_STATUS^MDC||754113^MDC_IDC_ENUM_
BATTERY_STATUS_BOS^MDC| ||||F
OBX|11|NM|721536^MDC_IDC_MSMT_BATTERY_REMAINING_PERCENTAGE^MDC||98| ||||F
OBX|12|ST|739536^MDC_IDC_EPISODE_ID^MDC||1002| ||||F
OBX|13|DTM|739552^MDC_IDC_EPISODE_DTM^MDC||201501261107-0500| ||||F
OBX|14|CWE|739568^MDC_IDC_EPISODE_TYPE^MDC||754888^MDC_IDC_ENUM_
EPISODE_TYPE_Epis_Other^MDC| ||||F
OBX|15|CWE|739600^MDC_IDC_EPISODE_VENDOR_TYPE^MDC||1| ||||F
OBX|16|CWE|739584^MDC_IDC_EPISODE_TYPE_INDUCED^MDC||755330^MDC_IDC_ENUM_
EPISODE_TYPE_INDUCED_NO^MDC| ||||F
OBX|17|NM|739712^MDC_IDC_EPISODE_DURATION^MDC||139|s| ||||F
OBX|18|ST|739680^MDC_IDC_EPISODE_DETECTION_THERAPY_DETAILS^MDC||1|
Niet-behandeld Episode| ||||F
OBX|19|ST|739536^MDC_IDC_EPISODE_ID^MDC||2001| ||||F
OBX|20|DTM|739552^MDC_IDC_EPISODE_DTM^MDC||2|201501261104-0500| ||||F
OBX|21|CWE|739568^MDC_IDC_EPISODE_TYPE^MDC||2|754881^MDC_IDC_ENUM_
EPISODE_TYPE_Epis_VF^MDC| ||||F
OBX|22|CWE|739600^MDC_IDC_EPISODE_VENDOR_TYPE^MDC||2|771073^MDC_IDC_ENUM_
EPISODE_VENDOR_TYPE_BSX-Epis_VF^MDC| ||||F
OBX|23|CWE|739584^MDC_IDC_EPISODE_TYPE_INDUCED^MDC||2|755330^MDC_IDC_ENUM_
EPISODE_TYPE_INDUCED_NO^MDC| ||||F
OBX|24|NM|739712^MDC_IDC_EPISODE_DURATION^MDC||243|s| ||||F
OBX|25|ST|739680^MDC_IDC_EPISODE_DETECTION_THERAPY_DETAILS^MDC||2|
Behandeld Episode: Shock-impedantie=77 Ohms, Laatste shockpolariteit=REV| ||||F
OBX|26|CWE|731520^MDC_IDC_SET_TACHYTHERAPY_VSTAT^MDC||754817^MDC_IDC_ENUM_
THERAPY_STATUS_On^MDC| ||||F
OBX|27|CWE|731648^MDC_IDC_SET_ZONE_TYPE^MDC||1|754945^MDC_IDC_ENUM_
ZONE_TYPE_Zone_VF^MDC| ||||F

```

OBX|28|CWE|731712^MDC_IDC_SET_ZONE_VENDOR_TYPE^MDC|1|771139^MDC_IDC_ENUM_ZONE_VENDOR_TYPE_BS-X-Zone_VF^MDC|||||F
 OBX|29|CWE|731776^MDC_IDC_SET_ZONE_STATUS^MDC|1|755009^MDC_IDC_ENUM_ZONE_STATUS_Active^MDC|||||F
 OBX|30|NM|731840^MDC_IDC_SET_ZONE_DETECTION_INTERVAL^MDC|1|273|ms|||||F
 OBX|31|NM|732225^MDC_IDC_SET_ZONE_SHOCK_ENERGY_1^MDC|1|80|J|||||F
 OBX|32|CWE|731648^MDC_IDC_SET_ZONE_TYPE^MDC|1|754946^MDC_IDC_ENUM_ZONE_TYPE_Zone_VT^MDC|||||F
 OBX|33|CWE|731712^MDC_IDC_SET_ZONE_VENDOR_TYPE^MDC|2|771137^MDC_IDC_ENUM_ZONE_VENDOR_TYPE_BS-X-Zone_VT^MDC|||||F
 OBX|34|CWE|731776^MDC_IDC_SET_ZONE_STATUS^MDC|2|755009^MDC_IDC_ENUM_ZONE_STATUS_Active^MDC|||||F
 OBX|35|NM|731840^MDC_IDC_SET_ZONE_DETECTION_INTERVAL^MDC|2|300|ms|||||F
 OBX|36|ST|732032^MDC_IDC_SET_ZONE_DETECTION_DETAILS^MDC|2|SMART Charge: 204,69 s (133 intervallen)|||||F
 OBX|37|NM|732225^MDC_IDC_SET_ZONE_SHOCK_ENERGY_1^MDC|2|80|J|||||F
 OBX|38|CWE|737952^MDC_IDC_STAT_EPISODE_TYPE^MDC|1|754888^MDC_IDC_ENUM_EPISODE_TYPE_Epis_Other^MDC|||||F
 OBX|39|CWE|737984^MDC_IDC_STAT_EPISODE_VENDOR_TYPE^MDC|1|||||F
 OBX|40|NM|738000^MDC_IDC_STAT_EPISODE_RECENT_COUNT^MDC|1|1|||||F
 OBX|41|DTM|738017^MDC_IDC_STAT_EPISODE_RECENT_COUNT_DTM_START^MDC|1|20150126|||||F
 OBX|42|DTM|738018^MDC_IDC_STAT_EPISODE_RECENT_COUNT_DTM_END^MDC|1|20150126|||||F
 OBX|43|NM|738032^MDC_IDC_STAT_EPISODE_TOTAL_COUNT^MDC|1|1|||||F
 OBX|44|DTM|738049^MDC_IDC_STAT_EPISODE_TOTAL_COUNT_DTM_START^MDC|1|20150126|||||F
 OBX|45|DTM|738050^MDC_IDC_STAT_EPISODE_TOTAL_COUNT_DTM_END^MDC|1|20150126|||||F
 OBX|46|CWE|737952^MDC_IDC_STAT_EPISODE_TYPE^MDC|2|754881^MDC_IDC_ENUM_EPISODE_TYPE_Epis_VF^MDC|||||F
 OBX|47|CWE|737984^MDC_IDC_STAT_EPISODE_VENDOR_TYPE^MDC|2|771073^MDC_IDC_ENUM_EPISODE_VENDOR_TYPE_BS-X-Epis_VF^MDC|||||F
 OBX|48|NM|738000^MDC_IDC_STAT_EPISODE_RECENT_COUNT^MDC|2|1|||||F
 OBX|49|DTM|738017^MDC_IDC_STAT_EPISODE_RECENT_COUNT_DTM_START^MDC|2|20150126|||||F
 OBX|50|DTM|738018^MDC_IDC_STAT_EPISODE_RECENT_COUNT_DTM_END^MDC|2|20150126|||||F
 OBX|51|NM|738032^MDC_IDC_STAT_EPISODE_TOTAL_COUNT^MDC|2|1|||||F
 OBX|52|DTM|738049^MDC_IDC_STAT_EPISODE_TOTAL_COUNT_DTM_START^MDC|2|20150126|||||F
 OBX|53|DTM|738050^MDC_IDC_STAT_EPISODE_TOTAL_COUNT_DTM_END^MDC|2|20150126|||||F
 OBX|54|DTM|737937^MDC_IDC_STAT_TACHYTHERAPY_RECENT_DTM_START^MDC|1|20150126|||||F
 OBX|55|DTM|737938^MDC_IDC_STAT_TACHYTHERAPY_RECENT_DTM_END^MDC|1|20150126|||||F
 OBX|56|NM|737824^MDC_IDC_STAT_TACHYTHERAPY_SHOCKS_DELIVERED_RECENT^MDC|1|1|||||F
 OBX|57|DTM|737921^MDC_IDC_STAT_TACHYTHERAPY_TOTAL_DTM_START^MDC|1|20150126|||||F
 OBX|58|DTM|737922^MDC_IDC_STAT_TACHYTHERAPY_TOTAL_DTM_END^MDC|1|20150126|||||F
 OBX|59|NM|737840^MDC_IDC_STAT_TACHYTHERAPY_SHOCKS_DELIVERED_TOTAL^MDC|1|1|||||F
 OBX|60|ST|720961^MDC_IDC_LEAD_MODEL^MDC|1|1030|||||F
 OBX|61|ST|720962^MDC_IDC_LEAD_SERIAL^MDC|1|A123456|||||F
 OBX|62|CWE|720963^MDC_IDC_LEAD_MFG^MDC|1|753732^MDC_IDC_ENUM_MFG_BS-X^MDC|||||F
 OBX|63|CWE|720966^MDC_IDC_LEAD_LOCATION^MDC|1|753861^MDC_IDC_ENUM_LEAD_LOCATION_CHAMBER_OTHER^MDC|||||F
 OBX|64|CWE|720967^MDC_IDC_LEAD_LOCATION_DETAIL_1^MDC|1|753944^MDC_IDC_ENUM_LEAD_LOCATION_DETAIL_Subcutaneous^MDC|||||F
 OBX|65|ED|18750-0^Cardiac Electrophysiology Report^LN^^Overzichtsrapport||Application^PDF^^Base64^{gecodeerde PDF hier}|||||F
 |||201501260412-0600OBX|66|ED|18750-0^Cardiac Electrophysiology Report^LN^^Rapport Aritmie-logboek||Application^PDF^^Base64^{gecodeerde PDF hier}|||||F
 |||201501260412-0600OBX|67|ED|18750-0^Cardiac Electrophysiology Report^LN^^Gepresenteerd S-ECG-rapport||Application^PDF^^Base64^{gecodeerde PDF hier}|||||F
 |||201501260412-0600

VOORBEELDBERICHT 2 — OVERIGE APPARATEN (NIET S-ICD)

MSH|^~\&|LATITUDE|BOSTON SCIENTIFIC||TestClinic|201305092136+0000||ORU^R01^ORU_R01

```
|0|P|2.6|UNICODE UTF-8|nl^Dutch||IHE_PCD_009^IHE_PCD
^1.3.6.1.4.1.19376.1.6.1.9.1^ISO
PID|1||model:N119/serial:900141^^^BSX^U||testLastName^testName^^^^^I
~testAuxLName^testAuxFName^^^^^P||19680215|U
PV1|1|R
PV2|TestDeviceGroup^1
OBR|1||1000000916|754054^MDC_IDC_ENUM_SESS_TYPE_RemotePatientInitiated
^MDC||201001151330-0500|F
NTE|1||02 feb 2012 00:00 - Geel alarmsignaal - Atriale aritmiebelasting van ten
minste 3,0 uur in een periode van 24 uur.
NTE|2||02 feb 2012 00:00 - Geel alarmsignaal - Atriale aritmiebelasting van ten
minste 3,0 uur in een periode van 24 uur tussen 11 jan 2010 23:00 en 12 jan 2010 00:00.
NTE|3||02 feb 2012 00:00 - Geel alarmsignaal - Stimulatie met cardiale
resynchronisatie therapie van < 1%. Stimulatie bedroeg 2% tussen 11 jan 2010 23:00 en
12 jan 2010 00:00.
NTE|4||02 feb 2012 00:00 - Geel alarmsignaal - Rechtsventriculaire stimulatie
van > 1%. Stimulatie bedroeg 2% tussen 11 jan 2010 23:00 en 12 jan 2010 00:00.
NTE|5||02 feb 2012 00:00 - Geel alarmsignaal - Patiëntgetriggerd event opgeslagen.
Bekijk het episodetail in het aritmieboek op het tabblad Events.
NTE|6||02 feb 2012 00:00 - Geel alarmsignaal - Gewichtstoename van tenminste
2,27 kg per week of tenminste 0,91 kg gemiddeld tijdens een periode van twee
of meer dagen.
NTE|7||02 feb 2012 00:00 - Geel alarmsignaal - Gewichtsverlies van tenminste
2,27 kg per week of tenminste 0,91 kg gemiddeld tijdens een periode van twee
of meer dagen.
NTE|8||02 feb 2012 00:00 - Geel alarmsignaal - Explantatie-indicator bereikt op
12 jan 2010 00:00. Plan vervanging van dit apparaat.
NTE|9||02 feb 2012 00:00 - Geel alarmsignaal - Voltage was te laag voor de
geschatte restcapaciteit.
NTE|10||02 feb 2012 00:00 - Rood alarmsignaal - Monitoring van op afstand werd
gedeactiveerd op 12 jan 2010 00:00 als gevolg van een beperkte batterijcapaciteit
(Explantatie-indicator bereikt op 12 feb 2010 00:00).
NTE|11||02 feb 2012 00:00 - Geel alarmsignaal - Corruptie in therapiehistorie
gedetecteerd. Verder opgeslagen therapiehistoriegegevens zijn verwijderd.
NTE|12||02 feb 2012 00:00 - Rood alarmsignaal - Mogelijk apparaat defect
(foutcode 1011).
NTE|13||02 feb 2012 00:00 - Rood alarmsignaal - Mogelijk defect van het apparaat
(foutcode 1007).
NTE|14||02 feb 2012 00:00 - Rood alarmsignaal - Mogelijk defect van het apparaat
(foutcode 1009).
NTE|15||02 feb 2012 00:00 - Rood alarmsignaal - Apparaat in Veiligheidsmodus.
Ter bescherming van de patiënt is het apparaat naar de veiligheidsmodus
overgeschakeld.
NTE|16||02 feb 2012 00:00 - Geel alarmsignaal - Rechtsventriculaire automatische
drempel gedetecteerd als > geprogrammeerde amplitude of opgeschort.
NTE|17||02 feb 2012 00:00 - Geel alarmsignaal - Atriale automatische drempel
gedetecteerd als > geprogrammeerde amplitude of opgeschort.
NTE|18||02 feb 2012 00:00 - Rood alarmsignaal - Shocklead-impedantiemetingen
buiten bereik.
NTE|19||02 feb 2012 00:00 - Rood alarmsignaal - Lage shock-lead impedantie
gedetecteerd tijdens poging tot toedienen van een shock
NTE|20||02 feb 2012 00:00 - Rood alarmsignaal - Hoge shock-lead impedantie
gedetecteerd tijdens poging tot toedienen van een shock
NTE|21||02 feb 2012 00:00 - Rood alarmsignaal - Hoog voltage gedetecteerd op
shock-lead tijdens laden
NTE|22||02 feb 2012 00:00 - Rood alarmsignaal - Bescherming elektrocauterisatie
is actief.
NTE|23||02 feb 2012 00:00 - Geel alarmsignaal - VT-episode plaatsgevonden (V>A).
NTE|24||02 feb 2012 00:00 - Geel alarmsignaal - Bradymodus van apparaat is uit.
```

Er wordt geen bradytherapie afgegeven.

NTE|25||02 feb 2012 00:00 - Geel alarmsignaal - Linksventriculaire stimulatielead-impedantie buiten bereik.

NTE|26||02 feb 2012 00:00 - Geel alarmsignaal - Atriale stimulatielead-impedantie buiten bereik.

NTE|27||02 feb 2012 00:00 - Geel alarmsignaal - Rechtsventriculaire intrinsieke amplitude buiten bereik.

NTE|28||02 feb 2012 00:00 - Geel alarmsignaal - Intrinsieke amplitude buiten bereik.

NTE|29||02 feb 2012 00:00 - Geel alarmsignaal - Linksventriculaire intrinsieke amplitude buiten bereik.

NTE|30||02 feb 2012 00:00 - Geel alarmsignaal - Atriale intrinsieke amplitude buiten bereik.

NTE|31||02 feb 2012 00:00 - Rood alarmsignaal - Rechtsventriculaire stimulatielead-impedantie buiten bereik.

NTE|32||02 feb 2012 00:00 - Rood alarmsignaal - Stimulatielead-impedantie buiten bereik.

NTE|33||02 feb 2012 00:00 - Geel alarmsignaal - Ventriculaire shocktherapie afgegeven voor het converteren van aritmie.

NTE|34||02 feb 2012 00:00 - Geel alarmsignaal - Versnelde ventriculaire aritmie-episode.

NTE|35||02 feb 2012 00:00 - Rood alarmsignaal - V-tachymode is ingesteld op andere waarde dan Monitor + Therapie

NTE|36||02 feb 2012 00:00 - Rood alarmsignaal - Kennisgeving van leadcontrole vanwege abrupte verandering van rechtsventriculaire stimulatielead-impedantie in de laatste 7 dagen.

NTE|37||02 feb 2012 00:00 - Rood alarmsignaal - Kennisgeving van leadcontrole vanwege episode met mogelijk rechtsventriculair niet-fysiologisch signaal.

NTE|38||02 feb 2012 00:00 - Geel alarmsignaal - Automatische drempel van het linkerventrikel gedetecteerd als > dan geprogrammeerde amplitude, of uitgesteld.

OBX|1|ST|739536^MDC_IDC_EPISODE_ID^MDC|1|MRI-16|||||F

OBX|2|DTM|739552^MDC_IDC_EPISODE_DTM^MDC|1|200101020304|||||F

OBX|3|CWE|739568^MDC_IDC_EPISODE_TYPE^MDC|1|754888
 ^MDC_IDC_ENUM_EPISODE_TYPE_Epis_Other^MDC|||||F

OBX|4|CWE|739600^MDC_IDC_EPISODE_VENDOR_TYPE^MDC|1|||||F

OBX|5|NM|739712^MDC_IDC_EPISODE_DURATION^MDC|1|100|s|||||F

OBX|6|ST|739680^MDC_IDC_EPISODE_DETECTION_THERAPY_DETAILS
 ^MDC|1|MRI Beschermsmodus|||||F

OBX|7|ST|739536^MDC_IDC_EPISODE_ID^MDC|2|LVAT-15|||||F

OBX|8|DTM|739552^MDC_IDC_EPISODE_DTM^MDC|2|200101020304|||||F

OBX|9|CWE|739568^MDC_IDC_EPISODE_TYPE^MDC|2|754888
 ^MDC_IDC_ENUM_EPISODE_TYPE_Epis_Other^MDC|||||F

OBX|10|CWE|739600^MDC_IDC_EPISODE_VENDOR_TYPE^MDC|2|||||F

OBX|11|NM|739712^MDC_IDC_EPISODE_DURATION^MDC|2|100|s|||||F

OBX|12|ST|739680^MDC_IDC_EPISODE_DETECTION_THERAPY_DETAILS^MDC|2|LV Auto|||||F

OBX|13|ST|739536^MDC_IDC_EPISODE_ID^MDC|3|RVAT-14|||||F

OBX|14|DTM|739552^MDC_IDC_EPISODE_DTM^MDC|3|200101020304|||||F

OBX|15|CWE|739568^MDC_IDC_EPISODE_TYPE^MDC|3|754888
 ^MDC_IDC_ENUM_EPISODE_TYPE_Epis_Other^MDC|||||F

OBX|16|CWE|739600^MDC_IDC_EPISODE_VENDOR_TYPE^MDC|3|||||F

OBX|17|NM|739712^MDC_IDC_EPISODE_DURATION^MDC|3|100|s|||||F

OBX|18|ST|739680^MDC_IDC_EPISODE_DETECTION_THERAPY_DETAILS^MDC|3|RV Auto|||||F

OBX|19|ST|739536^MDC_IDC_EPISODE_ID^MDC|4|APM-13|||||F

OBX|20|DTM|739552^MDC_IDC_EPISODE_DTM^MDC|4|200101020304|||||F

OBX|21|CWE|739568^MDC_IDC_EPISODE_TYPE^MDC|4|754886
 ^MDC_IDC_ENUM_EPISODE_TYPE_Epis_PeriodicEGM^MDC|||||F

OBX|22|CWE|739600^MDC_IDC_EPISODE_VENDOR_TYPE^MDC|4|771085
 ^MDC_IDC_ENUM_EPISODE_VENDOR_TYPE_BSX-Epis_APMRT^MDC|||||F

OBX|23|ST|739680^MDC_IDC_EPISODE_DETECTION_THERAPY_DETAILS

```
^MDC|4|EGM gepresenteerd|||||F
OBX|24|ST|739536^MDC_IDC_EPISODE_ID^MDC|5|PTM-12|||||F
OBX|25|DTM|739552^MDC_IDC_EPISODE_DTM^MDC|5|200101020304|||||F
OBX|26|CWE|739568^MDC_IDC_EPISODE_TYPE^MDC|5|754887
^MDC_IDC_ENUM_EPISODE_TYPE_Epis_PatientActivated^MDC|||||F
OBX|27|CWE|739600^MDC_IDC_EPISODE_VENDOR_TYPE^MDC|5|771080
^MDC_IDC_ENUM_EPISODE_VENDOR_TYPE_BSX-Epis_PTM^MDC|||||F
OBX|28|NM|739648^MDC_IDC_EPISODE_VENTRICULAR_INTERVAL_AT_DETECTION
^MDC|5|30000|ms|||||F
OBX|29|NM|739712^MDC_IDC_EPISODE_DURATION^MDC|5|100|s|||||F
OBX|30|ST|739680^MDC_IDC_EPISODE_DETECTION_THERAPY_DETAILS^MDC|5|PTM|||||F
OBX|31|ST|739536^MDC_IDC_EPISODE_ID^MDC|6|RAAT-11|||||F
OBX|32|DTM|739552^MDC_IDC_EPISODE_DTM^MDC|6|200101020304|||||F
OBX|33|CWE|739568^MDC_IDC_EPISODE_TYPE^MDC|6|754888
^MDC_IDC_ENUM_EPISODE_TYPE_Epis_Other^MDC|||||F
OBX|34|CWE|739600^MDC_IDC_EPISODE_VENDOR_TYPE^MDC|6|||||F
OBX|35|NM|739712^MDC_IDC_EPISODE_DURATION^MDC|6|100|s|||||F
OBX|36|ST|739680^MDC_IDC_EPISODE_DETECTION_THERAPY_DETAILS^MDC|6|RA Auto|||||F
OBX|37|ST|739536^MDC_IDC_EPISODE_ID^MDC|7|RYTHMIQ-10|||||F
OBX|38|DTM|739552^MDC_IDC_EPISODE_DTM^MDC|7|200101020304|||||F
OBX|39|CWE|739568^MDC_IDC_EPISODE_TYPE^MDC|7|754888
^MDC_IDC_ENUM_EPISODE_TYPE_Epis_Other^MDC|||||F
OBX|40|CWE|739600^MDC_IDC_EPISODE_VENDOR_TYPE^MDC|7|771084
^MDC_IDC_ENUM_EPISODE_VENDOR_TYPE_BSX-Epis_RMS^MDC|||||F
OBX|41|NM|739648
^MDC_IDC_EPISODE_VENTRICULAR_INTERVAL_AT_DETECTION^MDC|7|30000|ms|||||F
OBX|42|NM|739712^MDC_IDC_EPISODE_DURATION^MDC|7|100|s|||||F
OBX|43|ST|739680^MDC_IDC_EPISODE_DETECTION_THERAPY_DETAILS^MDC|7|RYTHMIQ|||||F
OBX|44|ST|739536^MDC_IDC_EPISODE_ID^MDC|8|RMS-9|||||F
OBX|45|DTM|739552^MDC_IDC_EPISODE_DTM^MDC|8|200101020304|||||F
OBX|46|CWE|739568^MDC_IDC_EPISODE_TYPE^MDC|8|754888
^MDC_IDC_ENUM_EPISODE_TYPE_Epis_Other^MDC|||||F
OBX|47|CWE|739600^MDC_IDC_EPISODE_VENDOR_TYPE^MDC|8|771084
^MDC_IDC_ENUM_EPISODE_VENDOR_TYPE_BSX-Epis_RMS^MDC|||||F
OBX|48|NM|739648
^MDC_IDC_EPISODE_VENTRICULAR_INTERVAL_AT_DETECTION^MDC|8|30000|ms|||||F
OBX|49|NM|739712^MDC_IDC_EPISODE_DURATION^MDC|8|100|s|||||F
OBX|50|ST|739680^MDC_IDC_EPISODE_DETECTION_THERAPY_DETAILS^MDC|8|RMS|||||F
OBX|51|ST|739536^MDC_IDC_EPISODE_ID^MDC|9|V-8|||||F
OBX|52|DTM|739552^MDC_IDC_EPISODE_DTM^MDC|9|200101020304|||||F
OBX|53|CWE|739568^MDC_IDC_EPISODE_TYPE^MDC|9|754881
^MDC_IDC_ENUM_EPISODE_TYPE_Epis_VF^MDC|||||F
OBX|54|CWE|739600^MDC_IDC_EPISODE_VENDOR_TYPE^MDC|9|771073
^MDC_IDC_ENUM_EPISODE_VENDOR_TYPE_BSX-Epis_VF^MDC|||||F
OBX|55|CWE|739584^MDC_IDC_EPISODE_TYPE_INDUCED^MDC|9|755329
^MDC_IDC_ENUM_EPISODE_TYPE_INDUCED_YES^MDC|||||F
OBX|56|NM|739648
^MDC_IDC_EPISODE_VENTRICULAR_INTERVAL_AT_DETECTION^MDC|9|30000|ms|||||F
OBX|57|NM|739712^MDC_IDC_EPISODE_DURATION^MDC|9|100|s|||||F
OBX|58|ST|739680
^MDC_IDC_EPISODE_DETECTION_THERAPY_DETAILS^MDC|9|VF ATPx1, 0,1J, 0,2J, 31Jx2|||||F
OBX|59|ST|739536^MDC_IDC_EPISODE_ID^MDC|10|PMT-7|||||F
OBX|60|DTM|739552^MDC_IDC_EPISODE_DTM^MDC|10|200101020304|||||F
OBX|61|CWE|739568^MDC_IDC_EPISODE_TYPE^MDC|10|754888
^MDC_IDC_ENUM_EPISODE_TYPE_Epis_Other^MDC|||||F
OBX|62|CWE|739600^MDC_IDC_EPISODE_VENDOR_TYPE^MDC|10|771079
^MDC_IDC_ENUM_EPISODE_VENDOR_TYPE_BSX-Epis_PMT^MDC|||||F
OBX|63|NM|739648^MDC_IDC_EPISODE_VENTRICULAR_INTERVAL_AT_DETECTION
^MDC|10|30000|ms|||||F
```

OBX|64|NM|739712^MDC_IDC_EPISODE_DURATION^MDC|10|100|s|F
OBX|65|ST|739680^MDC_IDC_EPISODE_DETECTION_THERAPY_DETAILS^MDC|10|PMT|F
OBX|66|ST|739536^MDC_IDC_EPISODE_ID^MDC|11|V-6|F
OBX|67|DTM|739552^MDC_IDC_EPISODE_DTM^MDC|11|200101020304|F
OBX|68|CWE|739568^MDC_IDC_EPISODE_TYPE^MDC|11|754882
^MDC_IDC_ENUM_EPISODE_TYPE_Epis_VT^MDC|F
OBX|69|CWE|739600^MDC_IDC_EPISODE_VENDOR_TYPE^MDC|11|771075
^MDC_IDC_ENUM_EPISODE_VENDOR_TYPE_BSX-Epis_VT-1^MDC|F
OBX|70|CWE|739584^MDC_IDC_EPISODE_TYPE_INDUCED^MDC|11|755329
^MDC_IDC_ENUM_EPISODE_TYPE_INDUCED_YES^MDC|F
OBX|71|NM|739648^MDC_IDC_EPISODE_VENTRICULAR_INTERVAL_AT_DETECTION
^MDC|11|30000|ms|F
OBX|72|NM|739712^MDC_IDC_EPISODE_DURATION^MDC|11|100|s|F
OBX|73|ST|739680^MDC_IDC_EPISODE_DETECTION_THERAPY_DETAILS
^MDC|11|VT-1 ATPx1, 0,1J, 0,2J, 31Jx2|F
OBX|74|ST|739536^MDC_IDC_EPISODE_ID^MDC|12|ATR-5|F
OBX|75|DTM|739552^MDC_IDC_EPISODE_DTM^MDC|12|200101020304|F
OBX|76|CWE|739568^MDC_IDC_EPISODE_TYPE^MDC|12|754883
^MDC_IDC_ENUM_EPISODE_TYPE_Epis_ATAF^MDC|F
OBX|77|CWE|739600^MDC_IDC_EPISODE_VENDOR_TYPE^MDC|12|771078
^MDC_IDC_ENUM_EPISODE_VENDOR_TYPE_BSX-Epis_ATR^MDC|F
OBX|78|NM|739616^MDC_IDC_EPISODE_ATRIAL_INTERVAL_AT_DETECTION^MDC|12|20000|ms|F
OBX|79|NM|739712^MDC_IDC_EPISODE_DURATION^MDC|12|100|s|F
OBX|80|ST|739680^MDC_IDC_EPISODE_DETECTION_THERAPY_DETAILS^MDC|12|ATR|F
OBX|81|ST|739536^MDC_IDC_EPISODE_ID^MDC|13|V-4|F
OBX|82|DTM|739552^MDC_IDC_EPISODE_DTM^MDC|13|200101020304|F
OBX|83|CWE|739568^MDC_IDC_EPISODE_TYPE^MDC|13|754882
^MDC_IDC_ENUM_EPISODE_TYPE_Epis_VT^MDC|F
OBX|84|CWE|739600^MDC_IDC_EPISODE_VENDOR_TYPE^MDC|13|771077
^MDC_IDC_ENUM_EPISODE_VENDOR_TYPE_BSX-Epis_NSVT^MDC|F
OBX|85|CWE|739584^MDC_IDC_EPISODE_TYPE_INDUCED^MDC|13|755329
^MDC_IDC_ENUM_EPISODE_TYPE_INDUCED_YES^MDC|F
OBX|86|NM|739648^MDC_IDC_EPISODE_VENTRICULAR_INTERVAL_AT_DETECTION
^MDC|13|30000|ms|F
OBX|87|NM|739712^MDC_IDC_EPISODE_DURATION^MDC|13|100|s|F
OBX|88|ST|739680^MDC_IDC_EPISODE_DETECTION_THERAPY_DETAILS^MDC|13|NietAanhV|F
OBX|89|ST|739536^MDC_IDC_EPISODE_ID^MDC|14|V-3|F
OBX|90|DTM|739552^MDC_IDC_EPISODE_DTM^MDC|14|200101020304|F
OBX|91|CWE|739568^MDC_IDC_EPISODE_TYPE^MDC|14|754882
^MDC_IDC_ENUM_EPISODE_TYPE_Epis_VT^MDC|F
OBX|92|CWE|739600^MDC_IDC_EPISODE_VENDOR_TYPE^MDC|14|771074
^MDC_IDC_ENUM_EPISODE_VENDOR_TYPE_BSX-Epis_VT^MDC|F
OBX|93|CWE|739584^MDC_IDC_EPISODE_TYPE_INDUCED^MDC|14|755329
^MDC_IDC_ENUM_EPISODE_TYPE_INDUCED_YES^MDC|F
OBX|94|NM|739648^MDC_IDC_EPISODE_VENTRICULAR_INTERVAL_AT_DETECTION
^MDC|14|30000|ms|F
OBX|95|NM|739712^MDC_IDC_EPISODE_DURATION^MDC|14|100|s|F
OBX|96|ST|739680^MDC_IDC_EPISODE_DETECTION_THERAPY_DETAILS
^MDC|14|VT ATPx1, 0,1J, 0,2J, 31Jx2|F
OBX|97|ST|739536^MDC_IDC_EPISODE_ID^MDC|15|PBR-2|F
OBX|98|DTM|739552^MDC_IDC_EPISODE_DTM^MDC|15|200101020304|F
OBX|99|CWE|739568^MDC_IDC_EPISODE_TYPE^MDC|15|754888
^MDC_IDC_ENUM_EPISODE_TYPE_Epis_Other^MDC|F
OBX|100|CWE|739600^MDC_IDC_EPISODE_VENDOR_TYPE^MDC|15|F
OBX|101|NM|739616^MDC_IDC_EPISODE_ATRIAL_INTERVAL_AT_DETECTION
^MDC|15|20000|ms|F
OBX|102|NM|739712^MDC_IDC_EPISODE_DURATION^MDC|15|100|s|F
OBX|103|ST|739680^MDC_IDC_EPISODE_DETECTION_THERAPY_DETAILS^MDC|15|PBR|F
OBX|104|ST|739536^MDC_IDC_EPISODE_ID^MDC|16|V-1|F

OBX|105|DTM|739552^MDC_IDC_EPISODE_DTM^MDC|16|200101020304|||||F
OBX|106|CWE|739568^MDC_IDC_EPISODE_TYPE^MDC|16|754888
^MDC_IDC_ENUM_EPISODE_TYPE_Epis_Other^MDC|||||F
OBX|107|CWE|739600^MDC_IDC_EPISODE_VENDOR_TYPE^MDC|16|||||F
OBX|108|CWE|739584^MDC_IDC_EPISODE_TYPE_INDUCED^MDC|16|755329
^MDC_IDC_ENUM_EPISODE_TYPE_INDUCED_YES^MDC|||||F
OBX|109|NM|739648^MDC_IDC_EPISODE_VENTRICULAR_INTERVAL_AT_DETECTION
^MDC|16|30000|ms|||||F
OBX|110|NM|739712^MDC_IDC_EPISODE_DURATION^MDC|16|100|s|||||F
OBX|111|ST|739680^MDC_IDC_EPISODE_DETECTION_THERAPY_DETAILS
^MDC|16|Cmnd V Therapie afgegeven|||||F
OBX|112|ED|18750-0^Cardiac Electrophysiology Report^LN||Application^PDF^
^Base64^{encoded PDF included here}|||||F||201001151330-0500
OBX|113|ED|18750-0^Cardiac Electrophysiology Report^LN|4|Application^PDF^
^Base64^{encoded PDF included here}|||||F||201001151330-0500
OBX|114|CWE|720897^MDC_IDC_DEV_TYPE^MDC||753665^MDC_IDC_ENUM_DEV_TYPE_IPG^MDC|||||F
OBX|115|ST|720898^MDC_IDC_DEV_MODEL^MDC||N119|||||F
OBX|116|ST|720899^MDC_IDC_DEV_SERIAL^MDC||900141|||||F
OBX|117|CWE|720900^MDC_IDC_DEV_MFG^MDC||753732^MDC_IDC_ENUM_MFG_BSX^MDC|||||F
OBX|118|DTM|720901^MDC_IDC_DEV_IMPLANT_DT^MDC||20120513|||||F
OBX|119|ST|720961^MDC_IDC_LEAD_MODEL^MDC|1|12345|||||F
OBX|120|ST|720962^MDC_IDC_LEAD_SERIAL^MDC|1|6789|||||F
OBX|121|CWE|720963^MDC_IDC_LEAD_MFG^MDC|1|753731^MDC_IDC_ENUM_MFG_BIO^MDC|||||F
OBX|122|CWE|720965^MDC_IDC_LEAD_POLARITY_TYPE^MDC|1|753793
^MDC_IDC_ENUM_LEAD_POLARITY_TYPE_UNI^MDC|||||F
OBX|123|DTM|720964^MDC_IDC_LEAD_IMPLANT_DT^MDC|1|201205|||||F
OBX|124|CWE|720966^MDC_IDC_LEAD_LOCATION^MDC|1|753858
^MDC_IDC_ENUM_LEAD_LOCATION_CHAMBER_LV^MDC|||||F
OBX|125|CWE|720967^MDC_IDC_LEAD_LOCATION_DETAIL_1^MDC|1|753922
^MDC_IDC_ENUM_LEAD_LOCATION_DETAIL_Apex^MDC|||||F
OBX|126|CWE|720968^MDC_IDC_LEAD_LOCATION_DETAIL_2^MDC|1|753925
^MDC_IDC_ENUM_LEAD_LOCATION_DETAIL_VenaCava^MDC|||||F
OBX|127|ST|720961^MDC_IDC_LEAD_MODEL^MDC|2|12345|||||F
OBX|128|ST|720962^MDC_IDC_LEAD_SERIAL^MDC|2|6789|||||F
OBX|129|CWE|720963^MDC_IDC_LEAD_MFG^MDC|2|753731^MDC_IDC_ENUM_MFG_BIO^MDC|||||F
OBX|130|CWE|720965^MDC_IDC_LEAD_POLARITY_TYPE^MDC|2|753793
^MDC_IDC_ENUM_LEAD_POLARITY_TYPE_UNI^MDC|||||F
OBX|131|DTM|720964^MDC_IDC_LEAD_IMPLANT_DT^MDC|2|201205|||||F
OBX|132|CWE|720966^MDC_IDC_LEAD_LOCATION^MDC|2|753858
^MDC_IDC_ENUM_LEAD_LOCATION_CHAMBER_LV^MDC|||||F
OBX|133|CWE|720967^MDC_IDC_LEAD_LOCATION_DETAIL_1^MDC|2|753922
^MDC_IDC_ENUM_LEAD_LOCATION_DETAIL_Apex^MDC|||||F
OBX|134|CWE|720968^MDC_IDC_LEAD_LOCATION_DETAIL_2^MDC|2|753925
^MDC_IDC_ENUM_LEAD_LOCATION_DETAIL_VenaCava^MDC|||||F
OBX|135|ST|720961^MDC_IDC_LEAD_MODEL^MDC|3|12345|||||F
OBX|136|ST|720962^MDC_IDC_LEAD_SERIAL^MDC|3|6789|||||F
OBX|137|CWE|720963^MDC_IDC_LEAD_MFG^MDC|3|753731^MDC_IDC_ENUM_MFG_BIO^MDC|||||F
OBX|138|CWE|720965^MDC_IDC_LEAD_POLARITY_TYPE^MDC|3|753793
^MDC_IDC_ENUM_LEAD_POLARITY_TYPE_UNI^MDC|||||F
OBX|139|DTM|720964^MDC_IDC_LEAD_IMPLANT_DT^MDC|3|201205|||||F
OBX|140|CWE|720966^MDC_IDC_LEAD_LOCATION^MDC|3|753858
^MDC_IDC_ENUM_LEAD_LOCATION_CHAMBER_LV^MDC|||||F
OBX|141|CWE|720967^MDC_IDC_LEAD_LOCATION_DETAIL_1^MDC|3|753922
^MDC_IDC_ENUM_LEAD_LOCATION_DETAIL_Apex^MDC|||||F
OBX|142|CWE|720968^MDC_IDC_LEAD_LOCATION_DETAIL_2^MDC|3|753925
^MDC_IDC_ENUM_LEAD_LOCATION_DETAIL_VenaCava^MDC|||||F
OBX|143|ST|720961^MDC_IDC_LEAD_MODEL^MDC|4|12345|||||F
OBX|144|ST|720962^MDC_IDC_LEAD_SERIAL^MDC|4|6789|||||F
OBX|145|CWE|720963^MDC_IDC_LEAD_MFG^MDC|4|753731^MDC_IDC_ENUM_MFG_BIO^MDC|||||F

OBX|146|CWE|720965^MDC_IDC_LEAD_POLARITY_TYPE^MDC|4|753793
^MDC_IDC_ENUM_LEAD_POLARITY_TYPE_UNI^MDC|||||F
OBX|147|DTM|720964^MDC_IDC_LEAD_IMPLANT_DT^MDC|4|201205|||||F
OBX|148|CWE|720966^MDC_IDC_LEAD_LOCATION^MDC|4|753858
^MDC_IDC_ENUM_LEAD_LOCATION_CHAMBER_LV^MDC|||||F
OBX|149|CWE|720967^MDC_IDC_LEAD_LOCATION_DETAIL_1^MDC|4|753922
^MDC_IDC_ENUM_LEAD_LOCATION_DETAIL_Apex^MDC|||||F
OBX|150|CWE|720968^MDC_IDC_LEAD_LOCATION_DETAIL_2^MDC|4|753925
^MDC_IDC_ENUM_LEAD_LOCATION_DETAIL_VenaCava^MDC|||||F
OBX|151|ST|720961^MDC_IDC_LEAD_MODEL^MDC|5|12345|||||F
OBX|152|ST|720962^MDC_IDC_LEAD_SERIAL^MDC|5|6789|||||F
OBX|153|CWE|720963^MDC_IDC_LEAD_MFG^MDC|5|753731^MDC_IDC_ENUM_MFG_BIO^MDC|||||F
OBX|154|CWE|720965^MDC_IDC_LEAD_POLARITY_TYPE^MDC|5|753793
^MDC_IDC_ENUM_LEAD_POLARITY_TYPE_UNI^MDC|||||F
OBX|155|DTM|720964^MDC_IDC_LEAD_IMPLANT_DT^MDC|5|201205|||||F
OBX|156|CWE|720966^MDC_IDC_LEAD_LOCATION^MDC|5|753858
^MDC_IDC_ENUM_LEAD_LOCATION_CHAMBER_LV^MDC|||||F
OBX|157|CWE|720967^MDC_IDC_LEAD_LOCATION_DETAIL_1^MDC|5|753922
^MDC_IDC_ENUM_LEAD_LOCATION_DETAIL_Apex^MDC|||||F
OBX|158|CWE|720968^MDC_IDC_LEAD_LOCATION_DETAIL_2^MDC|5|753925
^MDC_IDC_ENUM_LEAD_LOCATION_DETAIL_VenaCava^MDC|||||F
OBX|159|ST|720961^MDC_IDC_LEAD_MODEL^MDC|6|12345|||||F
OBX|160|ST|720962^MDC_IDC_LEAD_SERIAL^MDC|6|6789|||||F
OBX|161|CWE|720963^MDC_IDC_LEAD_MFG^MDC|6|753731^MDC_IDC_ENUM_MFG_BIO^MDC|||||F
OBX|162|CWE|720965^MDC_IDC_LEAD_POLARITY_TYPE^MDC|6|753793
^MDC_IDC_ENUM_LEAD_POLARITY_TYPE_UNI^MDC|||||F
OBX|163|DTM|720964^MDC_IDC_LEAD_IMPLANT_DT^MDC|6|201205|||||F
OBX|164|CWE|720966^MDC_IDC_LEAD_LOCATION^MDC|6|753858
^MDC_IDC_ENUM_LEAD_LOCATION_CHAMBER_LV^MDC|||||F
OBX|165|CWE|720967^MDC_IDC_LEAD_LOCATION_DETAIL_1^MDC|6|753922
^MDC_IDC_ENUM_LEAD_LOCATION_DETAIL_Apex^MDC|||||F
OBX|166|CWE|720968^MDC_IDC_LEAD_LOCATION_DETAIL_2^MDC|6|753925
^MDC_IDC_ENUM_LEAD_LOCATION_DETAIL_VenaCava^MDC|||||F
OBX|167|DTM|721025^MDC_IDC_SESS_DTM^MDC||201001021310-0600|||||F
OBX|168|CWE|721026^MDC_IDC_SESS_TYPE^MDC||754052
^MDC_IDC_ENUM_SESS_TYPE_RemoteDeviceInitiated^MDC|||||F
OBX|169|ST|721033^MDC_IDC_SESS_CLINIC_NAME
^MDC|abcdefghijklmnopqrstuvwxyzabcdefghijklmnopqrstuvw|||F
OBX|170|DTM|721216^MDC_IDC_MSMT_BATTERY_DTM^MDC||201205221755+0000|||||F
OBX|171|CWE|721280^MDC_IDC_MSMT_BATTERY_STATUS^MDC||754113
^MDC_IDC_ENUM_BATTERY_STATUS_BOS^MDC|||||F
OBX|172|NM|721472^MDC_IDC_MSMT_BATTERY_REMAINING_LONGEVITY^MDC||132|mo||>||||F
OBX|173|NM|721536^MDC_IDC_MSMT_BATTERY_REMAINING_PERCENTAGE^MDC||100|%|||||F
OBX|174|DTM|721664^MDC_IDC_MSMT_CAP_CHARGE_DTM^MDC||201205221755|||||F
OBX|175|NM|721728^MDC_IDC_MSMT_CAP_CHARGE_TIME^MDC||3.0|s|||||F
OBX|176|CWE|721856^MDC_IDC_MSMT_CAP_CHARGE_TYPE^MDC||754178
^MDC_IDC_ENUM_CHARGE_TYPE_Reformation^MDC|||||F
OBX|177|DTM|721921^MDC_IDC_MSMT_LEADCHNL_RA_DTM_START^MDC||20121211|||||F
OBX|178|DTM|721922^MDC_IDC_MSMT_LEADCHNL_RA_DTM_END^MDC||20121211|||||F
OBX|179|CWE|721984^MDC_IDC_MSMT_LEADCHNL_RA_LEAD_CHANNEL_STATUS^MDC||754241
^MDC_IDC_ENUM_CHANNEL_STATUS_CheckLead^MDC|||||F
OBX|180|NM|722051
^MDC_IDC_MSMT_LEADCHNL_RA_SENSING_INTR_AMPL_MEAN^MDC||mV||NAV|||F||20121211
OBX|181|DTM|721925^MDC_IDC_MSMT_LEADCHNL_RV_DTM_START^MDC||19990102|||||F
OBX|182|DTM|721926^MDC_IDC_MSMT_LEADCHNL_RV_DTM_END^MDC||20121211|||||F
OBX|183|CWE|721985^MDC_IDC_MSMT_LEADCHNL_RV_LEAD_CHANNEL_STATUS^MDC||754241
^MDC_IDC_ENUM_CHANNEL_STATUS_CheckLead^MDC|||||F
OBX|184|NM|722055
^MDC_IDC_MSMT_LEADCHNL_RV_SENSING_INTR_AMPL_MEAN^MDC||0.1|mV||<|||F||20121211

```

OBX|185|DTM|721933^MDC_IDC_MSMT_LEADCHNL_LV_DTM_START^MDC||19990102|||||F
OBX|186|DTM|721934^MDC_IDC_MSMT_LEADCHNL_LV_DTM_END^MDC||20121211|||||F
OBX|187|CWE|721987^MDC_IDC_MSMT_LEADCHNL_LV_LEAD_CHANNEL_STATUS^MDC||754241
^MDC_IDC_ENUM_CHANNEL_STATUS_CheckLead^MDC|||||F
OBX|188|NM|722063^MDC_IDC_MSMT_LEADCHNL_LV_SENSING_INTR_AMPL_MEAN
^MDC||25.0|mV||>|||F|||20121211
OBX|189|CWE|722112^MDC_IDC_MSMT_LEADCHNL_RA_SENSING_POLARITY^MDC||754305
^MDC_IDC_ENUM_POLARITY_UNI^MDC|||||F
OBX|190|CWE|722113^MDC_IDC_MSMT_LEADCHNL_RV_SENSING_POLARITY^MDC||754306
^MDC_IDC_ENUM_POLARITY_BI^MDC|||||F
OBX|191|CWE|722115^MDC_IDC_MSMT_LEADCHNL_LV_SENSING_POLARITY^MDC|||||OFF|||F
OBX|192|NM|722176^MDC_IDC_MSMT_LEADCHNL_RA_PACING_THRESHOLD_AMPLITUDE
^MDC|||V||NAV|||F|||20121211
OBX|193|NM|722177^MDC_IDC_MSMT_LEADCHNL_RV_PACING_THRESHOLD_AMPLITUDE
^MDC||3.0|V||>|||F|||20121211
OBX|194|NM|722179^MDC_IDC_MSMT_LEADCHNL_LV_PACING_THRESHOLD_AMPLITUDE
^MDC||0.0|V|||F|||20121210
OBX|195|NM|722240^MDC_IDC_MSMT_LEADCHNL_RA_PACING_THRESHOLD_PULSEWIDTH
^MDC||ms||NAV|||F|||19990102
OBX|196|NM|722241^MDC_IDC_MSMT_LEADCHNL_RV_PACING_THRESHOLD_PULSEWIDTH
^MDC||0.4|ms|||F|||19990102
OBX|197|NM|722243^MDC_IDC_MSMT_LEADCHNL_LV_PACING_THRESHOLD_PULSEWIDTH
^MDC||0.4|ms|||F|||19990102
OBX|198|CWE|722304^MDC_IDC_MSMT_LEADCHNL_RA_PACING_THRESHOLD_MEASUREMENT_METHOD
^MDC||754369^MDC_IDC_ENUM_MEASUREMENT_METHOD_ProgrammerManual^MDC|||||F
OBX|199|CWE|722305^MDC_IDC_MSMT_LEADCHNL_RV_PACING_THRESHOLD_MEASUREMENT_METHOD
^MDC||754369^MDC_IDC_ENUM_MEASUREMENT_METHOD_ProgrammerManual^MDC|||||F
OBX|200|CWE|722307^MDC_IDC_MSMT_LEADCHNL_LV_PACING_THRESHOLD_MEASUREMENT_METHOD
^MDC||754369^MDC_IDC_ENUM_MEASUREMENT_METHOD_ProgrammerManual^MDC|||||F
OBX|201|CWE|722368^MDC_IDC_MSMT_LEADCHNL_RA_PACING_THRESHOLD_POLARITY^MDC||754305
^MDC_IDC_ENUM_POLARITY_UNI^MDC|||||F
OBX|202|CWE|722369^MDC_IDC_MSMT_LEADCHNL_RV_PACING_THRESHOLD_POLARITY^MDC||754306
^MDC_IDC_ENUM_POLARITY_BI^MDC|||||F
OBX|203|CWE|722371^MDC_IDC_MSMT_LEADCHNL_LV_PACING_THRESHOLD_POLARITY^MDC||754306
^MDC_IDC_ENUM_POLARITY_BI^MDC|||||F
OBX|204|NM|722432^MDC_IDC_MSMT_LEADCHNL_RA_IMPEDANCE_VALUE
^MDC||200|ohms||<|||F|||20121211
OBX|205|NM|722433^MDC_IDC_MSMT_LEADCHNL_RV_IMPEDANCE_VALUE
^MDC||2000|ohms||>|||F|||20121211
OBX|206|NM|722435^MDC_IDC_MSMT_LEADCHNL_LV_IMPEDANCE_VALUE
^MDC||201|ohms|||F|||20121209
OBX|207|CWE|722496^MDC_IDC_MSMT_LEADCHNL_RA_IMPEDANCE_POLARITY^MDC||754305
^MDC_IDC_ENUM_POLARITY_UNI^MDC|||||F
OBX|208|CWE|722497^MDC_IDC_MSMT_LEADCHNL_RV_IMPEDANCE_POLARITY^MDC||754305
^MDC_IDC_ENUM_POLARITY_UNI^MDC|||||F
OBX|209|CWE|722499^MDC_IDC_MSMT_LEADCHNL_LV_IMPEDANCE_POLARITY^MDC||754306
^MDC_IDC_ENUM_POLARITY_BI^MDC|||||F
OBX|210|DTM|722560^MDC_IDC_MSMT_LEADHVCHNL_DTM_START^MDC||1|20121109|||||F
OBX|211|NM|722624^MDC_IDC_MSMT_LEADHVCHNL_IMPEDANCE^MDC||1|ohms||NAV|||F
OBX|212|CWE|722688^MDC_IDC_MSMT_LEADHVCHNL_MEASUREMENT_TYPE^MDC||1|754433
^MDC_IDC_ENUM_HVCHNL_MEASUREMENT_TYPE_LowVoltage^MDC|||||F
OBX|213|CWE|722752^MDC_IDC_MSMT_LEADHVCHNL_STATUS^MDC||1|754241
^MDC_IDC_ENUM_CHANNEL_STATUS_CheckLead^MDC|||||F
OBX|214|NM|729344^MDC_IDC_SET_CRT_LVRV_DELAY^MDC||-100|ms|||F
OBX|215|CWE|729408^MDC_IDC_SET_CRT_PACED_CHAMBERS^MDC||755265
^MDC_IDC_ENUM_CRT_PACED_CHAMBERS_RV_Only^MDC|||||F
OBX|216|NM|729536^MDC_IDC_SET_LEADCHNL_RA_SENSING_SENSITIVITY^MDC||0.5|mV|||F
OBX|217|NM|729537^MDC_IDC_SET_LEADCHNL_RV_SENSING_SENSITIVITY^MDC||0.9|mV|||F
OBX|218|NM|729539^MDC_IDC_SET_LEADCHNL_LV_SENSING_SENSITIVITY^MDC||1.0|mV|||F

```

OBX|219|CWE|729600^MDC_IDC_SET_LEADCHNL_RA_SENSING_POLARITY^MDC||||OFF|||F
 OBX|220|CWE|729601^MDC_IDC_SET_LEADCHNL_RV_SENSING_POLARITY^MDC||754305
 ^MDC_IDC_ENUM_POLARITY_UNI^MDC|||||F
 OBX|221|CWE|729676^MDC_IDC_SET_LEADCHNL_LV_SENSING_ANODE_LOCATION^MDC||754498
 ^MDC_IDC_ENUM_ELECTRODE_LOCATION_RV^MDC|||||F
 OBX|222|CWE|729740^MDC_IDC_SET_LEADCHNL_LV_SENSING_ANODE_ELECTRODE^MDC||||OFF|||F
 OBX|223|CWE|729804^MDC_IDC_SET_LEADCHNL_LV_SENSING_CATHODE_LOCATION^MDC||||OFF|||F
 OBX|224|CWE|729868^MDC_IDC_SET_LEADCHNL_LV_SENSING_CATHODE_ELECTRODE^MDC||754561
 ^MDC_IDC_ENUM_ELECTRODE_NAME_Tip^MDC|||||F
 OBX|225|CWE|729920^MDC_IDC_SET_LEADCHNL_RA_SENSING_ADAPTATION_MODE^MDC||754625
 ^MDC_IDC_ENUM_SENSING_ADAPTATION_MODE_AdaptiveSensing^MDC|||||F
 OBX|226|CWE|729921^MDC_IDC_SET_LEADCHNL_RV_SENSING_ADAPTATION_MODE^MDC||754625
 ^MDC_IDC_ENUM_SENSING_ADAPTATION_MODE_AdaptiveSensing^MDC|||||F
 OBX|227|CWE|729923^MDC_IDC_SET_LEADCHNL_LV_SENSING_ADAPTATION_MODE^MDC||754626
 ^MDC_IDC_ENUM_SENSING_ADAPTATION_MODE_FixedSensing^MDC|||||F
 OBX|228|NM|729984^MDC_IDC_SET_LEADCHNL_RA_PACING_AMPLITUDE^MDC||5.1|V|||||F
 OBX|229|NM|729985^MDC_IDC_SET_LEADCHNL_RV_PACING_AMPLITUDE^MDC||5.0|V|||||F
 OBX|230|NM|729987^MDC_IDC_SET_LEADCHNL_LV_PACING_AMPLITUDE^MDC||2.8|V|||||F
 OBX|231|NM|730048^MDC_IDC_SET_LEADCHNL_RA_PACING_PULSEWIDTH^MDC||100.0|ms|||||F
 OBX|232|NM|730049^MDC_IDC_SET_LEADCHNL_RV_PACING_PULSEWIDTH^MDC||200.0|ms|||||F
 OBX|233|NM|730051^MDC_IDC_SET_LEADCHNL_LV_PACING_PULSEWIDTH^MDC||300.0|ms|||||F
 OBX|234|CWE|730112^MDC_IDC_SET_LEADCHNL_RA_PACING_POLARITY^MDC||754305
 ^MDC_IDC_ENUM_POLARITY_UNI^MDC|||||F
 OBX|235|CWE|730113^MDC_IDC_SET_LEADCHNL_RV_PACING_POLARITY^MDC||754305
 ^MDC_IDC_ENUM_POLARITY_UNI^MDC|||||F
 OBX|236|CWE|730188^MDC_IDC_SET_LEADCHNL_LV_PACING_ANODE_LOCATION^MDC||754498
 ^MDC_IDC_ENUM_ELECTRODE_LOCATION_RV^MDC|||||F
 OBX|237|CWE|730252^MDC_IDC_SET_LEADCHNL_LV_PACING_ANODE_ELECTRODE^MDC||754564
 ^MDC_IDC_ENUM_ELECTRODE_NAME_Ring2^MDC|||||F
 OBX|238|CWE|730316^MDC_IDC_SET_LEADCHNL_LV_PACING_CATHODE_LOCATION^MDC||754500
 ^MDC_IDC_ENUM_ELECTRODE_LOCATION_LV^MDC|||||F
 OBX|239|CWE|730380^MDC_IDC_SET_LEADCHNL_LV_PACING_CATHODE_ELECTRODE^MDC||754566
 ^MDC_IDC_ENUM_ELECTRODE_NAME_Ring4^MDC|||||F
 OBX|240|CWE|730432^MDC_IDC_SET_LEADCHNL_RA_PACING_CAPTURE_MODE^MDC||754690
 ^MDC_IDC_ENUM_PACING_CAPTURE_MODE_FixedPacing^MDC|||||F
 OBX|241|CWE|730433^MDC_IDC_SET_LEADCHNL_RV_PACING_CAPTURE_MODE^MDC||754691
 ^MDC_IDC_ENUM_PACING_CAPTURE_MODE_MonitorCapture^MDC|||||F
 OBX|242|CWE|730435^MDC_IDC_SET_LEADCHNL_LV_PACING_CAPTURE_MODE^MDC||754690
 ^MDC_IDC_ENUM_PACING_CAPTURE_MODE_FixedPacing^MDC|||||F
 OBX|243|CWE|730752^MDC_IDC_SET_BRADY_MODE^MDC||754760^MDC_IDC_ENUM_BRADY_MODE_DDD
 ^MDC|||||F
 OBX|244|NM|730880^MDC_IDC_SET_BRADY_LOWRATE^MDC||100|{beats}/min|||||F
 OBX|245|ST|731072^MDC_IDC_SET_BRADY_SENSOR_TYPE^MDC||Accelerometer + MV|||||F
 OBX|246|NM|731136^MDC_IDC_SET_BRADY_MAX_TRACKING_RATE^MDC||130|{beats}/min|||||F
 OBX|247|NM|731200^MDC_IDC_SET_BRADY_MAX_SENSOR_RATE^MDC||180|{beats}/min|||||F
 OBX|248|NM|731265^MDC_IDC_SET_BRADY_SAV_DELAY_HIGH^MDC||102|ms|||||F
 OBX|249|NM|731266^MDC_IDC_SET_BRADY_SAV_DELAY_LOW^MDC||101|ms|||||F
 OBX|250|NM|731329^MDC_IDC_SET_BRADY_PAV_DELAY_HIGH^MDC||104|ms|||||F
 OBX|251|NM|731330^MDC_IDC_SET_BRADY_PAV_DELAY_LOW^MDC||103|ms|||||F
 OBX|252|CWE|731392^MDC_IDC_SET_BRADY_AT_MODE_SWITCH_MODE^MDC||754763
 ^MDC_IDC_ENUM_BRADY_MODE_DDIR^MDC|||||F
 OBX|253|NM|731456^MDC_IDC_SET_BRADY_AT_MODE_SWITCH_RATE^MDC||130|{beats}/min|||||F
 OBX|254|CWE|731520^MDC_IDC_SET_TACHYTHERAPY_VSTAT^MDC||754817
 ^MDC_IDC_ENUM_THERAPY_STATUS_On^MDC|||||F
 OBX|255|CWE|731648^MDC_IDC_SET_ZONE_TYPE^MDC|1|754945^MDC_IDC_ENUM_ZONE_TYPE_Zone_VF
 ^MDC|||||F
 OBX|256|CWE|731712^MDC_IDC_SET_ZONE_VENDOR_TYPE^MDC|1|771139
 ^MDC_IDC_ENUM_ZONE_VENDOR_TYPE_BSX-Zone_VF^MDC|||||F
 OBX|257|CWE|731776^MDC_IDC_SET_ZONE_STATUS^MDC|1|755009

```

^MDC_IDC_ENUM_ZONE_STATUS_Active^MDC|||||F
OBX|258|NM|731840^MDC_IDC_SET_ZONE_DETECTION_INTERVAL^MDC|1|462|ms|||||F
OBX|259|CWE|732097^MDC_IDC_SET_ZONE_TYPE_ATP_1^MDC|1|755073
^MDC_IDC_ENUM_ATP_TYPE_Burst^MDC|||||F
OBX|260|NM|732161^MDC_IDC_SET_ZONE_NUM_ATP_SEQS_1^MDC|1|1|||||F
OBX|261|NM|732225^MDC_IDC_SET_ZONE_SHOCK_ENERGY_1^MDC|1|21.1|J|||||F
OBX|262|NM|732289^MDC_IDC_SET_ZONE_NUM_SHOCKS_1^MDC|1|1|||||F
OBX|263|NM|732226^MDC_IDC_SET_ZONE_SHOCK_ENERGY_2^MDC|1|31.1|J|||||F
OBX|264|NM|732290^MDC_IDC_SET_ZONE_NUM_SHOCKS_2^MDC|1|1|||||F
OBX|265|NM|732227^MDC_IDC_SET_ZONE_SHOCK_ENERGY_3^MDC|1|41.1|J|||||F
OBX|266|NM|732291^MDC_IDC_SET_ZONE_NUM_SHOCKS_3^MDC|1|6|||||F
OBX|267|CWE|731648^MDC_IDC_SET_ZONE_TYPE^MDC|2|754946^MDC_IDC_ENUM_ZONE_TYPE_Zone_VT
^MDC|||||F
OBX|268|CWE|731712^MDC_IDC_SET_ZONE_VENDOR_TYPE^MDC|2|771137
^MDC_IDC_ENUM_ZONE_VENDOR_TYPE_BSX-Zone_VT^MDC|||||F
OBX|269|CWE|731776^MDC_IDC_SET_ZONE_STATUS^MDC|2|755009
^MDC_IDC_ENUM_ZONE_STATUS_Active^MDC|||||F
OBX|270|NM|731840^MDC_IDC_SET_ZONE_DETECTION_INTERVAL^MDC|2|463|ms|||||F
OBX|271|CWE|732097^MDC_IDC_SET_ZONE_TYPE_ATP_1^MDC|2|755073
^MDC_IDC_ENUM_ATP_TYPE_Burst^MDC|||||F
OBX|272|NM|732161^MDC_IDC_SET_ZONE_NUM_ATP_SEQS_1^MDC|2|2|||||F
OBX|273|CWE|732098^MDC_IDC_SET_ZONE_TYPE_ATP_2^MDC|2|755074
^MDC_IDC_ENUM_ATP_TYPE_Ramp^MDC|||||F
OBX|274|NM|732162^MDC_IDC_SET_ZONE_NUM_ATP_SEQS_2^MDC|2|3|||||F
OBX|275|NM|732225^MDC_IDC_SET_ZONE_SHOCK_ENERGY_1^MDC|2|22.2|J|||||F
OBX|276|NM|732289^MDC_IDC_SET_ZONE_NUM_SHOCKS_1^MDC|2|1|||||F
OBX|277|NM|732226^MDC_IDC_SET_ZONE_SHOCK_ENERGY_2^MDC|2|32.2|J|||||F
OBX|278|NM|732290^MDC_IDC_SET_ZONE_NUM_SHOCKS_2^MDC|2|1|||||F
OBX|279|NM|732227^MDC_IDC_SET_ZONE_SHOCK_ENERGY_3^MDC|2|42.2|J|||||F
OBX|280|NM|732291^MDC_IDC_SET_ZONE_NUM_SHOCKS_3^MDC|2|3|||||F
OBX|281|CWE|731648^MDC_IDC_SET_ZONE_TYPE^MDC|3|754946^MDC_IDC_ENUM_ZONE_TYPE_Zone_VT
^MDC|||||F
OBX|282|CWE|731712^MDC_IDC_SET_ZONE_VENDOR_TYPE^MDC|3|771138
^MDC_IDC_ENUM_ZONE_VENDOR_TYPE_BSX-Zone_VT^MDC|||||F
OBX|283|CWE|731776^MDC_IDC_SET_ZONE_STATUS^MDC|3|755009
^MDC_IDC_ENUM_ZONE_STATUS_Active^MDC|||||F
OBX|284|NM|731840^MDC_IDC_SET_ZONE_DETECTION_INTERVAL^MDC|3|465|ms|||||F
OBX|285|CWE|732097^MDC_IDC_SET_ZONE_TYPE_ATP_1^MDC|3|755074
^MDC_IDC_ENUM_ATP_TYPE_Ramp^MDC|||||F
OBX|286|NM|732161^MDC_IDC_SET_ZONE_NUM_ATP_SEQS_1^MDC|3|4|||||F
OBX|287|CWE|732098^MDC_IDC_SET_ZONE_TYPE_ATP_2^MDC|3|755076
^MDC_IDC_ENUM_ATP_TYPE_RampScan^MDC|||||F
OBX|288|NM|732162^MDC_IDC_SET_ZONE_NUM_ATP_SEQS_2^MDC|3|5|||||F
OBX|289|NM|732225^MDC_IDC_SET_ZONE_SHOCK_ENERGY_1^MDC|3|23.2|J|||||F
OBX|290|NM|732289^MDC_IDC_SET_ZONE_NUM_SHOCKS_1^MDC|3|1|||||F
OBX|291|NM|732226^MDC_IDC_SET_ZONE_SHOCK_ENERGY_2^MDC|3|33.2|J|||||F
OBX|292|NM|732290^MDC_IDC_SET_ZONE_NUM_SHOCKS_2^MDC|3|1|||||F
OBX|293|NM|732227^MDC_IDC_SET_ZONE_SHOCK_ENERGY_3^MDC|3|43.2|J|||||F
OBX|294|NM|732291^MDC_IDC_SET_ZONE_NUM_SHOCKS_3^MDC|3|2|||||F
OBX|295|DTM|737489^MDC_IDC_STAT_DTM_START^MDC||20120522|||||F
OBX|296|DTM|737490^MDC_IDC_STAT_DTM_END^MDC||20120522|||||F
OBX|297|DTM|737505^MDC_IDC_STAT_BRADY_DTM_START^MDC||20120522|||||F
OBX|298|DTM|737506^MDC_IDC_STAT_BRADY_DTM_END^MDC||20120522|||||F
OBX|299|NM|737520^MDC_IDC_STAT_BRADY_RA_PERCENT_PACED^MDC||0|%|||||F
OBX|300|NM|737536^MDC_IDC_STAT_BRADY_RV_PERCENT_PACED^MDC||0|%|||||F
OBX|301|DTM|737777^MDC_IDC_STAT_CRT_DTM_START^MDC||20120522|||||F
OBX|302|DTM|737778^MDC_IDC_STAT_CRT_DTM_END^MDC||20120522|||||F
OBX|303|NM|737792^MDC_IDC_STAT_CRT_LV_PERCENT_PACED^MDC||0|%|||||F
OBX|304|CWE|737952^MDC_IDC_STAT_EPISODE_TYPE^MDC|1|754882

```

^MDC_IDC_ENUM_EPISODE_TYPE_Epis_VT^MDC|||||F
OBX|305|CWE|737984^MDC_IDC_STAT_EPISODE_VENDOR_TYPE^MDC|1|771077
^MDC_IDC_ENUM_EPISODE_VENDOR_TYPE_BSX-Epis_NSVT^MDC|||||F
OBX|306|NM|738000^MDC_IDC_STAT_EPISODE_RECENT_COUNT^MDC|1|0|||||F
OBX|307|DTM|738017^MDC_IDC_STAT_EPISODE_RECENT_COUNT_DTM_START^MDC|1|20120522|||||F
OBX|308|DTM|738018^MDC_IDC_STAT_EPISODE_RECENT_COUNT_DTM_END^MDC|1|20120522|||||F
OBX|309|CWE|737952^MDC_IDC_STAT_EPISODE_TYPE^MDC|1|754882
^MDC_IDC_ENUM_EPISODE_TYPE_Epis_VT^MDC|||||F
OBX|310|CWE|737984^MDC_IDC_STAT_EPISODE_VENDOR_TYPE^MDC|1|||||F
OBX|311|NM|738000^MDC_IDC_STAT_EPISODE_RECENT_COUNT^MDC|1|0|||||F
OBX|312|DTM|738017^MDC_IDC_STAT_EPISODE_RECENT_COUNT_DTM_START^MDC|1|20120522|||||F
OBX|313|DTM|738018^MDC_IDC_STAT_EPISODE_RECENT_COUNT_DTM_END^MDC|1|20120522|||||F
OBX|314|CWE|737952^MDC_IDC_STAT_EPISODE_TYPE^MDC|2|754884
^MDC_IDC_ENUM_EPISODE_TYPE_Epis_SVT^MDC|||||F
OBX|315|CWE|737984^MDC_IDC_STAT_EPISODE_VENDOR_TYPE^MDC|2|771076
^MDC_IDC_ENUM_EPISODE_VENDOR_TYPE_BSX-Epis_SVT^MDC|||||F
OBX|316|NM|738000^MDC_IDC_STAT_EPISODE_RECENT_COUNT^MDC|2|0|||||F
OBX|317|DTM|738017^MDC_IDC_STAT_EPISODE_RECENT_COUNT_DTM_START^MDC|2|20120522|||||F
OBX|318|DTM|738018^MDC_IDC_STAT_EPISODE_RECENT_COUNT_DTM_END^MDC|2|20120522|||||F
OBX|319|CWE|737952^MDC_IDC_STAT_EPISODE_TYPE^MDC|4|754883
^MDC_IDC_ENUM_EPISODE_TYPE_Epis_ATAF^MDC|||||F
OBX|320|CWE|737984^MDC_IDC_STAT_EPISODE_VENDOR_TYPE^MDC|4|771078
^MDC_IDC_ENUM_EPISODE_VENDOR_TYPE_BSX-Epis_ATR^MDC|||||F
OBX|321|NM|738000^MDC_IDC_STAT_EPISODE_RECENT_COUNT^MDC|4|0|||||F
OBX|322|DTM|738017^MDC_IDC_STAT_EPISODE_RECENT_COUNT_DTM_START^MDC|4|20120522|||||F
OBX|323|DTM|738018^MDC_IDC_STAT_EPISODE_RECENT_COUNT_DTM_END^MDC|4|20120522|||||F
OBX|324|CWE|737952^MDC_IDC_STAT_EPISODE_TYPE^MDC|5|754888
^MDC_IDC_ENUM_EPISODE_TYPE_Epis_Other^MDC|||||F
OBX|325|CWE|737984^MDC_IDC_STAT_EPISODE_VENDOR_TYPE^MDC|5|||||F
OBX|326|NM|738000^MDC_IDC_STAT_EPISODE_RECENT_COUNT^MDC|5|0|||||F
OBX|327|DTM|738017^MDC_IDC_STAT_EPISODE_RECENT_COUNT_DTM_START^MDC|5|20120522|||||F
OBX|328|DTM|738018^MDC_IDC_STAT_EPISODE_RECENT_COUNT_DTM_END^MDC|5|20120522|||||F
OBX|329|CWE|737952^MDC_IDC_STAT_EPISODE_TYPE^MDC|6|754881
^MDC_IDC_ENUM_EPISODE_TYPE_Epis_VF^MDC|||||F
OBX|330|CWE|737984^MDC_IDC_STAT_EPISODE_VENDOR_TYPE^MDC|6|771073
^MDC_IDC_ENUM_EPISODE_VENDOR_TYPE_BSX-Epis_VF^MDC|||||F
OBX|331|NM|738000^MDC_IDC_STAT_EPISODE_RECENT_COUNT^MDC|6|1|||||F
OBX|332|DTM|738017^MDC_IDC_STAT_EPISODE_RECENT_COUNT_DTM_START^MDC|6|20120522|||||F
OBX|333|DTM|738018^MDC_IDC_STAT_EPISODE_RECENT_COUNT_DTM_END^MDC|6|20120522|||||F
OBX|334|CWE|737952^MDC_IDC_STAT_EPISODE_TYPE^MDC|7|754882
^MDC_IDC_ENUM_EPISODE_TYPE_Epis_VT^MDC|||||F
OBX|335|CWE|737984^MDC_IDC_STAT_EPISODE_VENDOR_TYPE^MDC|7|771074
^MDC_IDC_ENUM_EPISODE_VENDOR_TYPE_BSX-Epis_VT^MDC|||||F
OBX|336|NM|738000^MDC_IDC_STAT_EPISODE_RECENT_COUNT^MDC|7|2|||||F
OBX|337|DTM|738017^MDC_IDC_STAT_EPISODE_RECENT_COUNT_DTM_START^MDC|7|20120522|||||F
OBX|338|DTM|738018^MDC_IDC_STAT_EPISODE_RECENT_COUNT_DTM_END^MDC|7|20120522|||||F
OBX|339|CWE|737952^MDC_IDC_STAT_EPISODE_TYPE^MDC|8|754882
^MDC_IDC_ENUM_EPISODE_TYPE_Epis_VT^MDC|||||F
OBX|340|CWE|737984^MDC_IDC_STAT_EPISODE_VENDOR_TYPE^MDC|8|771075
^MDC_IDC_ENUM_EPISODE_VENDOR_TYPE_BSX-Epis_VT-1^MDC|||||F
OBX|341|NM|738000^MDC_IDC_STAT_EPISODE_RECENT_COUNT^MDC|8|3|||||F
OBX|342|DTM|738017^MDC_IDC_STAT_EPISODE_RECENT_COUNT_DTM_START^MDC|8|20120522|||||F
OBX|343|DTM|738018^MDC_IDC_STAT_EPISODE_RECENT_COUNT_DTM_END^MDC|8|20120522|||||F
OBX|344|CWE|737952^MDC_IDC_STAT_EPISODE_TYPE^MDC|9|754884
^MDC_IDC_ENUM_EPISODE_TYPE_Epis_Monitor^MDC|||||F
OBX|345|CWE|737984^MDC_IDC_STAT_EPISODE_VENDOR_TYPE^MDC|9|||||F
OBX|346|NM|738000^MDC_IDC_STAT_EPISODE_RECENT_COUNT^MDC|9|4|||||F
OBX|347|DTM|738017^MDC_IDC_STAT_EPISODE_RECENT_COUNT_DTM_START^MDC|9|20120522|||||F
OBX|348|DTM|738018^MDC_IDC_STAT_EPISODE_RECENT_COUNT_DTM_END^MDC|9|20120522|||||F

Outdated version. Do not use.
Version überholt. Nicht verwenden.
Version obsolète. Ne pas utiliser.
Versión obsoleta. No utilizar.
Versione obsoleta. Non utilizzare.
Verouderde versie. Niet gebruiken.
Föråldrad version. Använd ej.
Παλιά έκδοση. Μην την χρησιμοποιείτε.
Versão obsoleta. Não utilize.
Forældet version. Må ikke anvendes.
Zastaralá verze. Nepoužívat.
Utdatert versjon. Skal ikke brukes.
Zastaraná verzia. Nepoužívať.
Elavult verzió. Ne használja!
Wersja nieaktualna. Nie używać.

OVERZICHT

HOOFDSTUK 5

In dit hoofdstuk worden de volgende onderwerpen beschreven:

- “Overzicht HL7” op pagina 5-2

Outdated version. Do not use.
Version überholt. Nicht verwenden.
Version obsolète. Ne pas utiliser.
Versión obsoleta. No utilizar.
Versione obsoleta. Non utilizzate.
Verouderde versie. Niet gebruiken.
Föråldrad version. Använd ej.
Παλιά έκδοση. Μην την χρησιμοποιείτε.
Versão obsoleta. Não utilize.
Förældet version. Må ikke anvendes.
Zastaralá verze. Nepoužívat.
Utdatert versjon. Skal ikke brukes.
Zastaraná verzia. Nepoužívať.
Elavult verzió. Ne használja!
Wersja nieaktualna. Nie używać.

OVERZICHT HL7

Het Boston Scientific LATITUDE-systeem voor patiëntbewaking op afstand genereert ORU-berichten (Observation Result Unsolicited) met de HL7-standaard op basis van de specificaties en definities in dit document. Deze berichten worden gebruikt om patiëntgegevens over te brengen naar EMR-systemen (Electronic Medical Record).

Dit document is bedoeld voor klanten van Boston Scientific LATITUDE die gebruikmaken van een EMR-systeem om patiëntgegevens te volgen en te beheren.

OPMERKING: *Er wordt aangenomen dat de lezers van deze paragraaf bekend zijn met terminologie, specificatiesyntaxis, gegevenstypen, berichtstructuren en semantiek voor ORU-berichten met de HL7 2.x-standaard. Voor meer informatie over HL7-berichtgeving gaat u naar www.hl7.org.*

Outdated version. Do not use.
Version überholt. Nicht verwenden.
Version obsolete. Ne pas utiliser.
Versión obsoleta. No utilizar.
Versione obsoleta. Non utilizzate.
Verouderde versie. Niet gebruiken.
Föråldrad version. Använd ej.
Παλιά έκδοση. Μην χρησιμοποιείτε.
Versão obsoleta. Não utilize.
Forældet version. Må ikke anvendes.
Zastaralá verzia. Nepoužívať.
Utdatert versjon. Skal ikke brukes.
Zastaraná verzia. Nepoužívať.
Elavult verzió. Ne használja!
Wersja nieaktualna. Nie używać.

LATITUDE HL7-BERICHTENSPECIFICATIE

HOOFDSTUK 6

In dit hoofdstuk worden de volgende onderwerpen beschreven:

- “Latitude HL7-berichtenspecificatie” op pagina 6-2
- “MSH-segmentstructuur” op pagina 6-2
- “PID-segmentstructuur” op pagina 6-4
- “NTE-segmentstructuur” op pagina 6-5
- “PV1-segmentstructuur” op pagina 6-6
- “PV2-segmentstructuur” op pagina 6-7
- “OBR-segmentstructuur” op pagina 6-7
- “OBX-segmentstructuur” op pagina 6-9
- “ZUX-segmentstructuur” op pagina 6-10

Outdated version. Do not use.
Version überholt. Nicht verwenden.
Version obsolete. Ne pas utiliser.
Versión obsoleta. No utilizar.
Versione obsoleta. Non utilizzare.
Verouderde versie. Niet gebruiken.
Föråldrad version. Använd ej.
Παλιά έκδοση. Μην την χρησιμοποιείτε.
Versão obsoleta. Não utilize.
Forældet version. Må ikke anvendes.
Zastaralá verzia. Nepoužívať.
Utdatert versjon. Skal ikke brukes.
Zastaraná verzia. Nepoužívať.
Elavult verzió. Ne használja!
Wersja nieaktualna. Nie używać.

LATITUDE HL7-BERICHTENSPECIFICATIE

Het HL7-bestand voor LATITUDE is gebaseerd op HL7-standaard 2.3.1 voor ORU-berichten. In deze internationale standaard wordt een universeel model beschreven voor de interoperabiliteit van medische elektronische gegevens.

Basisconcepten van HL7-berichten voor LATITUDE: (ASCII-teken die in deze publicatie worden weergegeven als scheidingstekens zijn slechts voorbeelden en kunnen worden gewijzigd.)

1. Een LATITUDE-bericht bestaat uit segmenten
2. De eerste drie letters van een segment vormen de segmenttypecode
3. Een LATITUDE-bericht bestaat altijd uit deze segmenttypen: MSH; PID; NTE1; PV1; OBR1; OBX (veel); ZU1; ZU2
4. Segmenten zijn ASCII-tekenreeksen die bestaan uit meerdere gescheiden reeksen
5. Een reeks wordt gescheiden door het verticale streepje (|, bijvoorbeeld ASCII 0x7C) aan het einde
6. De numerieke posities van de reeksen binnen het segment worden gebruikt om de reeksen te vinden en ernaar te verwijzen
7. De segmenttypecode wordt niet meegeteld bij de nummering van de reeks
8. Met uitzondering van het segmenttype MSH is de eerste reeks altijd een getal. Dit getal en de drieletterige segment-id die er direct voor staat, worden gebruikt om het segment te identificeren. Voorbeelden zijn NTE.1, OBR.3 en OBX.75
9. Bepaalde reeksen kunnen subreeksen bevatten:
 - Items in een subreeks worden gescheiden door een dakje (^, bijvoorbeeld ASCII 0x5E)
 - Het aantal subreeksen en de maximale lengte van de subreeksen worden gedefinieerd in de reeksdefinitie
 - In lege subreeksen wordt een dakje gebruikt als plaatsaanduiding
 - De subreeks eindigt met een reeksscheidingsteken (|)
10. Berichtsegmenten eindigen met een LF- of CR-teken.

Patiëntgegevens in een LATITUDE-bericht worden in vier observatierapporten ingedeeld: Laatste opvraging, Implantaat, Laatste poliklinische leadtest en Leadinformatie. Een observatierapport bestaat uit één OBR-segment gevolgd door meerdere OBX-segmenten.

Het bericht bevat ook nuttige samengevatte follow-upgegevens, waaronder extra informatie uit het Quick Notes-rapport van LATITUDE.

Bekijk de afbeelding links voor meer informatie.

MSH-SEGMENTSTRUCTUUR

Het MSH-segment bevat informatie over de verzender en ontvanger van het bericht, het type bericht, een tijdstempel, enzovoort. Het is het eerste segment in elk ORU-bericht.

ELE- MENT- NAAM	SEQ	SUB SEQ	DT	LEN	GE- BRUIK	CARD	TBL #	ITEM #	VAST	VOOR- BEEL- DWAARDE
Veld- schei- dingste- ken	1		ST	1	R	[1..1]		00001	J	
Code- ringste- kens	2		ST	4	R	[1..1]		00002	J	^~\&
Ver- zend- toepas- sing	3		HD	180	R	[1..1]		00003	J	LATI- TUDE
Verzen- dende instel- ling	4		HD	180	R	[1..1]		00004	J	BOS- TON SCIEN- TIFIC
Ontvan- gende instel- ling	6		HD	180	RE	[0..1]		00006		Naam van kliniek
Datum/ tijd van bericht	7		TS	26	R	[1..1]		00007		20060- 51015 0057 +0000
Bericht- type	9		MSG	15	R	[1..1]		00009		
Bericht- code		1	Id	3	R	[1..1]	0076		J	ORU
Trigge- revent		2	Id	3	R	[1..1]	0003		J	R01
Bericht- contro- le-id	10		ST	20	R	[1..1]		00010		25001- 44
Verwer- kings-id	11		Id	1	R	[1..1]	0103	00011		P
Versie- id	12		Id	5	R	[1..1]	0104	00012	J	2.3.1
Type ont- van- gstbe- vesti- ging	15		Id	2	R	[1..1]	0155	00015	J	NE
Tekens- et	18		Id	6	R	[1..1]	0211	00692		8859/1 UNICO- DE Zie opmer- king a.
Hoofd- taal	19		CE	60	R	[0..1]		00693		Zie opmer- king b.
Taal-id		1	Id	2	R	[0..1]				NL

Naam van taal		2	ST	50	R	[0..1]				Nederlands
Codeersysteem		3	ST	6	R	[0..1]				ISO639

- a. De tekensetcode zal 8859/1 of UNICODE zijn, maar niet allebei. Boston Scientific behoudt zich het recht voor om de tekenset die wordt gebruikt in het HL7-bericht te wijzigen. Het systeem dat dit HL7-bericht ontvangt, moet MSH.18 controleren om de tekenset te identificeren die in dit HL7-bericht wordt gebruikt.
- b. Als de hoofdtaal leeg is, neem dan EN^English^ISO639 aan. Anders zal de taal van het bericht worden geïdentificeerd.

PID-SEGMENTSTRUCTUUR

Het PID-segment bevat patiëntgegevens zoals naam, id-codes, postcode, enzovoort. Deze informatie wordt gebruikt voor patiëntkoppeling.

ELEMENT-NAAM	SEQ	SUB SEQ	DT	LEN	GE-BRUIK	CARD	TBL #	ITEM #	VAST	VOOR-BEELD-WAARDE
Ingestelde id — PID	1		SI	1	R	[1..1]		00104	J	1
Patiënt-id	2		CX	20	R	[1..1]		00105		
Id		1	ST	20	R	[1..1]				42347-93618 Zie opmerking a.
Patiëntcode-lijst	3		CX	20	R	[1..1]		00106		
Lijst met id's		1	ST	20	R	[1..2]				42347-93618~abc1234-56 Zie opmerkingen a, b en c.
Naam patiënt	5		XPN	140	R	[0..1]		00108		Zie opmerking d.
Achternaam plus voorvoegsel		1	CM	40	RE	[0..1]				Jansen
Voor-naam		2	ST	40	RE	[0..1]				Jan
Middelste initiaal of naam		3	ST	40	RE	[0..1]				Jimmy
Achtervoegsel		4	ST	20	RE	[0..1]				Jr.
Weergavecode voor naam		8	Id	1	O	[0..1]	0465			

Aanvullende patiëntnaam	5		XPN	140	R	[0..1]		00108		Zie opmerking d.
Aanvullende achternaam plus voorvoegsel		1	CM	40	RE	[0..1]				Smit
Aanvullende voor-naam		2	ST	40	RE	[0..1]				Jack
Aanvullende middelste initiaal of naam		3	ST	40	RE	[0..1]				Jackie
Aanvullend achtervoegsel		4	ST	20	RE	[0..1]				Sr.
Weergavecode voor naam		8	Id	1	O	[0..1]	0465			P
Geboortedatum	7		TS	26	RE	[0..1]		00110		19271-209
Geslacht	8		IS	1	RE	[0..1]	0001	00111		M Zie opmerking e.
Postcode	11	5	ST	10	RE	[0..1]				55408

- Zowel de patiënt-id (reeks 2) als de patiëntcodelijst (reeks 3) bevat een uniek patiëntnummer dat wordt gegenereerd en onderhouden door LATITUDE.
- LATITUDE stelt klinieken in staat om (optioneel) hun eigen patiënt-id's toe te voegen aan het LATITUDE-systeem. Optionele patiënt-id's worden deel van het geëxporteerde HL7-bericht. Indien deze door de kliniek gedefinieerde patiëntcodes worden gebruikt, worden deze als tekst weergegeven in de patiëntcodelijst (reeks 3) na een tildesymbool (~).
- In deze tabel worden alle patiënt-id-elementen gedefinieerd die worden gebruikt in het PID-segment. Omdat elk patiëntendossier uniek is, bevatten berichten mogelijk niet alle patiënt-id-elementen die hierboven zijn gedefinieerd.
- Waar beschikbaar, zal het bericht aanvullende patiëntnaaminformatie bevatten, zoals staat vermeld in de tabel. De ideografische en fonetische namen worden als een HL7-lijst in de PID.5-reeks opgenomen. De items die in de tabel vermeld staan, vertegenwoordigen de maximale set aan informatie die kan worden verzonden.
- De waarde "U" wordt weergegeven als het geslacht van de patiënt niet bekend is.

NTE-SEGMENTSTRUCTUUR

Het NTE-segment bevat waarschuwingen en events die bij een specifieke patiënt zijn voorgekomen. Er kunnen maximaal vier NTE-segmenten in één HL7-bericht voor LATITUDE staan.

ELEMENT-NAAM	SEQ	SUB SEQ	DT	LEN	GE-BRUIK	CARD	TBL #	ITEM #	VAST	VOOR-BEEL-DWAA-RDE
Ingestelde id — NTE	1		SI	1	R	[1..1]		00096		1

Bron van opmerking	2		Id	8	R	[1..1]		00097	J	LATI-TUDE
Opmerking	3		FT	65536	R	[1..*]		00098		Zie beschrijving van inhoud in opmerking a.

- a. Elk follow-upbericht van een apparaat kan maximaal vier NTE-segmenten bevatten. De ingestelde id en de beschrijving voor deze segmenten zijn als volgt:
- Ingestelde id 1 - Dit NTE-segment bevat een rapport dat bestaat uit een verzameling alarmsignalen die bij een specifieke patiënt zijn opgetreden. Er kan meer dan één waarschuwing gerelateerd zijn aan de betreffende combinatie van patiënt en arts. De alarmsignalen worden zodanig gerangschikt dat alle rode alarmsignalen eerst verschijnen, gevolgd door gele alarmsignalen. Secundair wordt binnen elk waarschuwingstype van nieuw tot oud gesorteerd. Er kunnen maximaal 255 alarmsignalen worden weergegeven.
 - Ingestelde id 2 - Dit NTE-segment bevat informatie over het ontslag van de patiënt in diens LATITUDE-patiëntendossier. Het bevat informatie over wie het ontslag heeft uitgevoerd en wanneer het werd uitgevoerd.
 - Ingestelde id 3 - Dit NTE-segment bevat een rapport dat bestaat uit een verzameling events (opgeslagen episodes) die voor een specifieke patiënt in de upload zijn opgenomen. Er kan meer dan één event samengaan met het gegeven patiënt/arts-paar. Events worden gesorteerd van nieuw tot oud en er kunnen maximaal 255 events worden vermeld. De laatste regel van dit segment bevat de totalen van elk type episode.
 - Ingestelde id 4 - Dit NTE-segment bevat informatie over het apparaat als het zich in een toestand bevindt die aandacht vereist. Het bevat een waarschuwingsverklaring en informatie over de toestand. Als dit NTE-segment aanwezig is, moet het worden behandeld als een bericht met hoge prioriteit dat wordt getoond aan de eindgebruiker.
- b. Niet elk HL7-bericht voor LATITUDE bevat alle vier de NTE-segmenten.

PV1-SEGMENTSTRUCTUUR

Het segment PV1 (patiëntenbezoek) bevat informatie over de behandelend arts van de patiënt.

ELEMENT-NAAM	SEQ	SUB SEQ	DT	LEN	GE-BRUIK	CARD	TBL #	ITEM #	FAST	VOOR-BEELD-WAARDE
Ingestelde id — PV1	1		SI	4	R	[1..1]		00131	J	1
Patiënt-klasse	2		IS	1	R	[0..1]		00132	J	R
Behandelend arts	7		XCM	60	RE	[1..1]		00137		
Id-nummer (ST)		1	ST	10	RE	[1..1]				JHopkins Zie opmerking a.
Achternaam plus voorvoegsel		2	CM	40	RE	[1..1]				Hopkins
Voor-naam		3	ST	40	RE	[0..1]				Jan

Middelste initiaal of naam		4	ST	1	RE	[0..1]				L
achter- voegsel		5	ST	20	RE	[0..1]				Sr.

- a. Het identificatienummer van de behandelend arts is de LATITUDE-aanmeldnaam van de arts.
b. Berichten bevatten mogelijk niet alle elementen van de naam van de arts die hierboven staan vermeld.

PV2-SEGMENTSTRUCTUUR

Het segment PV2 (patiëntenbezoek 2) bevat informatie over de LATITUDE-groep van de patiënt.

ELE- MENT- NAAM	SEQ	SUB SEQ	DT	LEN	GE- BRUIK	CARD	TBL #	ITEM #	VAST	VOOR- BEEL- DWAA- RDE
Naam van klinische organisatie	23		XON	90	O	[0..1]		00724	N	
Naam van organisatie (groep)		1	ST	87	RE	[0..1]			N	Cardiologie
Identificatienummer (primaire of secundaire patiëntengroep)		3	NM	1	RE	[0..1]			N	1 Zie opmerking b.

- a. Het PV2-segment is optioneel en is mogelijk niet aanwezig in het HL7-bestand.
b. De waarde is 1 als het HL7-bestand is gekoppeld aan de primaire LATITUDE-groep; de waarde is 2 als het is gekoppeld aan de secundaire LATITUDE-groep.

OBR-SEGMENTSTRUCTUUR

OBR-segmenten zijn de headers voor afzonderlijke OBX-segmenten voor opgevraagde informatie. Deze bevatten gegevens als tijdstempels, een rapportcode en een unieke door het systeem gegenereerde code.

ELE- MENT- NAAM	SEQ	SUB SEQ	DT	LEN	GE- BRUIK	CARD	TBL #	ITEM #	VAST	VOOR- BEEL- DWAA- RDE
Ingestelde id — OBR	1		SI	4	R	[1:1]		00237	J	1 t/m 4 Zie opmerking a
Bestelnummer vuller	3		EI	22	R	[1:1]		00217		
Entiteitcode		1	ST	15	R	[1:1]				Unieke code Zie opmerking b

Universele service-id	4		CE	200	R	[1:1]		00238		
Code		1	ST	50	R	[1:1]				Boston-Scientific- Laatste opvraging Zie opmerking a
Tekst		2	ST	50	R	[1:1]				Laatste opvraging Zie opmerking a
Nummer observatiedatum/-tijd	7		TS	26	R	[1:1]		00241		20060-42908-000 5 +0000
Nummer observatie-einddatum/-tijd	8		TS	26	RE	[0:1]		00242		20060-42908-000 5 +0000
Bestellende provider	16		XCN	120	RE	[0:1]		00226		
Identificatienummer		1	ST	50	RE	[0:1]				bijvoorbeeld JHopkins, Cardiologie, enz; Zie opmerking c
Plaatserveld 1	18		ST	2	R	[1:1]		00253	J	DR Zie opmerking d
Resultaatrapport/ Statusverandering – datum/ tijd +	22		TS	26	RE	[0:1]		00255		20060-42908-000 5 +0000
Resultatenstatus +	25		Id	1	R	[1:1]	0123	00258	J	F

- Het ORU-bericht van LATITUDE bevat vier OBR-segmenten ('OBR staat voor 'observatierapport'). Elk van deze segmenten heeft een andere ingestelde id en universele service-id (zie bovenstaande tabel). Elk OBR bevat meerdere OBX-records met contextspecifieke observaties. Bijzonderheden over de specifieke OBX-observaties worden genoemd in de paragraaf OBX-segmentstructuur in dit document.
- LATITUDE genereert één unieke code en legt deze vast als Bestelnummer vuller (OBR.3) in alle vier de OBR's. De code blijft ongewijzigd als observaties opnieuw worden verzonden.
- Bestellende provider (OBR.16) is de LATITUDE-aanmeldingsnaam van ofwel de verantwoordelijke arts, dan wel de naam van de patiëntgroep.
- Plaatserveld 1 (OBR.18) is een waarde die wordt gebruikt om het type observatie dat wordt verzonden, aan te geven. Het staat altijd ingesteld op DR, wat staat voor 'diagnostisch rapport'.

Groep-id's observatierapport

Ingestelde id	Naam	Beschrijving	Universele service-id-code	Universele service-id-tekst
1	Laatste opvraging	Deze OBR bevat observaties van de vorige monitoringssessie op afstand.	BostonScientific–Laatste opvraging	Laatste opvraging
2	Implantatie	Deze OBR bevat observaties die gemaakt zijn ten tijde van implantatie van de PG.	BostonScientific–Implantatie	Implantatie
3	Laatste poliklinische leadtest	Deze OBR bevat observaties van de laatste poliklinische leadtest.	Boston Scientific–LaatsteInOffice	Lead Test: In-Office
4	Leadinformatie	Deze OBR bevat informatie over de geïmplanteerde leads.	BostonScientific–Leads	Lead informatie

OBX-SEGMENTSTRUCTUUR

OBX-segmenten bevatten gegevens die zijn verzameld gedurende de meest recente apparaatopvraging.

ELE-MENT-NAAM	SEQ	SUB SEQ	DT	LEN	GE-BRUIK	CARD	TBL #	ITEM #	VAST	VOOR-BEEL-DWAA-RDE
Ingestelde id – OBX	1		SI	4	R	[1..1]		00569		Opeenvolgend geheel getal vanaf 1
Waardetype	2		Id	2	R	[1..1]	0125	00570		ST, NM, DT of ED Zie opmerking a
Observatiecode	3		CE	590	R	[1..1]		00571		
Code		1	ST	80	R	[1..1]				Zie opmerking b
Tekst		2	ST	256	R	[1..1]				Zie opmerking b
Naam van code-rings-systeem		3	ST	20	R	[1..1]			J	GDT-LATI-TUDE
Observatiewaarde	5		--	4000	RE	[0..1]				Zie opmerking c
Eenheden	6		CE	60	RE	[0..1]				
Code		1	ST	20	RE	[0..1]				Zie opmerking d

Resultaatstatus observatie	11		Id	1	R	[1..1]	0085	00579	J	F
Datum/tijd van de observatie	14		TS	26	C	[0..1]		00582		20060-31717-000 0 +0000 Zie opmerking e

- Waardetype (OBX.2) geeft de indeling van de gerapporteerde gegevens aan: ST staat voor 'string' (tekenreeks); NM staat voor 'number' (getal); DT staat voor 'date' (datum); ED staat voor 'encapsulated data' (geïntegreerde gegevens).
- Alle observaties worden gecodeerd met de specifieke termen van LATITUDE. Deze termen zijn gedefinieerd in de paragraaf Definities van HL7-termen voor Latitude in dit document.
- Observatiewaarde (OBX.5) geeft de gerapporteerde gegevens aan in de indeling die is bepaald in OBX.2. De maximumlengte van deze tekenreeks is 4000 tekens, maar dit kan meer zijn met een Gepresenteerd EGM rapport in PDF-indeling.
- OBX.6 bevat de meeteenheid voor de gegevens in OBX.5, indien van toepassing. Meeteenheden en decimaalscheidingstekens zijn gelokaliseerd.
- Datum/tijd van de observatie (OBX.14) bevat alleen een waarde indien de tijdstempel van een bepaalde observatie verschilt van de tijdstempel die is gerapporteerd bij OBR.7. Deze waarde is vereist voor observatiegroepen OBR-1 en OBR-3, maar is niet aanwezig bij de groepen OBR-2 en OBR-4.

ZUX-SEGMENTSTRUCTUUR

De Z-segmenten zijn aangepaste segmenten die gebruikt worden voor het overdragen van specifieke LATITUDE-informatie.

ELEMENT-NAAM	SEQ	SUB SEQ	DT	LEN	GE-BRUIK	CARD	TBL #	ITEM #	VAST	VOOR-BEEL-DWAA-RDE
Segmenttype	1		ST	3	R	[1..1]			J	ZU1 of ZU2 Zie opmerking a
Waarde	2		ST	200	R	[1..1]				URL of type verslag Zie opmerking a

- De twee Z-segmenten die gebruikt worden, zijn:
 - ZU1 - Deze waarde bevat de URL-tekenreeks waarmee een systeemgebruiker naar de patiënt kan koppelen in LATITUDE. Bijv. <https://www.test.bostonscientific.com/access/physician/patientDetails?id=987654321>
 - ZU2 - De waarde bevat de beschrijving en de versie van het LATITUDE-bericht. Bijv. Overzichtsrapport apparaat, versie 6

DEFINITIES VAN HL7-TERMEN VOOR LATITUDE

HOOFDSTUK 7

In dit hoofdstuk worden de volgende onderwerpen beschreven:

- “Definities van HL7-terminen voor Latitude” op pagina 7-2
- “OBX-terminen die worden gebruikt in de groep OBR–1 (Gegevens laatste opvraging)” op pagina 7-2
- “OBX-terminen die worden gebruikt in de groep OBR–2 (Implantatiegegevens)” op pagina 7-9
- “OBX-terminen die worden gebruikt in de groep OBR–3 (Gegevens laatste poliklinische leadtest)” op pagina 7-10
- “OBX-terminen die worden gebruikt in de groep OBR–4 (Leadinformatiegegevens)” op pagina 7-11

Outdated version. Do not use.
Version überholt. Nicht verwenden.
Version obsolete. Ne pas utiliser.
Versión obsoleta. No utilizar.
Versione obsoleta. Non utilizzare.
Verouderde versie. Niet gebruiken.
Föråldrad version. Använd ej.
Παλιά έκδοση. Μην την χρησιμοποιείτε.
Versão obsoleta. Não utilize.
Forældet version. Skal ikke anvendes.
Zastaralá verzia. Nepoužívať.
Utdatert versjon. Skal ikke brukes.
Zastaraná verzia. Nepoužívať.
Elavult verzió. Ne használja!
Wersja nieaktualna. Nie używać.

DEFINITIES VAN HL7-TERMEN VOOR LATITUDE

Alle observaties die in de OBX-segmenten staan, zijn gecodeerd met specifieke LATITUDE-terminen. De onderstaande tabellen geven een volledig overzicht van de OBX-terminen die worden gebruikt in de vier OBR-groepen. Niet alle termen zijn voor alle apparaten relevant. Daarom zullen niet alle berichten al deze termen bevatten.

OBX-TERMEN DIE WORDEN GEBRUIKT IN DE GROEP OBR-1 (GEGEVENS LAATSTE OPVRAGING)

Niet ieder bericht bevat alle termen

GDT-code	Naam van de term	Beschrijving	Gegevens- type	Een- heid
GDT-00001	Bron resultaat	De resultatenbron geeft de bron van de gegevens aan (bijvoorbeeld externe opvraging)	ST	
GDT-00002	Device Fabrikant	De bedrijfsnaam van de fabrikant van het apparaat	ST	
GDT-00003	Type apparaat	Het type apparaat	ST	
GDT-00004	Naam van het apparaat	De naam die door de fabrikant aan een apparaat gegeven is	ST	
GDT-00005	Device modelnaam	De modelnaam van het apparaat	ST	
GDT-00006	Device model nummer	Het modelnummer van het apparaat	ST	
GDT-00007	Serienummer van het apparaat	Het serienummer van het apparaat	ST	
GDT-00008	Batterijmeter	Het percentage dat de levensduur van de batterij aangeeft	NM	%
GDT-00009	Batterijstatus	Geeft een waarschuwing of melding over de huidige status van de batterij	ST	
GDT-00010	Voltagecontrole	De meting van het batterijvoltage die door het geïmplanteerde apparaat is uitgevoerd.	ST	V
GDT-00011	Laadtijd	De laadtijd van de laatste condensatorreformatie.	NM	s
GDT-00012	Laatste reformatie	De datum van de laatste condensatorreformatie in het geïmplanteerde apparaat.	DT	
GDT-00013	VF-episodes	Totale ventrikelfibrillatie-episodes: het aantal episodes in de hoogste tachyzone dat is gedetecteerd sinds de datum van "Tellers sinds".	ST	
GDT-00014	<ul style="list-style-type: none"> • VT Episodes • Tachy-episodes • VT Episodes (V>A) 	VT Episodes: VT-zonearitmieën die zijn gedetecteerd sinds de datum van "Tellers sinds"	ST	
GDT-00015	VT-1-episodes	VT-1-episodes: VT-1-zonearitmieën die zijn gedetecteerd sinds de datum van "Tellers sinds". De naam van de term wordt weergegeven als VT Episodes of als Tachy-episodes, afhankelijk van het geïmplanteerde apparaat.	ST	
GDT-00016	<ul style="list-style-type: none"> • Niet-aanhoudende ventriculaire episodes • Niet-aanhoudende episodes 	Totale niet-aanhoudende episodes van ventriculaire tachycardie: het aantal niet-aanhoudende VT-episodes dat is gedetecteerd sinds de datum van "Tellers sinds"	ST	

GDT-00017	<ul style="list-style-type: none"> ATR mode switches ATR Episodes 	ATR mode switches: het aantal modeswitches dat sinds de datum van Tellers sinds is gedetecteerd.	NM	
GDT-00018	Afib-episodes	Atriumfibrillatie-episodes: atriumfibrillatie-episodes die zijn gedetecteerd sinds de datum van Tellers sinds.	NM	
GDT-00019	<ul style="list-style-type: none"> SVT Episodes SVT Episodes (V≤A) 	Supraventriculaire (atriale) tachycardie-episodes: SVT (AT)-episodes die zijn gedetecteerd sinds de datum van Tellers sinds.	NM	
GDT-00020	Atriaal percentage gestim.	Rechtsatriaal stimulatiepercentage: het percentage van alle rechtsatriale events die zijn gedetecteerd sinds de datum van "Tellers sinds", en die werden gestimuleerd.	NM	%
GDT-00021	RV percentage gestim.	Rechtsventriculair stimulatiepercentage: het percentage van alle rechtsventriculaire events die zijn gedetecteerd sinds de datum van "Tellers sinds", en die werden gestimuleerd.	NM	%
GDT-00022	LV percentage gestim.	Linksventriculair stimulatiepercentage: het percentage van alle linksventriculaire events die zijn gedetecteerd sinds de datum van "Tellers sinds", en die werden gestimuleerd.	NM	%
GDT-00023	Rechter Atriale Lead Status	De huidige status van de rechtsatriale lead, zoals bepaald door het apparaat op basis van analyse van de leadamplitude en -impedantie.	ST	
GDT-00024	RA Intrinsic amplitude	Rechtsatriale intrinsieke amplitude (P-golf) gemeten tijdens een intrinsieke amplitudetest.	ST	mV
GDT-00025	RA-stimulatie-impedantie	Rechtsatriale leadimpedantie gemeten tijdens een leadimpedantietest.	ST	Ohm
GDT-00026	Rechter Ventriculaire Lead Status	De huidige status van de rechtsventriculaire lead, zoals bepaald door het apparaat op basis van analyse van de leadamplitude en -impedantie.	ST	
GDT-00027	RV intrinsieke amplitude	Rechtsventriculaire intrinsieke amplitude (R-golf) gemeten tijdens een intrinsieke amplitudetest.	ST	mV
GDT-00028	RV stimulatie-imp.	Rechtsventriculaire leadimpedantie gemeten tijdens een leadimpedantietest.	ST	Ohm
GDT-00029	<ul style="list-style-type: none"> LV-leadstatus Linker Ventriculaire Lead Status 	De huidige status van de linksventriculaire lead, zoals bepaald door het apparaat op basis van analyse van de leadamplitude en -impedantie.	ST	
GDT-00030	LV intrinsieke amplitude	Linksventriculaire intrinsieke amplitude (R-golf) gemeten tijdens een intrinsieke amplitudetest.	ST	mV
GDT-00031	LV stimulatie-imp.	Linksventriculaire leadimpedantie gemeten tijdens een leadimpedantietest.	ST	Ohm
GDT-00032	<ul style="list-style-type: none"> Status van shockvector Impedantiestatus elektrode 	De huidige status van de shockvector, zoals bepaald door het apparaat op basis van analyse van de impedantie.	ST	
GDT-00033	Shock-impedantie	Dagelijkse gemeten waarde voor shock-impedantie	ST	Ohm
GDT-00034	<ul style="list-style-type: none"> V-Tachymodus Therapie 	Ventriculaire therapiemodus.	ST	
GDT-00035	A tachymode	Atriale tachytherapiemodus.	ST	
GDT-00036	Brady mode	Brady mode (d.w.z. stimulatiemodus): de manier waarop een apparaat ondersteuning voor frequentie en ritme biedt.	ST	

GDT-00037	Basisfrequentie	De basisfrequentie (LRL) is de frequentie waarbij het geïmplanteerde apparaat bij afwezigheid van gedetecteerde intrinsieke activiteit het atrium en/of ventrikel stimuleert.	NM	min ⁻¹
GDT-00038	Maximale trackingfrequentie	Maximale trackingfrequentie: in de DDI- en I(R)-modi is de maximale trackingfrequentie (MTR) de maximale frequentie waarbij synchroon (1:1) met niet-refractaire gedetecteerde atriale slagen ventriculaire stimulatie kan plaatsvinden.	NM	min ⁻¹
GDT-00039	Maximale sensorfrequentie	De snelste door de sensor aangestuurde stimulatiefrequentie die in een frequentieadaptief stimulatiesysteem kan worden bereikt.	NM	min ⁻¹
GDT-00040	Gevoeligheid RA	Rechtsatriale gevoeligheid: De parameter Atriale gevoeligheid geeft het kleinste signaal aan dat gedetecteerd zal worden in het rechteratrium. De waarde kan een numerieke waarde zijn die wordt uitgedrukt in mV, een teksttekenreeks van (Nominaal, Minder, Ten minste), of een combinatie van deze twee.	ST	mV
GDT-00041	Gevoeligheid RV	Rechtsventriculaire gevoeligheid: De parameter Gevoeligheid rechtsventriculair geeft het kleinste signaal aan dat zal worden gedetecteerd in het rechterventrikel. De waarde kan een numerieke waarde zijn die wordt uitgedrukt in mV, een teksttekenreeks van (Nominaal, Minder, Ten minste), of een combinatie van deze twee.	ST	mV
GDT-00042	Gevoeligheid LV	Linksventriculaire gevoeligheid: De parameter Gevoeligheid linksventriculair geeft het kleinste signaal aan dat zal worden gedetecteerd in het linkerventrikel. De waarde kan een numerieke waarde zijn die wordt uitgedrukt in mV, een teksttekenreeks van (Nominaal, Minder, Ten minste), of een combinatie van deze twee.	ST	mV
GDT-00043	Gestimuleerde AV-vertraging	De waarde van de instelling 'AV-interval'.	ST	ms
GDT-00044	Gedet. AV-offset	Gedetecteerde AV-offset: Het AV-interval wordt verkort door de geprogrammeerde "Gedet. AV-offset" na een gedetecteerd atriaal event. Bij COGNIS- en TELIGEN-apparaten en nieuwere apparaten kan er een waarde worden weergegeven, zelfs als deze niet van toepassing is voor de huidige geprogrammeerde modus.	ST	ms
GDT-00045	AV Hysterese Search-interval	Aantal gestimuleerde AV-cycli tussen A-V-frequentiezoekacties	ST	cycli
GDT-00046	AV-Search hysterese AV toename	Het percentage stijging van AV-interval dat toegepast moet worden op de volgende cardiale cyclus als de AV-zoekfunctie actief is. Let op: deze waarde wordt uitgevoerd voor gebruik met oudere apparaten. GDT-00218 wordt uitgevoerd voor gebruik met COGNIS-, TELIGEN-, PROGENY- en INGENIO-apparaten.	NM	%
GDT-00047	<ul style="list-style-type: none"> • A-refractair (PVARP) • A-refractaire periode 	De post-ventriculaire atriale refractaire periode (PVARP) is de tijdsperiode na een ventriculair event, gestimuleerd of gedetecteerd, wanneer de activiteit in het atrium de cardiale cyclus niet reset, noch een ventriculaire stimulatie triggert.	ST	ms
GDT-00048	RV-refractaire periode (RVRP)	De rechtsventriculaire refractaire periode is de tijdsperiode na een rechtsventriculair event (gestimuleerd of gedetecteerd), waarbinnen gedetecteerde elektrische activiteit in het rechterventrikel de timingscycli niet reset.	ST	ms
GDT-00049	LV-refractaire periode (LVRP)	De linksventriculaire refractaire periode (LVRP) wordt gedefinieerd als de tijdsperiode na een linksventriculair event, gestimuleerd of gedetecteerd, als intrinsieke LV-events niet gebruikt worden om de timingscycli te resetten.	NM	ms

GDT-00050	Besch. periode LV	Linksventriculaire protectieperiode (LVPP): LVPP is de periode na een linksventriculair event, gestimuleerd of gedetecteerd, waarin het apparaat het linkerventrikel niet zal stimuleren.	NM	ms
GDT-00051	Ventriculaire stimulatiekamer	Stimulatiekamer: deze parameter bepaalt de ventriculaire stimulatieconfiguratie: stimulatie links, stimulatie rechts of biventriculaire stimulatie.	ST	
GDT-00052	Ventriculaire stimulatiekamer LV offset	Verloop tussen de toediening van RV- en LV-stimulatiepulsen. Het verloop wordt toegepast op de LV-stimulatiepuls, op basis van de timing van de RV-stimulatiepuls. Het verloop kan een negatieve of positieve waarde hebben.	NM	ms
GDT-00053	Stimulatieoutput – RA	De combinatie van de rechtsatriale amplitude en de rechtsatriale pulsduur.	ST	
GDT-00054	Stimulatieoutput – RV	De combinatie van de rechtsventriculaire amplitude en de rechtsventriculaire pulsduur.	ST	
GDT-00055	Stimulatieoutput – LV	De combinatie van de linksventriculaire amplitude en de linksventriculaire pulsduur.	ST	
GDT-00056	ATR mode switch modus	ATR mode switch modus: niet-volgende verandering van stimulatiemodus als de patiënt atriale tachyritmie ervaart.	ST	
GDT-00057	Frequentie ATR mode switch	De atriale tachyresponsfrequentie is de stimulatiefrequentie waarbij de modus overschakelt naar een nieuwe therapie-instelling.	ST	min ⁻¹
GDT-00058	AFib-zone	AFib-frequentiedrempel: De frequentie waarboven een A-A-interval geïdentificeerd wordt in de AFib-zone.	ST	min ⁻¹
GDT-00059	AFib-zone ATP1 Type	ATP-therapie voor de eerste therapieset	ST	
GDT-00060	AFib-zone ATP1 Aantal bursts	Het geprogrammeerde aantal atriale antitachystimulatiebursts dat door een geïmplanteerd apparaat voor de eerste geprogrammeerde atriale therapieset afgegeven wordt in de AFib-zone.	ST	
GDT-00061	AFib-zone ATP2 Type	ATP-therapie voor de tweede geprogrammeerde therapieset.	ST	
GDT-00062	AFib-zone ATP2 Aantal bursts	Het geprogrammeerde aantal atriale antitachystimulatiebursts dat door een geïmplanteerd apparaat voor de tweede geprogrammeerde atriale therapieset afgegeven wordt in de AFib-zone.	ST	
GDT-00063	AFib-zone Shock 1 Energie	AFib Shock 1-energie: De hoeveelheid afgegeven energie bij de eerste shock van de AFib-zone.	ST	J
GDT-00064	AFib-zone Shock 2 Energie	AFib Shock 2-energie: De hoeveelheid afgegeven energie bij de tweede shock van de AFib-zone.	ST	J
GDT-00065	AFib-zone Shock 3 Energie	AFib Shock 3-energie: De hoeveelheid afgegeven energie bij de derde shock van de AFib-zone.	ST	J
GDT-00066	SVT-zone	SVT (AT)-frequentiedrempel: De frequentie waarboven een A-A-interval geïdentificeerd wordt in de SVT-zone (d.w.z. AT-zone).	NM	min ⁻¹
GDT-00067	SVT-zone ATP1 Type	Het type atriale antitachystimulatiebursts dat door een geïmplanteerd apparaat voor de eerste geprogrammeerde atriale therapieset afgegeven wordt in de SVT-zone (d.w.z. AT-zone).	ST	
GDT-00068	SVT-zone ATP1 Aantal bursts	Het aantal atriale antitachystimulatiebursts dat door een geïmplanteerd apparaat voor de eerste geprogrammeerde atriale therapieset afgegeven wordt in de SVT-zone (d.w.z. AT-zone).	ST	

GDT-00069	SVT-zone ATP2 Type	Het type atriale antitachystimulatiebursts dat afgegeven wordt in de SVT-zone (d.w.z. AT-zone) door een geïmplanteerd apparaat voor de tweede geprogrammeerde atriale therapieset.	ST	
GDT-00070	SVT-zone ATP2 Aantal bursts	Het aantal atriale antitachystimulatiebursts dat afgegeven wordt in de SVT-zone (d.w.z. AT-zone) door een geïmplanteerd apparaat voor de tweede geprogrammeerde atriale therapieset.	ST	
GDT-00071	SVT-zone Shock 1 Energie	SVT (AT) Shock 1-energie: De hoeveelheid afgegeven energie bij de eerste shock van de SVT-zone (d.w.z. AT-zone).	ST	J
GDT-00072	SVT-zone Shock 2 Energie	SVT (AT) Shock 2-energie: De hoeveelheid afgegeven energie bij de tweede shock van de SVT-zone (d.w.z. AT-zone).	ST	J
GDT-00073	SVT-zone Shock 3 Energie	SVT (AT) Shock 3-energie: De hoeveelheid afgegeven energie bij de derde shock van de SVT-zone (d.w.z. AT-zone).	ST	J
GDT-00074	<ul style="list-style-type: none"> • VF zone • Schokzone 	VF-frequentiedrempel: de frequentie waarboven een R-R-interval geclassificeerd wordt in de VF-zone.	NM	min ⁻¹
GDT-00075	<ul style="list-style-type: none"> • VF Shock 1 Energie • Shockenergie schokzone 	VF Shock 1-energie: de hoeveelheid afgegeven energie bij de eerste shock van de VF-zone.	NM	J
GDT-00076	VF Shock 2 Energie	VF Shock 2-energie: de hoeveelheid afgegeven energie bij de tweede shock van de VF-zone.	NM	J
GDT-00077	VF Max Shock Energie	Maximale VF-shockenergie: de hoeveelheid energie die bij elke resterende shock na de tweede shock van de VF-zone afgegeven wordt.	NM	J
GDT-00078	VF Aantal extra shocks	Aantal extra VF-shocks: het aantal extra maximale energieshocks in de VF-zone, dat geprogrammeerd staat om toegediend te worden.	NM	
GDT-00079	<ul style="list-style-type: none"> • VT-zone • Tachy Detectie Frequentie • Conditionele schokzone 	VT-frequentiedrempel: de frequentie waarboven een R-R-interval geclassificeerd wordt in de VT-zone.	NM	min ⁻¹
GDT-00080	VT-zone ATP1-type	Het type ventriculaire antitachystimulatiebursts dat door een geïmplanteerd apparaat voor de eerste geprogrammeerde ventriculaire therapieset afgegeven wordt in de VT-zone.	ST	
GDT-00081	VT-zone ATP1 Aantal bursts	Het aantal ventriculaire antitachystimulatiebursts dat door een geïmplanteerd apparaat voor de eerste geprogrammeerde ventriculaire therapieset afgegeven wordt in de VT-zone.	ST	
GDT-00082	VT-zone ATP2-type	Het type ventriculaire antitachystimulatiebursts dat door een geïmplanteerd apparaat voor de tweede geprogrammeerde ventriculaire therapieset afgegeven wordt in de VT-zone.	ST	
GDT-00083	VT-zone ATP2 Aantal bursts	Het aantal ventriculaire antitachystimulatiebursts dat door een geïmplanteerd apparaat voor de tweede geprogrammeerde ventriculaire therapieset afgegeven wordt in de VT-zone.	ST	
GDT-00084	<ul style="list-style-type: none"> • VT Shock 1-energie • Shockenergie conditionele schokzone 	VT Shock 1-energie: de hoeveelheid afgegeven energie bij de eerste shock van de VT-zone.	ST	J
GDT-00085	VT Shock 2 Energie	VT Shock 2-energie: de hoeveelheid afgegeven energie bij de tweede shock van de VT-zone.	ST	J

GDT-00086	VJ Max Shock Energie	Maximale VT-shockenergie: de hoeveelheid energie die bij elke resterende shock na de tweede shock van de VT-zone afgegeven wordt.	ST	J
GDT-00087	VT Aantal extra max. energiestocks	Aantal extra VT-shocks: het aantal extra maximale energiestocks in de VT-zone, dat geprogrammeerd staat om toegediend te worden.	NM	
GDT-00088	VT-1 zone	VT-1-frequentiedrempel: de frequentie waarboven een R-R-interval geïdentificeerd wordt in de VT-1-zone.	NM	min ⁻¹
GDT-00089	VT-1 ATP1-type	Het type ventriculaire antitachystimulatiebursts dat door een geïmplanteerd apparaat voor de eerste ventriculaire therapie afgegeven wordt in de VT-1-zone.	ST	
GDT-00090	VT-1 ATP1 Aantal bursts	Het aantal ventriculaire antitachystimulatiebursts dat door een geïmplanteerd apparaat voor de eerste ventriculaire therapie afgegeven wordt in de VT-1-zone.	ST	
GDT-00091	VT-1 ATP2-type	Het type ventriculaire antitachystimulatiebursts dat door een geïmplanteerd apparaat voor de tweede ventriculaire ATP-therapie afgegeven wordt in de VT-1-zone.	ST	
GDT-00092	VT-1 ATP2 Aantal bursts	Het aantal ventriculaire antitachystimulatiebursts dat door een geïmplanteerd apparaat voor de tweede ventriculaire ATP-therapie afgegeven wordt in de VT-1-zone.	ST	
GDT-00093	VT-1 Shock 1 Energie	VT-1 Shock 1-energie: de hoeveelheid afgegeven energie bij de eerste shock van de VT-1-zone.	ST	J
GDT-00094	VT-1 Shock 2 Energie	VT-1 Shock 2-energie: de hoeveelheid afgegeven energie bij de tweede shock van de VT-1-zone.	ST	J
GDT-00095	VT-1 Max Shock Energie	Maximale VT-1-shockenergie: de hoeveelheid energie die bij elke resterende shock na de tweede shock van de VT-1-zone wordt afgegeven.	ST	J
GDT-00096	VT-1 Aantal extra max. energiestocks	Aantal extra VT-1-shocks: het aantal shocks dat in de VT-1-zone geprogrammeerd is voor toediening.	NM	
GDT-00097	Tellers sinds	De begindatum vanaf wanneer de tellerwaarden berekend zijn.	ST	
GDT-00108	Device implantatiedatum	Implantatiedatum van het apparaat <i>OPMERKING: De observatiewaarde moet voldoen aan de DT-indeling of "N/G" weergeven</i>	DT	
GDT-00119	RV stimulatie drempel	De minimale elektrische stimulatie (outputpuls van de pacemaker) die nodig is om een rechtsventriculaire depolarisatie consistent te beginnen.	ST	
GDT-00190	<ul style="list-style-type: none"> Reverse Mode Switch RYTHMIQ™ 	De alternatieve manier waarop een apparaat ondersteuning voor frequentie en ritme biedt.	ST	
GDT-00191	<ul style="list-style-type: none"> RA-leadconfiguratie Leadconfiguratie (Stim/Detect) - RA 	De configuratie van de RA-lead voor stimulatie en detectie.	ST	
GDT-00192	<ul style="list-style-type: none"> RV-leadconfiguratie Leadconfiguratie (Stim/Detect) - RV 	De configuratie van de RV-lead voor stimulatie en detectie.	ST	

GDT-00193	<ul style="list-style-type: none"> LV-leadconfiguratie Leadconfiguratie (Stim/Detect) - LV 	De configuratie van de LV-lead voor stimulatie en detectie.	ST	
GDT-00196	ATR Minimum duur	Minimale duur van de atriale tachycardiereactie: De kortste duur van atriale tachycardieresponseepisodes sinds de datum van Tellers sinds.	ST	
GDT-00197	ATR Maximum duur	Maximale duur van de atriale tachycardierespons: De langste duur van atriale tachycardieresponseepisodes sinds de datum van Tellers sinds.	ST	
GDT-00200	Magneetfrequentie	De verwachte frequentie indien een magneet bij het apparaat zou worden gehouden; dit is een indicatie van de resterende levensduur van de batterij.	NM	min ⁻¹
GDT-00201	Minuut Volume	Deze parameter geeft de MV-sensormodus aan voor frequentieadapterende stimulatie. De mogelijke waarden zijn Aan, Uit, Passief of Alleen ATR.	ST	
GDT-00207	Accelerometer	Deze parameter geeft de XL-sensormodus aan voor frequentieadapterende stimulatie. De mogelijke waarden zijn Aan, Uit, Passief of Alleen ATR.	ST	
GDT-00212	MRI Beschermingsmodus	Telt het aantal keer dat MRI-beveiliging is gestart sinds de laatste reset van het geïmplanteerde apparaat.	NM	
GDT-00213	RA stimulatierempel	De minimale elektrische stimulatie (outputpuls van de pacemaker) die nodig is om een rechtsatriale depolarisatie consistent te beginnen.	ST	
GDT-00216	<ul style="list-style-type: none"> Ventriculaire Tachy EGM-opslag Tachy EGM-opslag 	Parameter om te bepalen of tachy-EGM-opslag is in- of uitgeschakeld. Alleen bradyapparaten.	ST	
GDT-00217	VF zone ATP	Geeft aan of ATP-therapie is geactiveerd in de VF-zone.	ST	
GDT-00218	AV-Search hysteresis AV-interval	Het AV-interval dat moet worden toegepast als een AV-zoekfunctie actief is voor het apparaat. Let op: deze waarde wordt uitgevoerd voor gebruik met toekomstige COGNIS-, TELIGEN-, PROGENY- en INGENIO-apparaten. GDT-00046 wordt uitgevoerd voor gebruik met oudere apparaten.	NM	ms
GDT-00219	LV stimulatierempel	De minimale elektrische stimulatie (outputpuls van de pacemaker) die nodig is om een linksventriculaire depolarisatie consistent te beginnen.	ST	
GDT-00220	Teller voor behandelde episodes sinds implantatie	Het totale aantal behandelde episodes van de S-ICD sinds het huidige apparaat werd geïmplant.	NM	
GDT-00221	Teller voor behandelde episodes sinds laatste reset	Het totale aantal behandelde episodes van de S-ICD sinds de datum van Tellers sinds.	NM	
GDT-00222	Teller voor niet-behandelde episodes sinds implantatie	Het totale aantal niet-behandelde episodes van de S-ICD sinds het huidige apparaat werd geïmplant.	NM	
GDT-00223	Teller voor niet-behandelde episodes sinds laatste reset	Het totale aantal niet-behandelde episodes van de S-ICD sinds de datum van Tellers sinds.	NM	

GDT-00224	Aantal afgegeven schokken sinds implantatie	Het totale aantal afgegeven shocks van de S-ICD sinds het huidige apparaat werd geïmplantieerd.	NM	
GDT-00225	Aantal afgegeven schokken sinds laatste reset	Het totale aantal afgegeven shocks van de S-ICD sinds de datum van Tellers sinds.	NM	
GDT-00226	Gain-instelling	S-ECG-gain-instelling van de S-ICD.	ST	
GDT-00227	Detectie-configuratie	Detectieconfiguratie-instelling van de S-ICD.	ST	
GDT-00228	Post-shock stimulatie	Instelling van de S-ICD voor het in- of uitschakelen van stimulatie nadat de shock is afgegeven.	ST	
GDT-00229	Shockpolariteit	Waarde voor shockpolariteit van de S-ICD.	ST	
GDT-00230	SMART Charge-duur	Waarde voor SMART Charge-duur van de S-ICD.	NM	s
GDT-00231	SMART Charge-intervallen	Waarde voor SMART Charge-interval van de S-ICD.	NM	
GDT-01000	Gepresenteerd EGM rapport	Het gepresenteerde EGM-rapport voor de huidige opvraging heeft een PDF-indeling.	ED	

OBX-TERMEN DIE WORDEN GEBRUIKT IN DE GROEP OBR-2 (IMPLANTATIEGEGEVENS)

Niet ieder bericht bevat alle termen

GDT-code	Naam van de term	Beschrijving	Gegevens-type	Eenheid
GDT-00001	Bron resultaat	De resultatenbron geeft de bron van de gegevens aan (bijvoorbeeld implantatie).	ST	
GDT-00002	Device Fabrikant	De bedrijfsnaam van de fabrikant van het apparaat.	ST	
GDT-00003	Type apparaat	Het type apparaat.	ST	
GDT-00004	Naam van het apparaat	De naam die door de fabrikant aan een apparaat is gegeven.	ST	
GDT-00005	Device modelnaam	De modelnaam van het apparaat.	ST	
GDT-00006	Device modelnummer	Het modelnummer van het apparaat.	ST	
GDT-00007	Serienummer van het apparaat	Het serienummer van het apparaat	ST	
GDT-00098	RA Intrinsieke amplitude	Rechtsatriale intrinsieke amplitude (P-golf) gemeten tijdens een intrinsieke amplitudetest.	ST	mV
GDT-00099	RA-stimulatie-impedantie	Rechtsatriale leadimpedantie gemeten tijdens een leadimpedantietest.	ST	Ohm
GDT-00100	RA stimulatiedrempel	De minimale elektrische stimulatie (outputpuls van de pacemaker) die nodig is om een rechtsatriale depolarisatie consistent te beginnen.	ST	
GDT-00101	RV intrinsieke amplitude	Rechtsventriculaire intrinsieke amplitude (R-golf) gemeten tijdens een intrinsieke amplitudetest.	ST	mV
GDT-00102	RV stimulatie-imp.	Rechtsventriculaire leadimpedantie gemeten tijdens een leadimpedantietest.	ST	Ohm
GDT-00103	RV stimulatiedrempel	De minimale elektrische stimulatie (stimulatieoutputpuls) die nodig is om een	ST	

		rechtsventriculaire depolarisatie consistent te beginnen.		
GDT-00104	LV intrinsieke amplitude	Linksventriculaire intrinsieke amplitude (R-golf) gemeten tijdens een intrinsieke amplitudetest.	ST	mV
GDT-00105	LV stimulatie-imp.	Linksventriculaire leadimpedantie gemeten tijdens een leadimpedantietest.	ST	Ohm
GDT-00106	LV stimulatierempel	De minimale elektrische stimulatie (stimulatieoutputpuls) die nodig is om een linksventriculaire depolarisatie consistent te beginnen.	ST	
GDT-00107	Shockimpedantie	Laatst afgegeven ventriculaire shockleadimpedantie: De shockimpedantie van de laatste afgegeven ventriculaire shock.	ST	Ohm
GDT-00108	Device implantatiedatum	Implantatiedatum van het apparaat <i>OPMERKING: De observatiewaarde moet voldoen aan de DT-indeling of "N/R" weergeven.</i>	DT	

OBX-TERMEN DIE WORDEN GEBRUIKT IN DE GROEP OBR-3 (GEGEVENS LAATSTE POLIKLINISCHE LEADTEST)

Niet ieder bericht bevat alle termen

GDT-code	Naam van de term	Beschrijving	Gegevens-type	Eenheid
GDT-00001	Bron resultaat	De resultatenbron geeft de bron van de gegevens aan (bijvoorbeeld Lead Test: In-Office).	ST	
GDT-00002	Device Fabrikant	De bedrijfsnaam van de fabrikant van het apparaat.	ST	
GDT-00003	Type apparaat	Het type apparaat.	ST	
GDT-00004	Naam van het apparaat	De naam die door de fabrikant aan een apparaat is gegeven.	ST	
GDT-00005	Device modelnaam	De modelnaam van het apparaat.	ST	
GDT-00006	Device modelnummer	Het modelnummer van het apparaat.	ST	
GDT-00007	Serienummer van het apparaat	Het serienummer van het apparaat.	ST	
GDT-00108	Device implantatiedatum	Implantatiedatum van het apparaat <i>OPMERKING: De observatiewaarde moet voldoen aan de DT-indeling of "N/R" weergeven.</i>	DT	
GDT-00109	RA Intrinsieke amplitude	Rechtsatriale intrinsieke amplitude (P-golf) gemeten tijdens een intrinsieke amplitudetest.	ST	mV
GDT-00110	RA-stimulatie-impedantie	Rechtsatriale leadimpedantie gemeten tijdens een leadimpedantietest.	ST	Ohm
GDT-00111	RA stimulatierempel	De minimale elektrische stimulatie (outputpuls van de pacemaker) die nodig is om een rechtsatriale depolarisatie consistent te beginnen.	ST	
GDT-00112	RV intrinsieke amplitude	Rechtsventriculaire intrinsieke amplitude (R-golf) gemeten tijdens een intrinsieke amplitudetest.	ST	mV
GDT-00113	RV stimulatie-imp.	Rechtsventriculaire leadimpedantie gemeten tijdens een leadimpedantietest.	ST	Ohm
GDT-00114	RV stimulatierempel	De minimale elektrische stimulatie (stimulatieoutputpuls) die nodig is om een rechtsventriculaire depolarisatie consistent te beginnen.	ST	

GDT-00115	LV intrinsieke amplitude	Linksventriculaire intrinsieke amplitude (R-golf) gemeten tijdens een intrinsieke amplitudetest.	ST	mV
GDT-00116	LV stimulatie-imp.	Linksventriculaire leadimpedantie gemeten tijdens een leadimpedantietest.	ST	Ohm
GDT-00117	LV stimulatierempel	De minimale elektrische stimulatie (stimulatieoutputpuls) die nodig is om een linksventriculaire depolarisatie consistent te beginnen.	ST	
GDT-00118	Shock-impedantie	Laatst afgegeven ventriculaire shockleadimpedantie: De shockimpedantie van de laatste afgegeven ventriculaire shock.	ST	Ohm

OBX-TERMEN DIE WORDEN GEBRUIKT IN DE GROEP OBR-4 (LEADINFORMATIEGEGEVENS)

Niet ieder bericht bevat alle termen

GDT-code	Naam van de term (Zie opmerking a.)	Beschrijving	Gegevens- type	Een- heid
GDT-00120	Lead 1: Implantatiedatum	De implantatiedatum van deze lead.	DT	
GDT-00121	Lead 1: Fabrikant	De fabrikant van deze lead.	ST	
GDT-00122	Lead 1: Modelnummer	Het model van deze lead.	ST	
GDT-00123	Lead 1: Serienummer	Het serienummer van deze lead.	ST	
GDT-00124	Lead 1: Polariteit	De polariteit van deze lead.	ST	
GDT-00125	Lead 1: Positie	De positie van deze lead.	ST	
GDT-00126	Lead 1: Status	De status van deze lead.	ST	
GDT-00130	Lead 2: Implantatiedatum	De implantatiedatum van deze lead.	DT	
GDT-00131	Lead 2: Fabrikant	De fabrikant van deze lead.	ST	
GDT-00132	Lead 2: Modelnummer	Het model van deze lead.	ST	
GDT-00133	Lead 2: Serienummer	Het serienummer van deze lead.	ST	
GDT-00134	Lead 2: Polariteit	De polariteit van deze lead.	ST	
GDT-00135	Lead 2: Positie	De positie van deze lead.	ST	
GDT-00136	Lead 2: Status	De status van deze lead.	ST	
GDT-00140	Lead 3: Implantatiedatum	De implantatiedatum van deze lead.	DT	
GDT-00141	Lead 3: Fabrikant	De fabrikant van deze lead.	ST	
GDT-00142	Lead 3: Modelnummer	Het model van deze lead.	ST	
GDT-00143	Lead 3: Serienummer	Het serienummer van deze lead.	ST	
GDT-00144	Lead 3: Polariteit	De polariteit van deze lead.	ST	
GDT-00145	Lead 3: Positie	De positie van deze lead.	ST	
GDT-00146	Lead 3: Status	De status van deze lead.	ST	
GDT-00150	Lead 4: Implantatiedatum	De implantatiedatum van deze lead.	DT	
GDT-00151	Lead 4: Fabrikant	De fabrikant van deze lead.	ST	
GDT-00152	Lead 4: Modelnummer	Het model van deze lead.	ST	

GDT-00153	Lead 4: Serienummer	Het serienummer van deze lead.	ST	
GDT-00154	Lead 4: Polariteit	De polariteit van deze lead.	ST	
GDT-00155	Lead 4: Positie	De positie van deze lead.	ST	
GDT-00156	Lead 4: Status	De status van deze lead.	ST	
GDT-00160	Lead 5: Implantatiedatum	De implantatiedatum van deze lead.	DT	
GDT-00161	Lead 5: Fabrikant	De fabrikant van deze lead.	ST	
GDT-00162	Lead 5: Modelnummer	Het model van deze lead.	ST	
GDT-00163	Lead 5: Serienummer	Het serienummer van deze lead.	ST	
GDT-00164	Lead 5: Polariteit	De polariteit van deze lead.	ST	
GDT-00165	Lead 5: Positie	De positie van deze lead.	ST	
GDT-00166	Lead 5: Status	De status van deze lead.	ST	
GDT-00170	Lead 6: Implantatiedatum	De implantatiedatum van deze lead.	DT	
GDT-00171	Lead 6: Fabrikant	De fabrikant van deze lead.	ST	
GDT-00172	Lead 6: Modelnummer	Het model van deze lead.	ST	
GDT-00173	Lead 6: Serienummer	Het serienummer van deze lead.	ST	
GDT-00174	Lead 6: Polariteit	De polariteit van deze lead.	ST	
GDT-00175	Lead 6: Positie	De positie van deze lead.	ST	
GDT-00176	Lead 6: Status	De status van deze lead.	ST	
GDT-00180	Lead 7: Implantatiedatum	De implantatiedatum van deze lead.	DT	
GDT-00181	Lead 7: Fabrikant	De fabrikant van deze lead.	ST	
GDT-00182	Lead 7: Modelnummer	Het model van deze lead.	ST	
GDT-00183	Lead 7: Serienummer	Het serienummer van deze lead.	ST	
GDT-00184	Lead 7: Polariteit	De polariteit van deze lead.	ST	
GDT-00185	Lead 7: Positie	De positie van deze lead.	ST	
GDT-00186	Lead 7: Status	De status van deze lead.	ST	

a. Lead.x kan zichtbaar of onzichtbaar zijn, afhankelijk van de versie van het systeem.

VOORBEELD VAN HL7-BESTAND

HOOFDSTUK 8

In dit hoofdstuk worden de volgende onderwerpen beschreven:

- “Voorbeeld van HL7-bestand” op pagina 8-2
- “Voorbeeldbericht 1 — S-ICD-Apparaat” op pagina 8-2
- “Voorbeeldbericht 2 — Overige Apparaten (Niet S-ICD)” op pagina 8-3

Outdated version. Do not use.
Version überholt. Nicht verwenden.
Version obsolète. Ne pas utiliser.
Versión obsoleta. No utilizar.
Versione obsoleta. Non utilizzare.
Verouderde versie. Niet gebruiken.
Föråldrad version. Använd ej.
Παλιά έκδοση. Μην την χρησιμοποιείτε.
Versão obsoleta. Não utilize.
Forældet version. Må ikke anvendes.
Zastaralá verzia. Nepoužívať.
Utdatert versjon. Skal ikke brukes.
Zastaraná verzia. Nepoužívať.
Elavult verzió. Ne használja!
Wersja nieaktualna. Nie używać.

VOORBEELD VAN HL7-BESTAND

De volgende HL7-voorbeeldbestanden laten zien hoe een LATITUDE HL7-bericht eruit kan zien. Dit zijn slechts twee voorbeelden van de vele mogelijke resultaten. De gegevens in de voorbeeldberichten zijn hypothetisch en niet alle HL7-termen voor LATITUDE worden weergegeven.

VOORBEELDBERICHT 1 — S-ICD-APPARAAT

```
MSH|^~\&|LATITUDE|BOSTON SCIENTIFIC||TestClinic|20150211164427+0000||
ORU^R01|0|P|2.3.1||NE||UNICODE|nl^Dutch^ISO639PID|1|1000000240|1000000240~
testPatientId||testLastName^testName^^^^^I~testAuxLName^testAuxFName^^^^^P||19680215|
UNTE|1|LATITUDE|\br\Mijn alarmeringen\br\-----
.br\jan 26, 2015 11:07 EST - Geel alarmsignaal - Niet-behandelde episode.
.br\jan 26, 2015 11:04 EST - Geel alarmsignaal - Shocktherapie die wordt
afgegeven voor het converteren van aritmie (behandelde episode).
NTE|3|LATITUDE|\br\jan 26, 2015 11:07 EST Niet-behandeld\br\jan 26, 2015 11:04 EST
Behandeld, Schokimpedantie: 77 Ohms\br\PV1|1|RPV2|||||
TestDeviceGroup^1OBR|1|1000000041|BostonScientific-Laatste
opvraging^Laatste opvraging||201501260412-0600|201501260412-0600|||||
DR|||201501260412-0600||FOBX|1|ST|GDT-00001^Bron resultaat^GDT-LATITUDE||
Laatste remote opvraging|||||F
OBX|2|ST|GDT-00002^Device Fabrikant^GDT-LATITUDE|BOSTON SCIENTIFIC|||||F
OBX|3|ST|GDT-00003^Type apparaat^GDT-LATITUDE|S-ICD|||||FOBX|4|ST|GDT-00004^
Naam van het apparaat^GDT-LATITUDE||||||F
OBX|5|ST|GDT-00005^Device modelnaam^GDT-LATITUDE|EMBLEM S-ICD|||||F
OBX|6|ST|GDT-00006^Device model nummer^GDT-LATITUDE|A209|||||F
OBX|7|ST|GDT-00007^Serienummer van het apparaat^GDT-LATITUDE|673059792|||||F
OBX|8|DT|GDT-00108^Device implantatiedatum^GDT-LATITUDE|20150126|||||F
OBX|9|ED|GDT-01000^Gepresenteerd S-ECG-rapport^GDT-LATITUDE|Application^PDF^^
Base64 (gecodeerde PDF hier)|||||F
|||201501260412-0600OBX|10|ST|GDT-00009^Batterij status^GDT-LATITUDE|OK|||||F
OBX|11|NM|GDT-00008^Batterijmeter^GDT-LATITUDE|98|%|||||F
OBX|12|ST|GDT-00034^Therapie^GDT-LATITUDE|AAN|||||F
OBX|13|NM|GDT-00074^Schokzone^GDT-LATITUDE|220|min^-1|||||F
OBX|14|NM|GDT-00075^Shockenergie schokzone^GDT-LATITUDE|80|J|||||F
OBX|15|NM|GDT-00079^Conditionele schokzone^GDT-LATITUDE|200|min^-1|||||F
OBX|16|NM|GDT-00084^Shockenergie conditionele schokzone^GDT-LATITUDE|80|J|||||F
OBX|17|ST|GDT-00229^Shockpolariteit^GDT-LATITUDE|REV|||||F
OBX|18|NM|GDT-00230^SMART Charge duur^GDT-LATITUDE|204,69|s|||||F
OBX|19|NM|GDT-00231^SMART Charge intervallen^GDT-LATITUDE|133|||||F
OBX|20|ST|GDT-00226^Gain-instelling^GDT-LATITUDE|1X|||||F
OBX|21|ST|GDT-00227^Detectie configuratie^GDT-LATITUDE|Alternate|||||F
OBX|22|ST|GDT-00228^Post-shock stimulatie^GDT-LATITUDE|AAN|||||F
OBX|23|ST|GDT-00097^Tellers sinds^GDT-LATITUDE|20150126|||||F
OBX|24|NM|GDT-00220^Teller voor behandelde episodes
sinds implantatie^GDT-LATITUDE|1|||||F
OBX|25|NM|GDT-00221^Teller voor behandelde episodes
sinds laatste reset^GDT-LATITUDE|1|||||F
OBX|26|NM|GDT-00222^Teller voor niet-behandelde episodes
sinds implantatie^GDT-LATITUDE|1|||||F
OBX|27|NM|GDT-00223^Teller voor niet-behandelde episodes
sinds laatste reset^GDT-LATITUDE|1|||||F
OBX|28|NM|GDT-00224^Aantal afgegeven schokken
sinds implantatie^GDT-LATITUDE|1|||||F
OBX|29|NM|GDT-00225^Aantal afgegeven schokken
sinds laatste reset^GDT-LATITUDE|1|||||F
OBX|30|ST|GDT-00032^Impedantiestatus elektrode^GDT-LATITUDE|OK|||||F
OBR|4||1000000041|BostonScientific-Leads^Lead informatie||
```



```
201501260412-0600|201501260412-0600|||||
DR|||201501260412-0600|||FOBX|1|ST|GDT-00121^Fabrikant^
GDT-LATITUDE||BOSTON SCIENTIFIC|||||F
OBX|2|ST|GDT-00122^Modelnummer^GDT-LATITUDE||1030|||||F
OBX|3|ST|GDT-00123^Serienummer^GDT-LATITUDE||A123456|||||FZU1|
http://bsci.bossci.com:9443/clinic/emr/patient?id=497ZU2|
Versie overzichtsrapport apparaat 6
```

VOORBEELDBERICHT 2 — OVERIGE APPARATEN (NIET S-ICD)

```
MSH|^~\&|LATITUDE|BOSTON SCIENTIFIC||Aubrey St
Clinic_Netherlands|20100513144637+0000||ORU^R01|2500029|P|2.3.1|||NE|||UNICODE|NL
^Nederlands^ISO639|
PID|1|7066860|7066860-SBr2531||Brady^Scott_2NL^^|19490329|M|||^^^1000 AA|||||
NTE|1|LATITUDE|\br\Mijn alarmeringen\br\-----\br\05 mei
2010-Lage linksventriculaire intrinsieke amplitude gedetecteerd op 05 mei 2010.
Plan een controle bij de arts om de LV-stimulatielead te evalueren.\br\
NTE|2|LATITUDE|Van Controlelijst in LATITUDE verwijderd door Garcia,
Bryce_NL (BGal228) op 13 mei 2010 om 16:46 CEST|
NTE|3|LATITUDE|\br\Events sinds laatste controle(06 jan 2010)\br\-----
-----\br\
PV1|1|R|||BGal228^Garcia^Bryce_NL^^
OBR|1||2500151|BostonScientific-LaatsteUitlezing^Laatste
opvraging|||20100506083715+0000|20100506083715+0000|||N|||BGal228||DR|||201005060837
15+0000|||F|
OBX|1|ST|GDT-00001^Resultatenbron^GDT-LATITUDE||Uitlezing op afstand|||||F||
OBX|2|ST|GDT-00002^Fabrikant van apparaat^GDT-LATITUDE||BOSTON SCIENTIFIC|||||F||
OBX|3|ST|GDT-00003^Type apparaat^GDT-LATITUDE||CRT-D|||||F||
OBX|4|ST|GDT-00004^Naam van het apparaat^GDT-LATITUDE|||F||
OBX|5|ST|GDT-00005^Modelnaam van apparaat^GDT-LATITUDE||COGNIS 100-D|||||F||
OBX|6|ST|GDT-00006^Modelnummer van het apparaat^GDT-LATITUDE||P107|||||F||
OBX|7|ST|GDT-00007^Serienummer van het apparaat^GDT-LATITUDE||715276|||||F||
OBX|8|DT|GDT-00108^Implantatiedatum van apparaat^GDT-LATITUDE||20090506|||||F||
OBX|9|NM|GDT-00008^Batterijmeter^GDT-LATITUDE||0%|||||F||
OBX|10|ST|GDT-00009^De batterijstatus^GDT-LATITUDE||OK Geschatte tijd tot explantatie:
N.G.|||||F||
OBX|11|NM|GDT-00011^Laadtijd^GDT-LATITUDE||N.G.|||||F||
OBX|12|DT|GDT-00012^Laatste condensator reformatie^GDT-LATITUDE||N.G.|||||F||
OBX|13|ST|GDT-00097^Tellers sinds^GDT-LATITUDE||20100106|||||F||
OBX|14|ST|GDT-00013^VF-episodes^GDT-LATITUDE||0|||||F||
OBX|15|ST|GDT-00014^VT Episodes^GDT-LATITUDE||0|||||F||
OBX|16|ST|GDT-00015^VT-1-episodes^GDT-LATITUDE||0|||||F||
OBX|17|ST|GDT-00016^Niet-aanhoudende ventriculaire episodes^GDT-LATITUDE||0|||||F||
OBX|18|NM|GDT-00020^Atriaal percentage gestim.^GDT-LATITUDE||0%|||||F||
OBX|19|NM|GDT-00021^RV percentage gestim.^GDT-LATITUDE||0%|||||F||
OBX|20|NM|GDT-00022^LV percentage gestim.^GDT-LATITUDE||0%|||||F||
OBX|21|ST|GDT-00023^Rechter atriale leadstatus^GDT-LATITUDE||OK|||||F||
OBX|22|ST|GDT-00024^RA Intrinsieke amplitude^GDT-LATITUDE||mV|||||F||
OBX|23|ST|GDT-00025^RA-stimulatie-impedantie^GDT-LATITUDE|||Ohm|||||F||
OBX|24|ST|GDT-00026^Rechtsventriculaire leadstatus^GDT-LATITUDE||OK|||||F||
OBX|25|ST|GDT-00027^RV intrinsieke amplitude^GDT-LATITUDE||mV|||||F||
OBX|26|ST|GDT-00028^RV stimulatie-imp.^GDT-LATITUDE|||Ohm|||||F||
OBX|27|ST|GDT-00029^LV leadstatus^GDT-LATITUDE||OK|||||F||
OBX|28|ST|GDT-00030^LV intrinsieke amplitude^GDT-LATITUDE||mV|||||F||
OBX|29|ST|GDT-00031^LV stimulatie-imp.^GDT-LATITUDE|||Ohm|||||F||
OBX|30|ST|GDT-00032^Status van shockvector^GDT-LATITUDE||OK|||||F||
OBX|31|ST|GDT-00033^Shock-impedantie^GDT-LATITUDE|||Ohm|||||F||
OBX|32|ST|GDT-00034^V tachymode^GDT-LATITUDE||Monitor + Therapie|||||F||
OBX|33|ST|GDT-00036^Brady mode^GDT-LATITUDE||DDDR|||||F||
```

```
OBX|34|NM|GDT-00037^Basisfrequentie^GDT-LATITUDE||100|min-1||||F||
OBX|35|NM|GDT-00038^Maximale trackingfreq.^GDT-LATITUDE||110|min-1||||F||
OBX|36|NM|GDT-00039^Maximale sensorfrequentie^GDT-LATITUDE||110|min-1||||F||
OBX|37|ST|GDT-00040^Gevoeligheid RA^GDT-LATITUDE||AGC 0,25|mV||||F||
OBX|38|ST|GDT-00041^Gevoeligheid RV^GDT-LATITUDE||AGC 0,6|mV||||F||
OBX|39|ST|GDT-00042^Gevoeligheid LV^GDT-LATITUDE||AGC 1,0|mV||||F||
OBX|40|ST|GDT-00043^Gestimuleerde AV-vertraging^GDT-LATITUDE||30 - 300|ms||||F||
OBX|41|ST|GDT-00044^Gedetectedeerde AV-offset^GDT-LATITUDE||-60|ms||||F||
OBX|42|ST|GDT-00047^A-refractair (PVARP)^GDT-LATITUDE||150 - 450|ms||||F||
OBX|43|ST|GDT-00048^RV refractaire periode (RVRP)^GDT-LATITUDE||150 - 450|ms||||F||
OBX|44|NM|GDT-00049^LV-refractaire periode (LVRP)^GDT-LATITUDE||250|ms||||F||
OBX|45|NM|GDT-00050^Besch. periode LV^GDT-LATITUDE||400|ms||||F||
OBX|46|ST|GDT-00051^Ventriculaire stimulatiekamer^GDT-LATITUDE||BiV||||F||
OBX|47|NM|GDT-00052^Ventriculaire stimulatiekamer LV offset^GDT-LATITUDE||0|ms||||F||
OBX|48|ST|GDT-00053^Stimulatieoutput - RA^GDT-LATITUDE||3,5 V @ 0,4 ms||||F||
OBX|49|ST|GDT-00054^Stimulatieoutput - RV^GDT-LATITUDE||3,5 V @ 0,4 ms||||F||
OBX|50|ST|GDT-00055^Stimulatieoutput - LV^GDT-LATITUDE||3,5 V @ 0,4 ms||||F||
OBX|51|ST|GDT-00191^Leadconfiguratie (Stim/Detect) - RA^GDT-LATITUDE||Bipolair||||F||
OBX|52|ST|GDT-00192^Leadconfiguratie (Stim/Detect) - RV^GDT-LATITUDE||Bipolair||||F||
OBX|53|ST|GDT-00193^Leadconfiguratie (Stim/Detect) - LV^GDT-LATITUDE|||||F||
OBX|54|ST|GDT-00056^ATR mode switch modus^GDT-LATITUDE||DDI||||F||
OBX|55|ST|GDT-00057^Frequentie ATR mode switch^GDT-LATITUDE||170|min-1||||F||
OBX|56|NM|GDT-00074^VF zone^GDT-LATITUDE||180|min-1||||F||
OBX|57|NM|GDT-00075^VF Shock 1 Energie^GDT-LATITUDE||41|J||||F||
OBX|58|NM|GDT-00076^VF Shock 2 Energie^GDT-LATITUDE||41|J||||F||
OBX|59|NM|GDT-00077^VF Max Shockenergie^GDT-LATITUDE||41|J||||F||
OBX|60|NM|GDT-00078^VF Aantal extra shocks^GDT-LATITUDE||6||||F||
OBX|61|NM|GDT-00079^VT zone^GDT-LATITUDE||160|min-1||||F||
OBX|62|ST|GDT-00080^VT-zone ATP1 Type^GDT-LATITUDE||Uit||||F||
OBX|63|ST|GDT-00081^VT-zone ATP1 Aantal bursts^GDT-LATITUDE||Uit||||F||
OBX|64|ST|GDT-00082^VT-zone ATP2 Type^GDT-LATITUDE||Uit||||F||
OBX|65|ST|GDT-00083^VT-zone ATP2 Aantal bursts^GDT-LATITUDE||Uit||||F||
OBX|66|ST|GDT-00084^VT Shock 1 Energie^GDT-LATITUDE||0,1|J||||F||
OBX|67|ST|GDT-00085^VT Shock 2 Energie^GDT-LATITUDE||0,1|J||||F||
OBX|68|ST|GDT-00086^VT Max Shock Energie^GDT-LATITUDE||41|J||||F||
OBX|69|NM|GDT-00087^VT Aantal extra max energiestocks^GDT-LATITUDE||4||||F||
OBX|70|NM|GDT-00088^VT-1 zone^GDT-LATITUDE||140|min-1||||F||
OBX|71|ST|GDT-00089^VT-1 ATP1 Type^GDT-LATITUDE||Uit||||F||
OBX|72|ST|GDT-00090^VT-1 ATP1 Aantal bursts^GDT-LATITUDE||Uit||||F||
OBX|73|ST|GDT-00091^VT-1 ATP2 Type^GDT-LATITUDE||Uit||||F||
OBX|74|ST|GDT-00092^VT-1 ATP2 Aantal bursts^GDT-LATITUDE||Uit||||F||
OBX|75|ST|GDT-00093^VT-1 Shock 1 Energie^GDT-LATITUDE||0,1|J||||F||
OBX|76|ST|GDT-00094^VT-1 Shock 2 Energie^GDT-LATITUDE||0,1|J||||F||
OBX|77|ST|GDT-00095^VT-1 Max Shockenergie^GDT-LATITUDE||41|J||||F||
OBX|78|NM|GDT-00096^VT-1 Aantal extra max energiestocks^GDT-LATITUDE||3||||F||
OBR|2||2500151|BostonScientific-
Implantatie^Implantatie||20090506|20090506||L||||BGa1228||DR||||20090506||F||
OBX|1|ST|GDT-00001^Resultatenbron^GDT-LATITUDE||Implantatie||||F||
OBX|2|ST|GDT-00002^Fabrikant van apparaat^GDT-LATITUDE||BOSTON SCIENTIFIC||||F||
OBX|3|ST|GDT-00003^Type apparaat^GDT-LATITUDE||CRT-D||||F||
OBX|4|ST|GDT-00004^Naam van het apparaat^GDT-LATITUDE|||||F||
OBX|5|ST|GDT-00005^Modelnaam van apparaat^GDT-LATITUDE||COGNIS 100-D||||F||
OBX|6|ST|GDT-00006^Modelnummer van het apparaat^GDT-LATITUDE||P107||||F||
OBX|7|ST|GDT-00007^Serienummer van het apparaat^GDT-LATITUDE||715276||||F||
OBX|8|DT|GDT-00108^Implantatiedatum van apparaat^GDT-LATITUDE||20090506||||F||
OBX|9|ST|GDT-00098^RA Intrinsieke amplitude^GDT-LATITUDE||mV||||F||
OBX|10|ST|GDT-00099^RA-stimulatie-impedantie^GDT-LATITUDE||Ohm||||F||
OBX|11|ST|GDT-00100^RA stimulatiedrempel^GDT-LATITUDE||V @ ms||||F||
OBX|12|ST|GDT-00101^RV intrinsieke amplitude^GDT-LATITUDE||mV||||F||
```





OBX|13|ST|GDT-00102^RV stimulatie-imp.^GDT-LATITUDE|||Ohm||||F||
OBX|14|ST|GDT-00103^RV stimulatiedrempelwaarde^GDT-LATITUDE||V @ ms||||F||
OBX|15|ST|GDT-00104^LV intrinsieke amplitude^GDT-LATITUDE||mV||||F||
OBX|16|ST|GDT-00105^LV stimulatie-imp.^GDT-LATITUDE|||Ohm||||F||
OBX|17|ST|GDT-00106^LV stimulatiedrempel^GDT-LATITUDE||V @ ms||||F||
OBX|18|ST|GDT-00107^Shock-impedantie^GDT-LATITUDE|||Ohm||||F||
OBR|3||2500151|Boston Scientific-LaatstOpPraktijk^Leadtest: in
praktijk|||||BGal228||DR||||F||
OBX|1|ST|GDT-00001^Resultatenbron^GDT-LATITUDE||Leadtest: in praktijk||||F||
OBX|2|ST|GDT-00002^Fabrikant van apparaat^GDT-LATITUDE||BOSTON SCIENTIFIC||||F||
OBX|3|ST|GDT-00003^Type apparaat^GDT-LATITUDE||CRT-D||||F||
OBX|4|ST|GDT-00004^Naam van het apparaat^GDT-LATITUDE|||||F||
OBX|5|ST|GDT-00005^Modelnaam van apparaat^GDT-LATITUDE||COGNIS 100-D||||F||
OBX|6|ST|GDT-00006^Modelnummer van het apparaat^GDT-LATITUDE||P107||||F||
OBX|7|ST|GDT-00007^Serienummer van het apparaat^GDT-LATITUDE||715276||||F||
OBX|8|DT|GDT-00108^Implantatiedatum van apparaat^GDT-LATITUDE||20090506||||F||
OBX|9|ST|GDT-00109^RA intrinsieke amplitude^GDT-LATITUDE||<0,1|mV||||F||
OBX|10|ST|GDT-00110^RA-stimulatie-impedantie^GDT-LATITUDE||<200|Ohm||||F||
OBX|11|ST|GDT-00111^RA stimulatiedrempel^GDT-LATITUDE||N.G.||||F||
OBX|12|ST|GDT-00112^RV intrinsieke amplitude^GDT-LATITUDE||<0,1|mV||||F||
OBX|13|ST|GDT-00113^RV stimulatie-imp.^GDT-LATITUDE||<200|Ohm||||F||
OBX|14|ST|GDT-00114^RV stimulatiedrempelwaarde^GDT-LATITUDE||N.G.||||F||
OBX|15|ST|GDT-00115^LV intrinsieke amplitude^GDT-LATITUDE||<0,1|mV||||F||
OBX|16|ST|GDT-00116^LV stimulatie-imp.^GDT-LATITUDE||<200|Ohm||||F||
OBX|17|ST|GDT-00117^LV stimulatiedrempel^GDT-LATITUDE||N.G.||||F||
OBX|18|ST|GDT-00118^Shock-impedantie^GDT-LATITUDE||<20|Ohm||||F||
OBR|4||2500151|BostonScientific-
Leads^Leadinformatie||20100513144637+0000|20100513144637+0000|||||BGal228||DR||||
20100513144637+0000||||F||
ZU1|https://www.was1.bostonscientific.com:558/access/physician/
patientDetails?id=7066860|
ZU2|Overzichtsrapport van apparaat versie 2|

Outdated version. Do not use.
Version obsolete. Nie używać.
Version outdated. Nie používať.
Versione obsoleto. Non utilizzare.
Verouderde versie. Nie gebruiken.
Föråldrad version. Använd inte.
Παλιά έκδοση. Μην χρησιμοποιήσετε.
Versão obsoleta. Não utilize.
Forældet version. Må ikke bruges.
Zastaralá verzia. Nepoužívať.
Utdatert versjon. Skal ikke brukes.
Zastaraná verzia. Nepoužívať.
Elavult versió. Ne használja!
Wersja nieaktualna. Nie używać.

Outdated version. Do not use.
Version überholt. Nicht verwenden.
Version obsolète. Ne pas utiliser.
Versión obsoleta. No utilizar.
Versione obsoleta. Non utilizzare.
Verouderde versie. Niet gebruiken.
Föråldrad version. Använd ej.
Παλιά έκδοση. Μην την χρησιμοποιείτε.
Versão obsoleta. Não utilize.
Forældet version. Må ikke anvendes.
Zastaralá verze. Nepoužívat.
Utdatert versjon. Skal ikke brukes.
Zastaraná verzia. Nepoužívať.
Elavult verzió. Ne használja!
Wersja nieaktualna. Nie używać.

SYMBOLEN OP STICKERS

BIJLAGE A

Symbol	Betekenis
	Fabrikant
	Geautoriseerde vertegenwoordiger in de Europese Gemeenschap
	Adres Australische sponsor
 0086	CE-conformiteitsmerkteken met de identificatie van de op de hoogte gebrachte groep die het gebruik van het merkteken goedkeurt

Outdated version. Do not use.
 Version überholt. Nicht verwenden.
 Version obsolete. Ne pas utiliser.
 Versión obsoleta. No utilizar.
 Versione obsoleta. Non utilizzate.
 Verouderde versie. Niet gebruiken.
 Παλιά έκδοση. Μην την χρησιμοποιείτε.
 Versão obsoleta. Não utilize.
 Föråldrad version. Använd ej.
 Zastaralá verze. Nepoužívat.
 Utdatert versjon. Skal ikke brukes.
 Zastaraná verzia. Nepoužívať.
 Elavult verzió. Ne használja!
 Wersja nieaktualna. Nie używać.

Outdated version. Do not use.
Version überholt. Nicht verwenden.
Version obsolète. Ne pas utiliser.
Versión obsoleta. No utilizar.
Versione obsoleta. Non utilizzare.
Verouderde versie. Niet gebruiken.
Föråldrad version. Använd ej.
Παλιά έκδοση. Μην την χρησιμοποιείτε.
Versão obsoleta. Não utilize.
Forældet version. Må ikke anvendes.
Zastaralá verze. Nepoužívat.
Utdatert versjon. Skal ikke brukes.
Zastaraná verzia. Nepoužívať.
Elavult verzió. Ne használja!
Wersja nieaktualna. Nie używać.

Outdated version. Do not use.
Version überholt. Nicht verwenden.
Version obsolète. Ne pas utiliser.
Versión obsoleta. No utilizar.
Versione obsoleta. Non utilizzare.
Verouderde versie. Niet gebruiken.
Föråldrad version. Använd ej.
Παλιά έκδοση. Μην την χρησιμοποιείτε.
Versão obsoleta. Não utilize.
Forældet version. Må ikke anvendes.
Zastaralá verze. Nepoužívat.
Utdatert versjon. Skal ikke brukes.
Zastaraná verzia. Nepoužívať.
Elavult verzió. Ne használja!
Wersja nieaktualna. Nie używać.

**Manufacturer**

Boston Scientific Corporation
4100 Hamline Avenue North
St. Paul, MN 55112-5798 USA

EC **REP****Authorized representative in the European Community**

Guidant Europe NV/SA; Boston Scientific
Green Square, Lambroekstraat 5D
1831 Diegem, Belgium

AUS**Australian sponsor address**

Boston Scientific (Australia) Pty Ltd
PO Box 332
BOTANY NSW 1455 Australia
Free Phone 1 800 676 133
Free Fax 1 800 836 666

Cardiac Pacemakers Incorporated
4100 Hamline Avenue North
St. Paul, MN 55112-5798 USA

Manufactured at: Cardiac Pacemakers Incorporated
4100 Hamline Avenue North
St. Paul, MN 55112-5798 USA

www.bostonscientific.com

1.800.CARDIAC (227.3422)

+1.651.582.4000

© 2015 Boston Scientific Corporation or its affiliates.

All rights reserved.
359483-006 NL Europe 2015-10

C E0086